

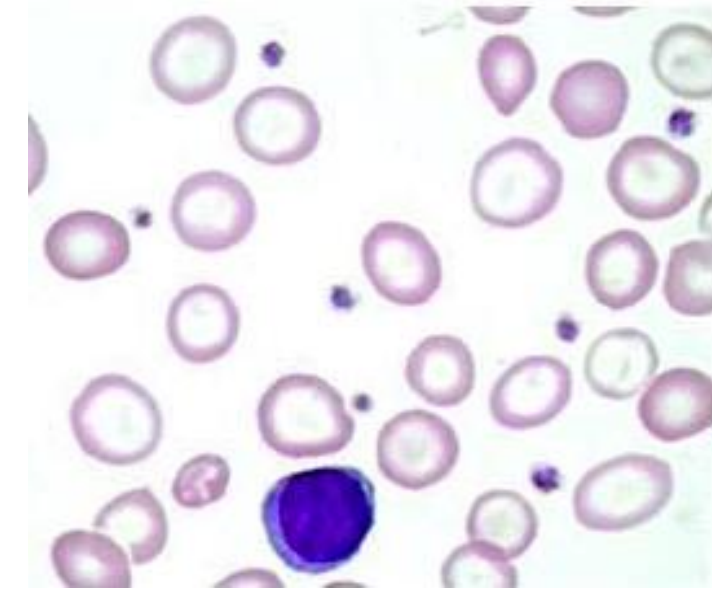
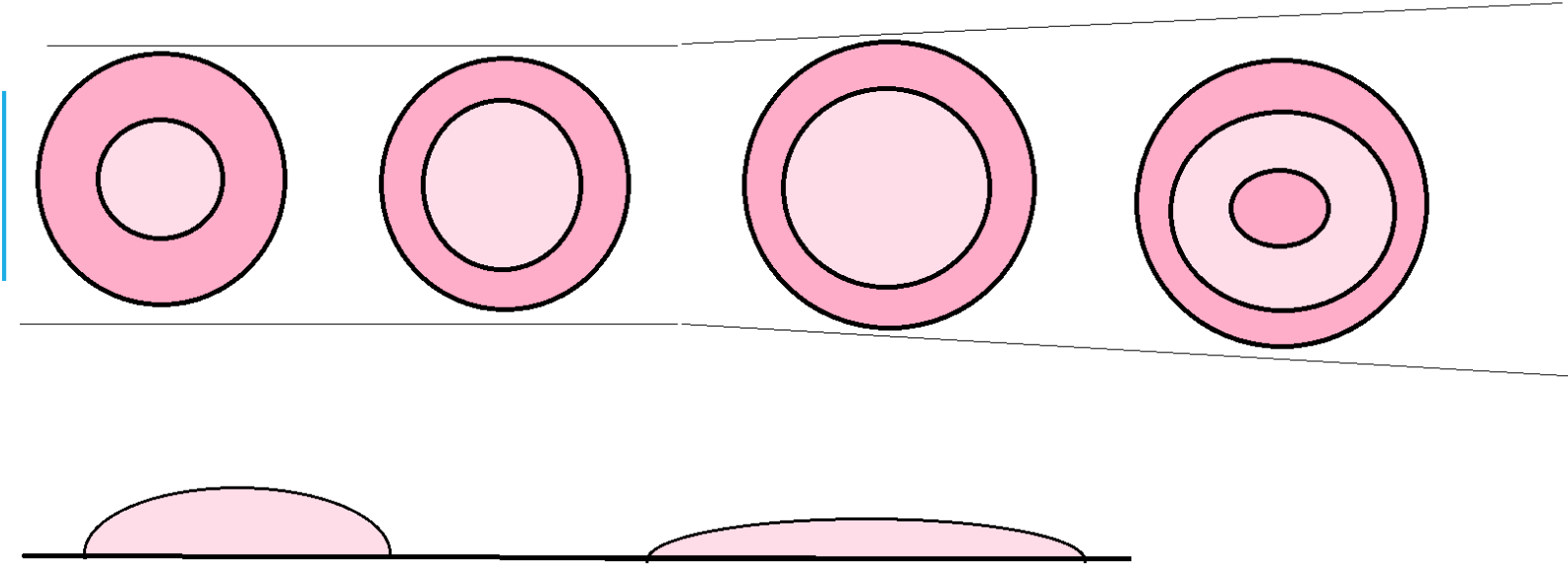
# **HEMATO-MORPHOLOGY WORKSHOP**

Dr. N.V.Shiran  
Ph.D of Lab Hematology-SBMU

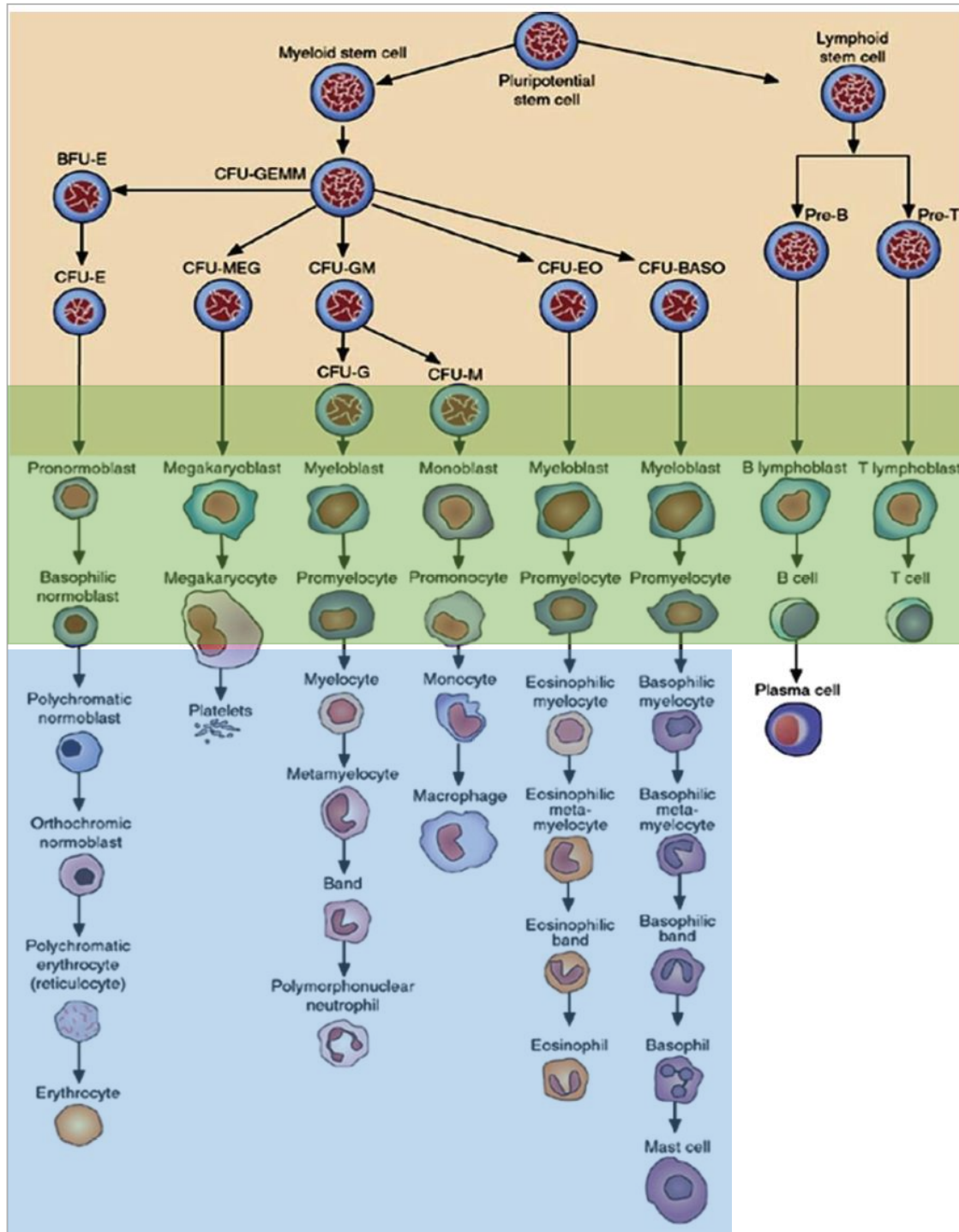
Morphology Grading Table			
Cell Name	Few/1+	Mod/2+	Many/3+
Schistocytes	<1%	1–2	>2
Sickle cells	N/A	1–2	>2
Bite cells	N/A	1–2	>2
Blister cells	N/A	1–2	>2
Irregularly contracted cells	N/A	1–2	>2
Howell-Jolly bodies	N/A	2–3	>3
Pappenheimer bodies	N/A	2–3	>3
Oval macrocytes	N/A	2–5	>5
Polychromasia	N/A	5–20	>20
Acanthocytes	N/A	5–20	>20
Echinocytes	N/A	5–20	>20
Elliptocytes	N/A	5–20	>20
Ovalocytes	N/A	5–20	>20
Spherocytes	N/A	5–20	>20
Stomatocytes	N/A	5–20	>20
Target cells	N/A	5–20	>20
Teardrop cells	N/A	5–20	>20
Basophilic stippling	N/A	5–20	>20
Anisocytosis	N/A	11–20	>20
Macrocytes	N/A	11–20	>20
Microcytes	N/A	11–20	>20
Hypochromic cells	N/A	11–20	>20

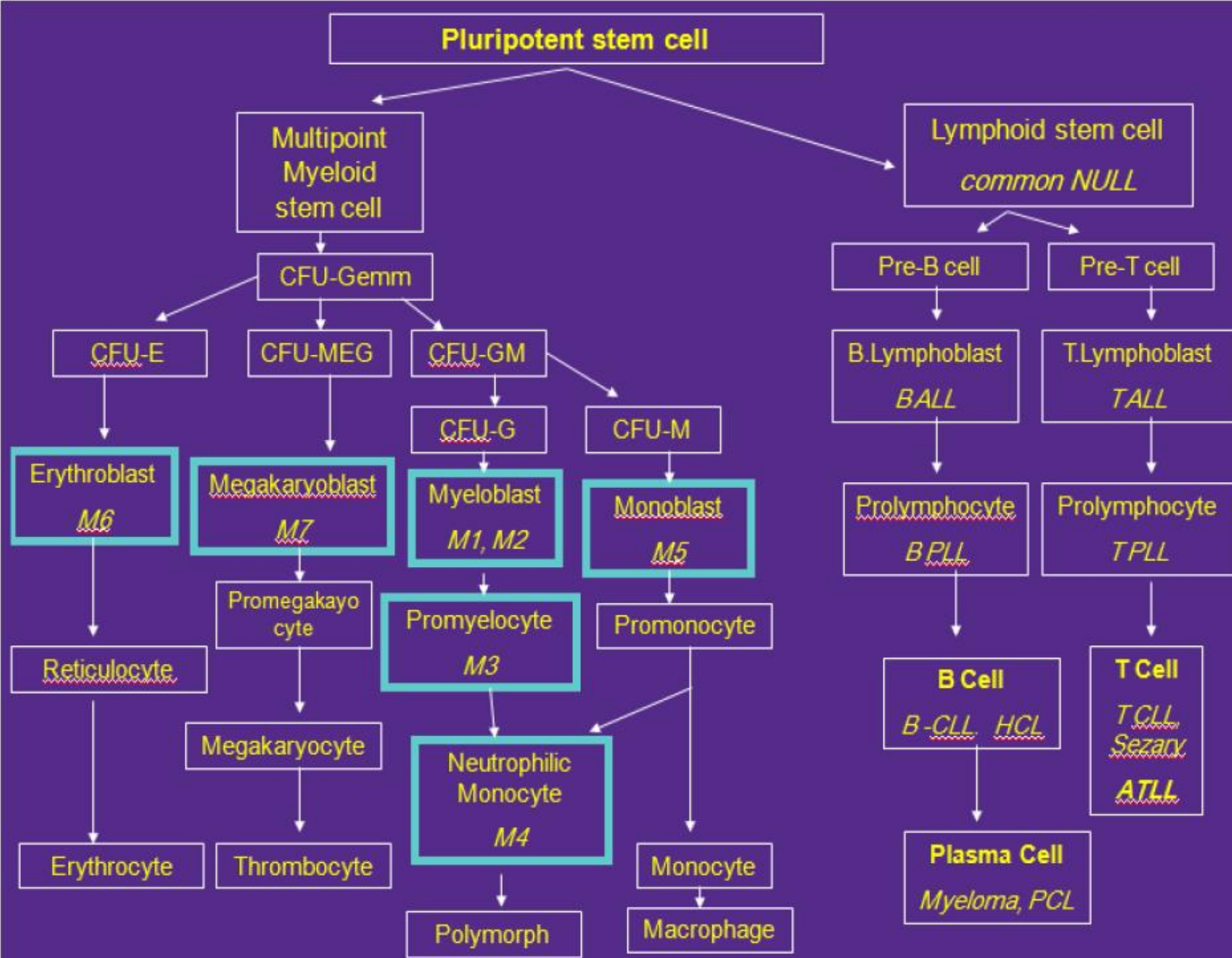
Morphology Grading Table			
Cell Name	Few/1+	Mod/2+	Many/3+
WBC			
Döhle bodies	N/A	2–4	>4
Vacuolation (neutrophil)	N/A	4–8	>8
Hypogranulation (neutrophil)	N/A	4–8	>8
Hypergranulation (neutrophil)	N/A	4–8	>8
Platelets			
Giant Platelets	N/A	11–20	>20

"n/a or N/A not applicable,

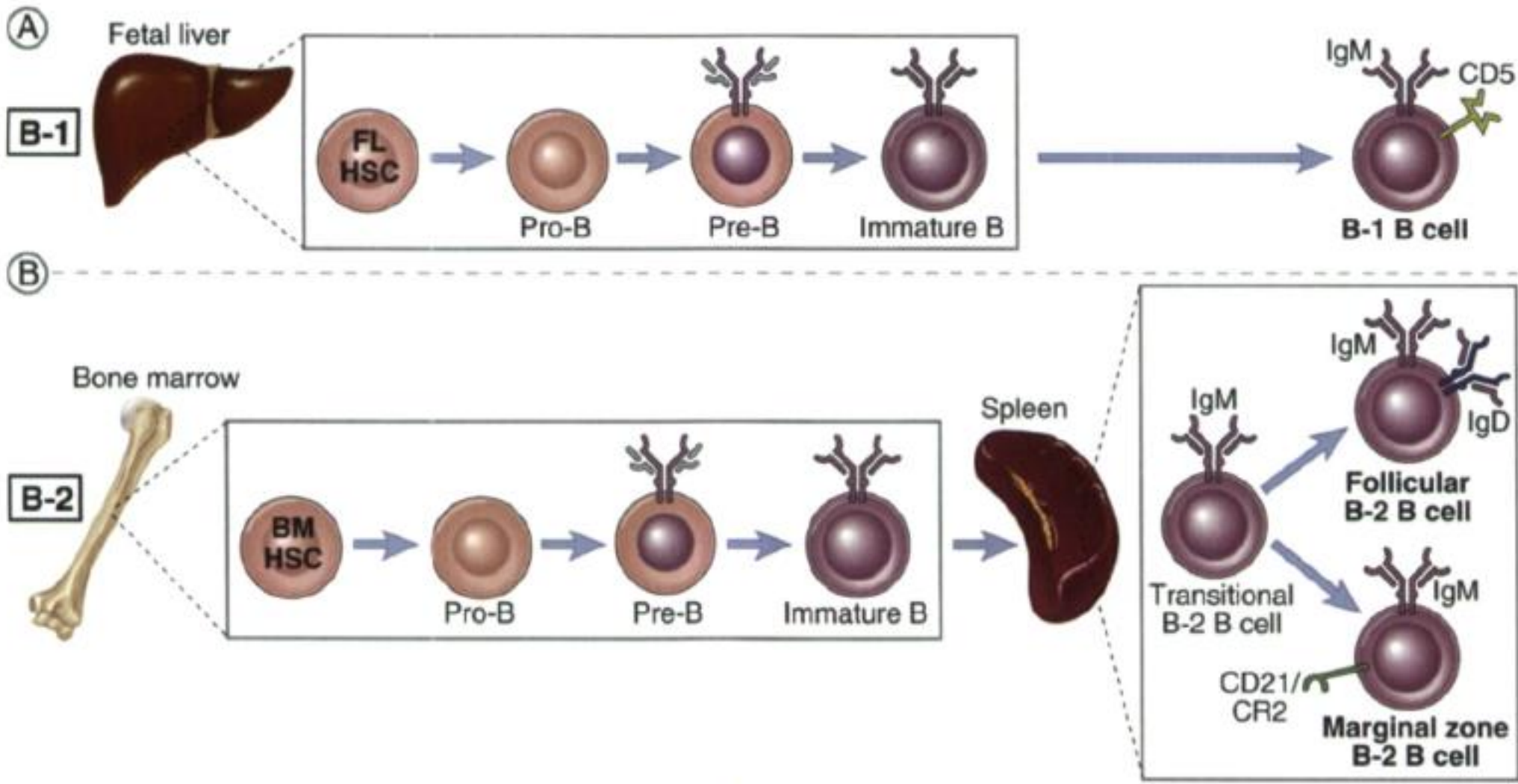


	MCH (fl)	MCHC (pg)	Hb (g/dl)	H-RBC	Anoulocyte	Leptocyte & Target Cell
Hypo 1+	22-28	>32	11-12	5-10%	+	-
Hypo 2+	18-21	29-31	8-10	11-20%	++	+/-
Hypo 3+	<18	<29	<8	>20%	+++	++

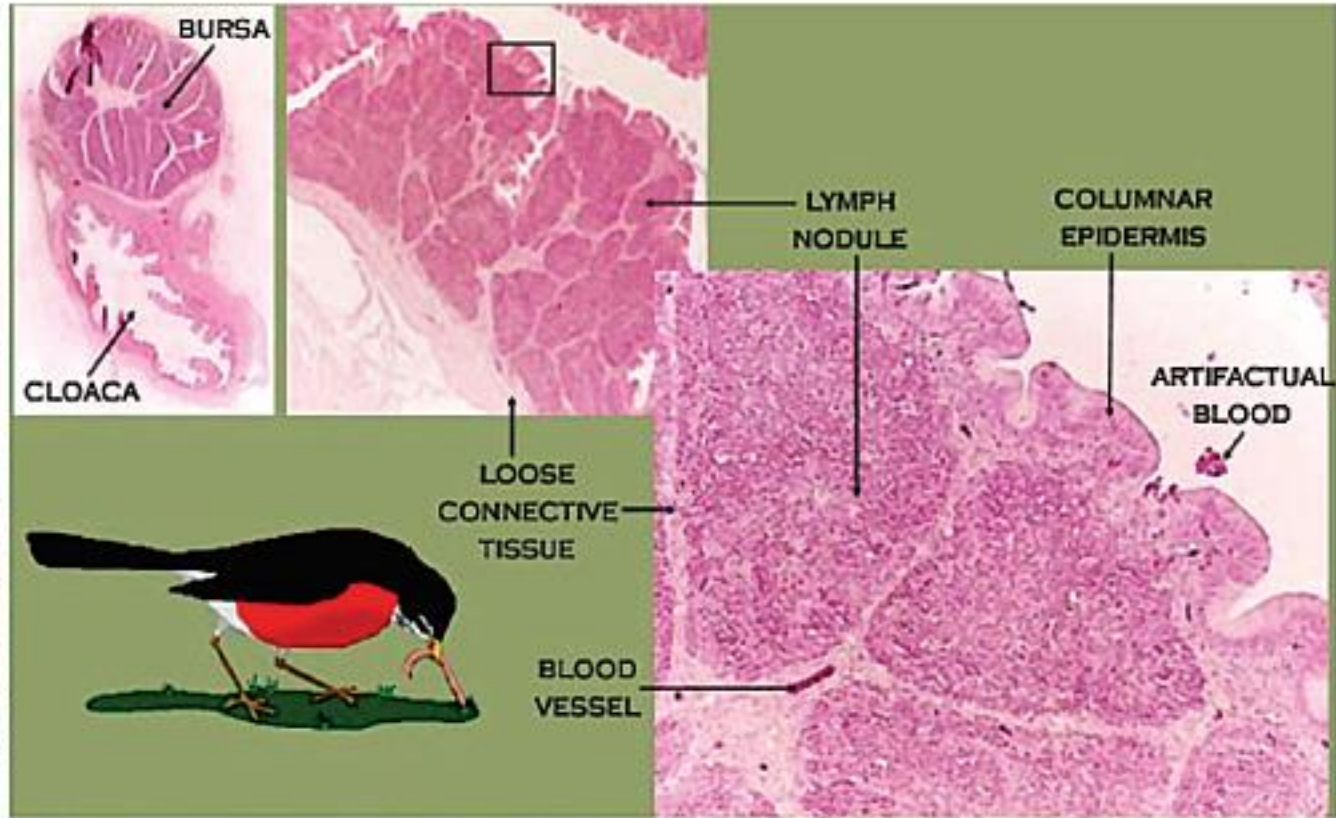
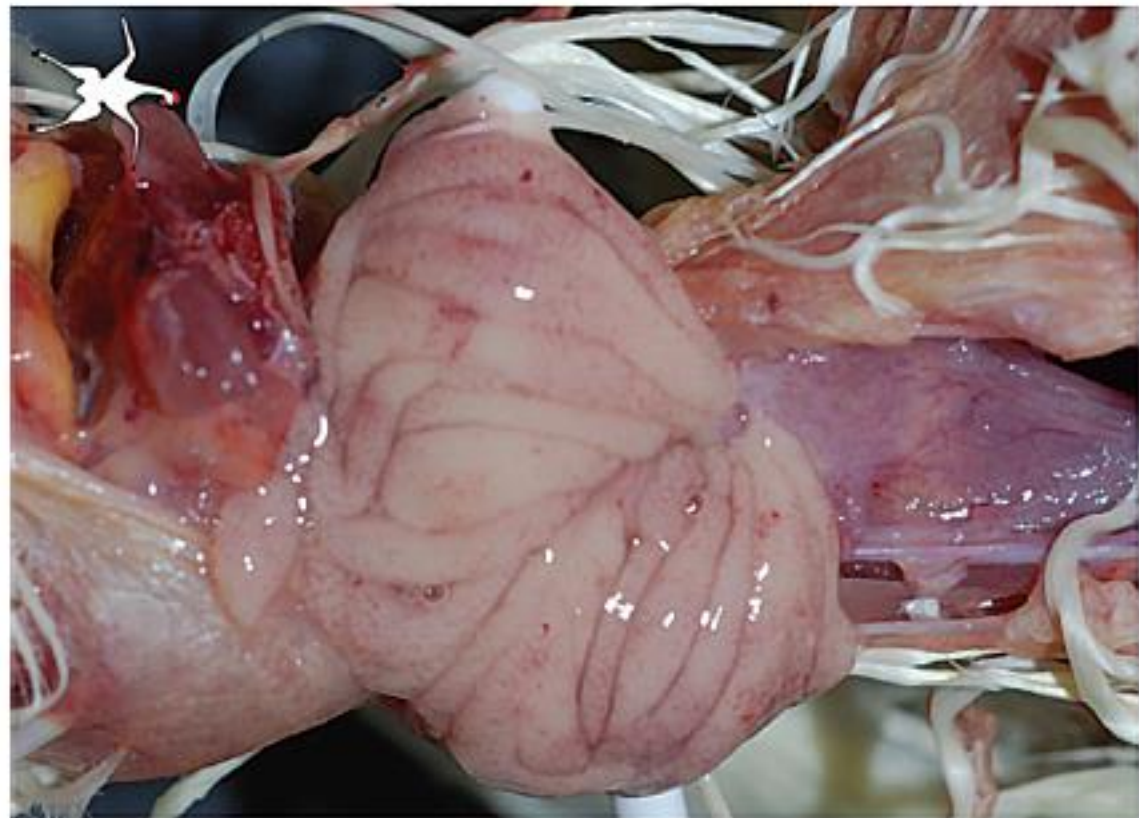




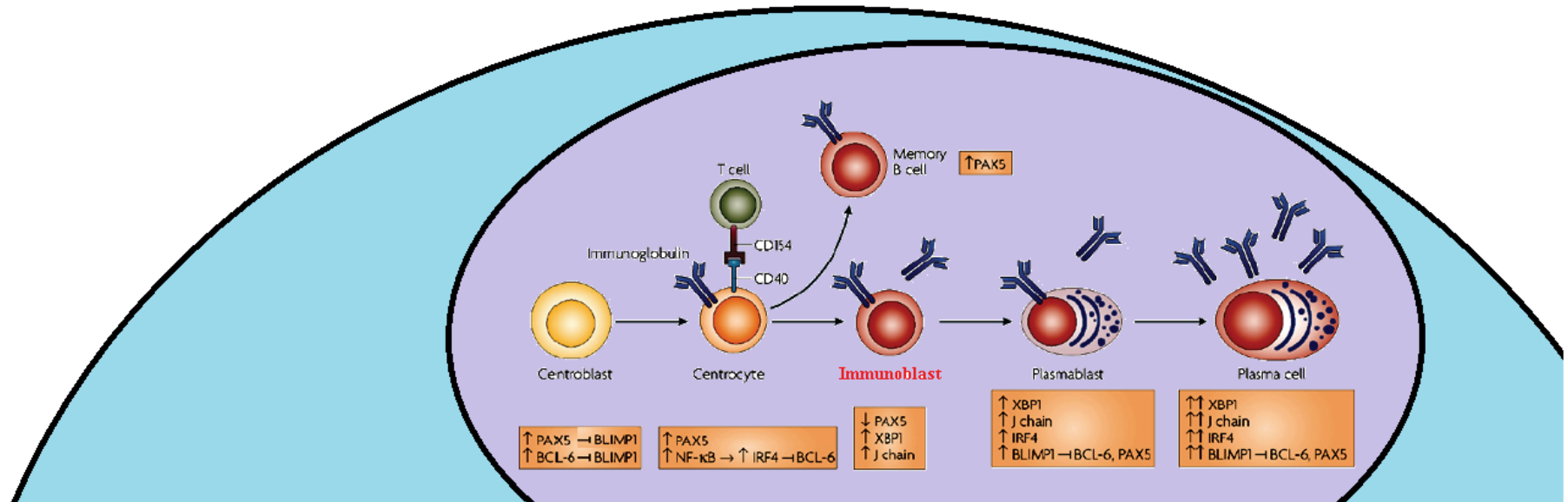
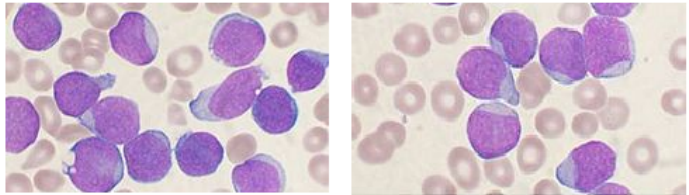
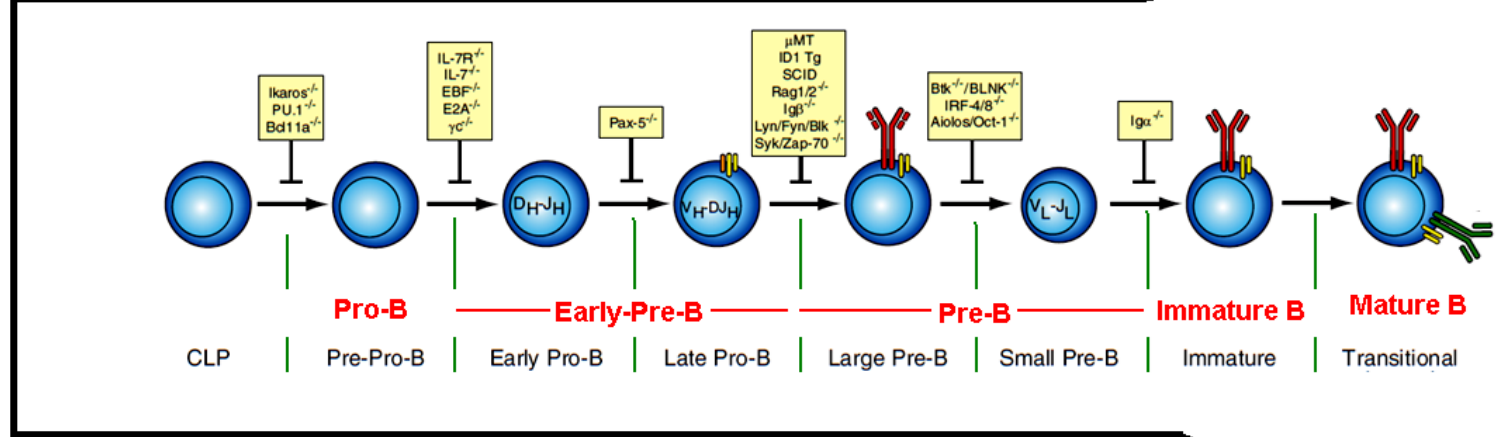
# Lymphoide Lineage



شکل ۱۵-۱۷: مراحل تولید لنفوسيت‌های B نوع ۱ و ۲ که به ترتیب در کبد و BM صورت می‌گیرد [۳۶].



شکل ۲۱-۴۳: ناحیه بورسا در انتهای کلواک مقعد پرندگان که به عنوان یک بافت لنفاوی اولیه در تولید لنفوцит‌های B نقش دارد [۳].





Histiocyte

Small Cells



Small round  
(Lymphocyte)



Small cleaved  
(Centrocyte)



Plasmacytoid small lymph  
(Immunocyte)



Monocyteoid small lymph  
(Monocyteoid lymph)

Intermediate Cells



Lymphoblast  
(Convoluted Lymphoblast)



Small non-cleaved  
(Burkitt's lymphoblast)

Large Cells

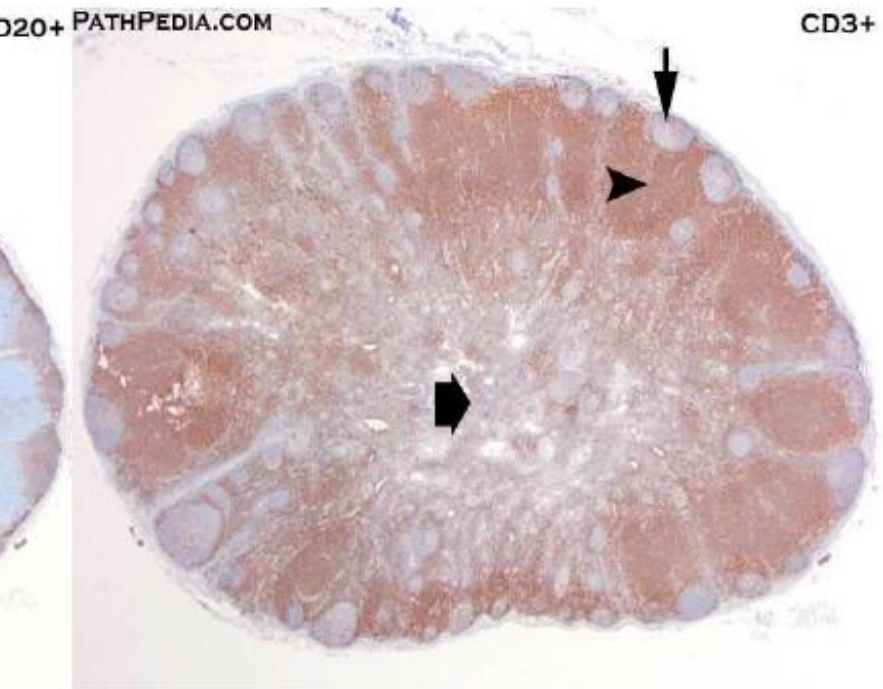
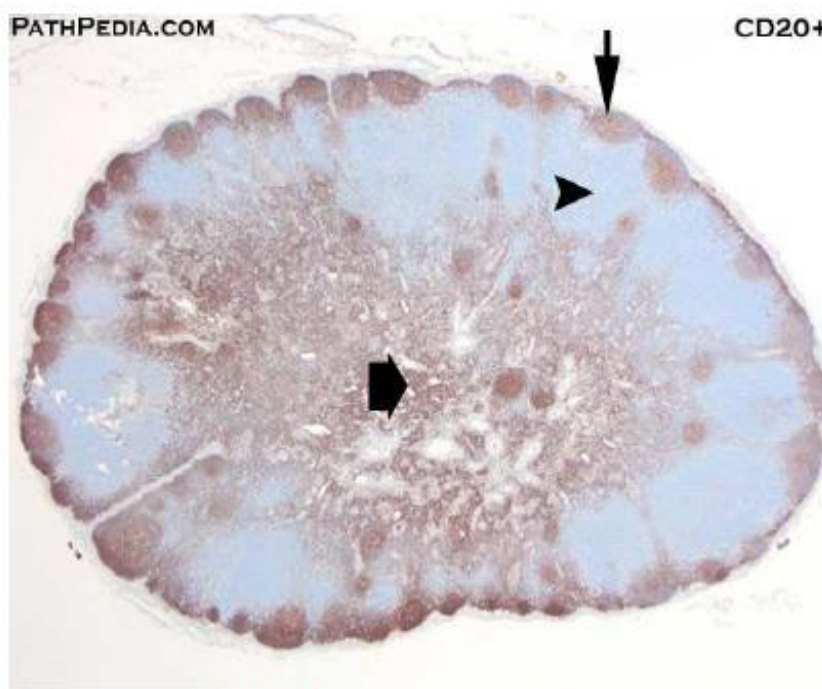
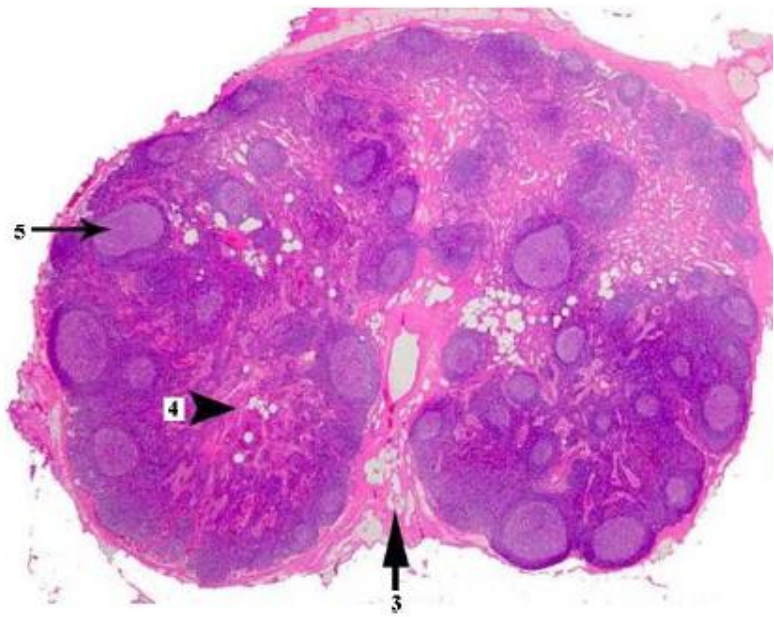


Large non-cleaved  
(Centroblast)

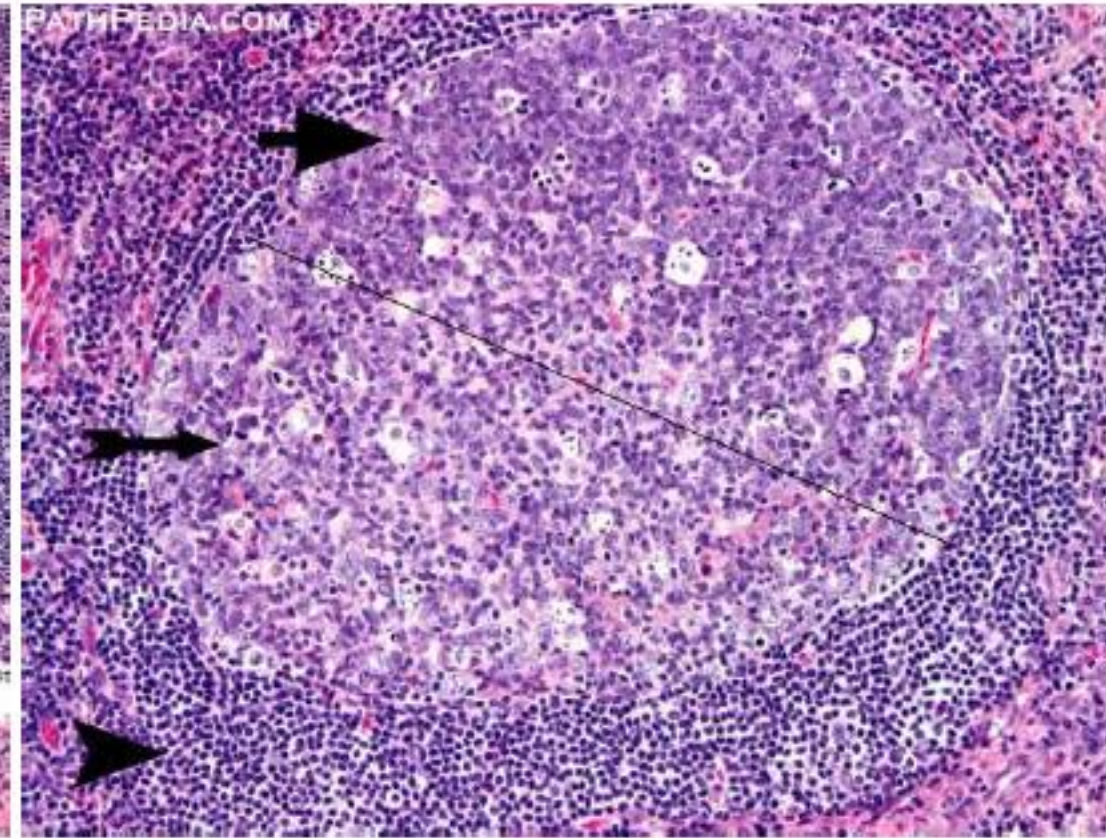
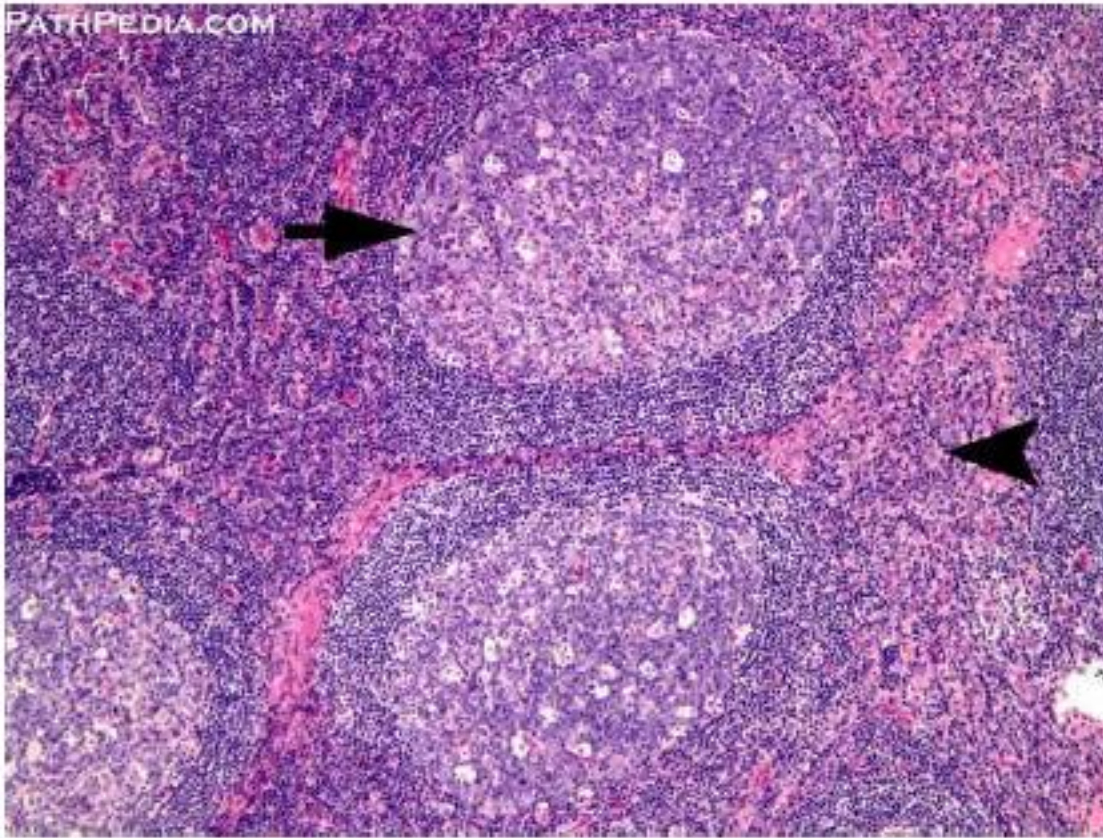


Immunoblast  
(Immunoblast)

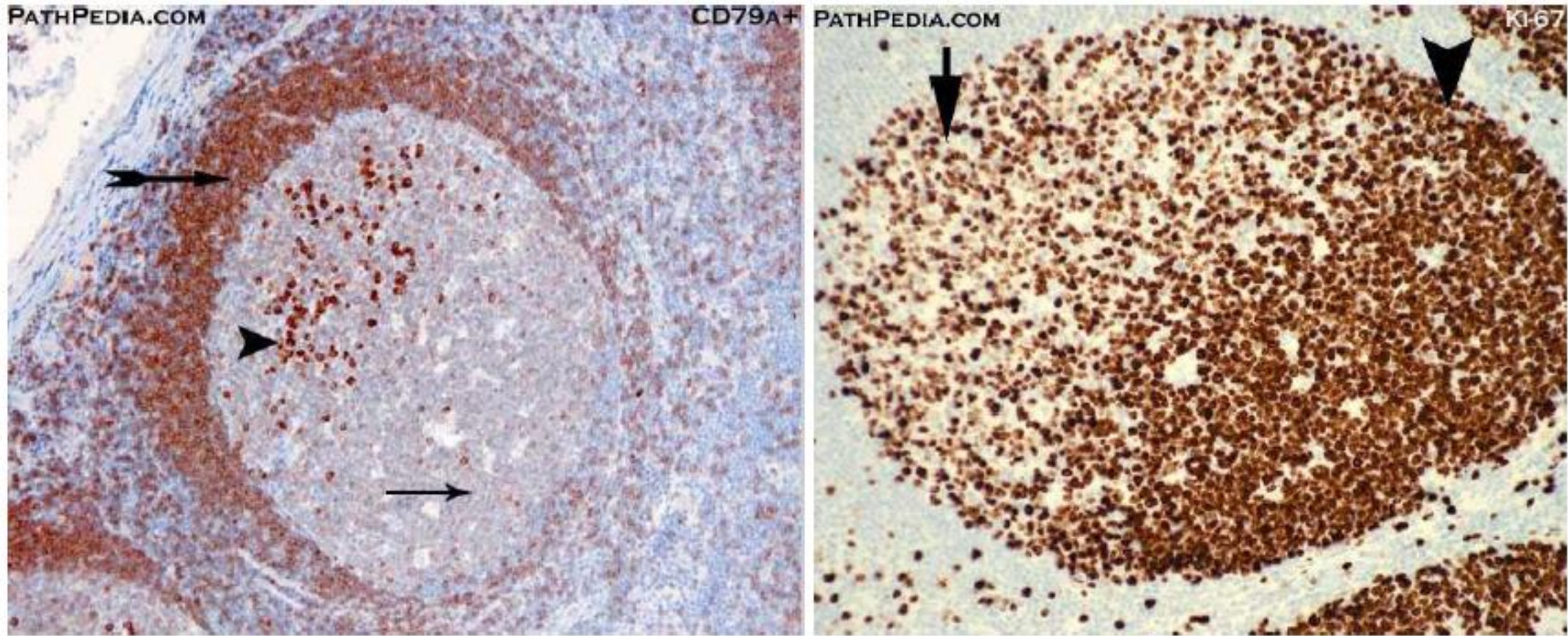
شکل ۳۳-۷۴: مورفولوژی انواع سلول‌های غدد لنفاوی (شامل سنتروبلاست، ایمونوبلاست، سنتروسیت، لنفوبلاست، لنفوپلاسماسیتوتیڈ و...)



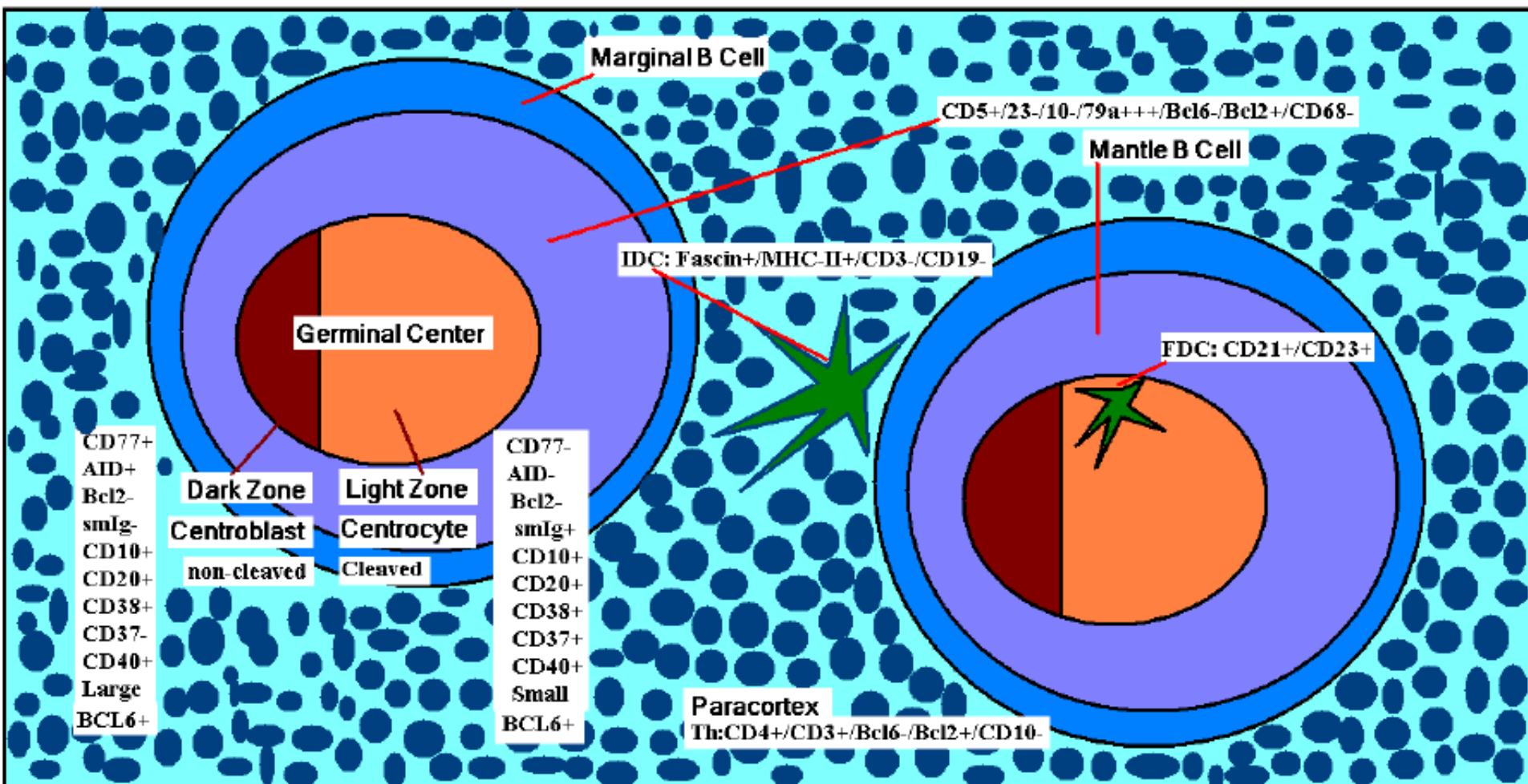
شکل ۴-۷۶: ساختار واقعی غدد لنفاوی که در آن به دلیل دو نوع واکنش CD20 اختصاصی Bسل‌ها و CD3 اختصاصی Tسل‌ها، نواحی فولیکولی غنی از CD20+ (فلش‌های بلند) به خوبی از نواحی پاراکورتکس غنی از CD3+ (سرفلش) تفکیک شده است. فلش ضخیم نیز نواحی مدولاری غنی از ماکروفال، پلاسماسل، Bخاطره، هیستوسیت، سینوس، آنتیبادی و تعداد معدودی Tسل و Bسل را نشان می‌دهد، از این رو در هردو رنگ آمیزی نواحی مدولاری مثبت (لهوهای) می‌شود. همان‌طوری که مشهود است نواحی پاراکورتکس و مدولاف قسمت اعظم غدد لنفاوی را تشکیل می‌دهند. غدد لنفاوی همانند کلانتری‌های محلی، پر از افسر، سرباز و قاضی کشیک هستند که پلیس‌های گشت (AgAPC) با دستگیری و بازداشت مجرمان (Agها) و تحویل آنها به کلانتری باعث پرونده‌سازی و محکومیت آنها می‌شوند (تولید سنتروسیت و آنتیبادی).



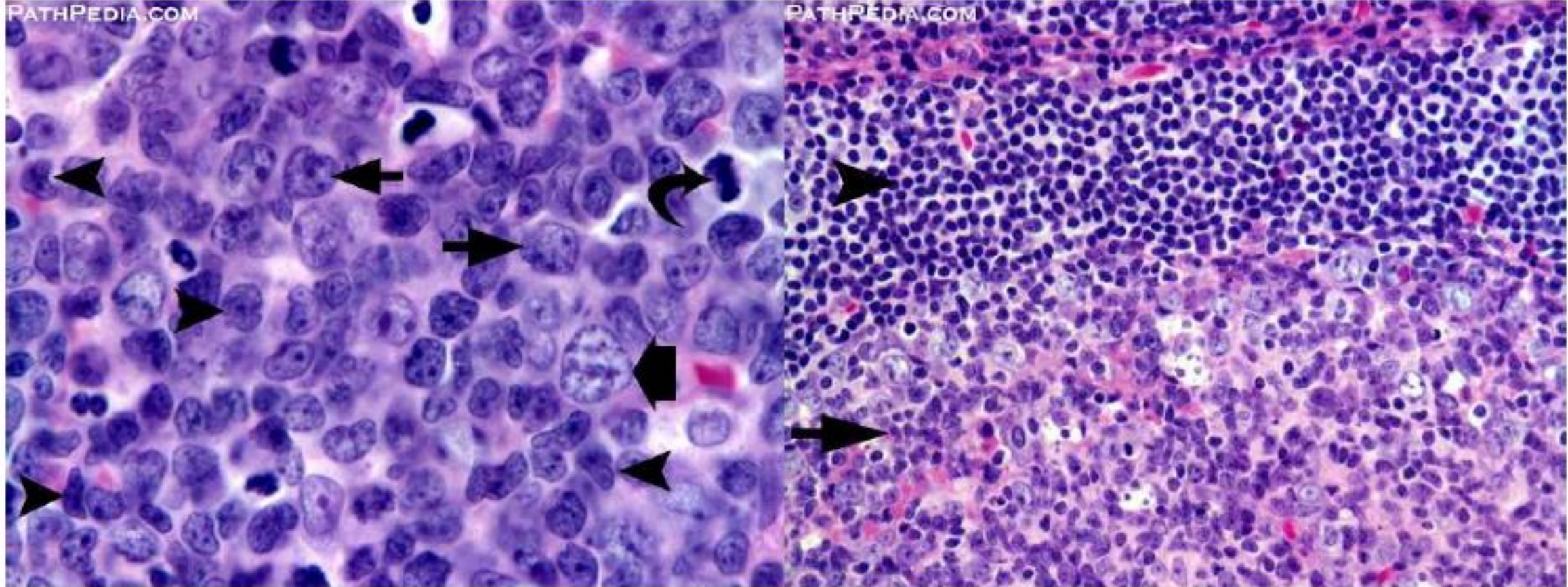
شکل ۱۶-۷۶: ساختار یک فولیکول لنفاوی ثانویه که ۱) از ناحیه فولیکولار (دایره میانی) مشکل از سنتروبلاست‌ها و سنتروسیت‌ها، ۲) منتل زون (حلقه دور فولیکول) مشکل از Bسل‌های بالغ ۳) نواحی پاراکورتکس مشکل از Tسل‌ها تشکیل شده است. فولیکول توسط فلشن و منتل زون توسط سرفلشن نشان داده شده است. در تصویر سمت راست، یک خط فرضی، ناحیه دارک زون (فلشن) مملو از سنتروبلاست‌ها را از ناحیه لایت زون (پیکان) مملو از سنتروسیت‌ها و پلاسماسل‌ها تشکیک نموده است. در لنفهم‌ها ساختار خرد لنفاوی بهم خورده و دارک زون و لایت زون از بین می‌روند.



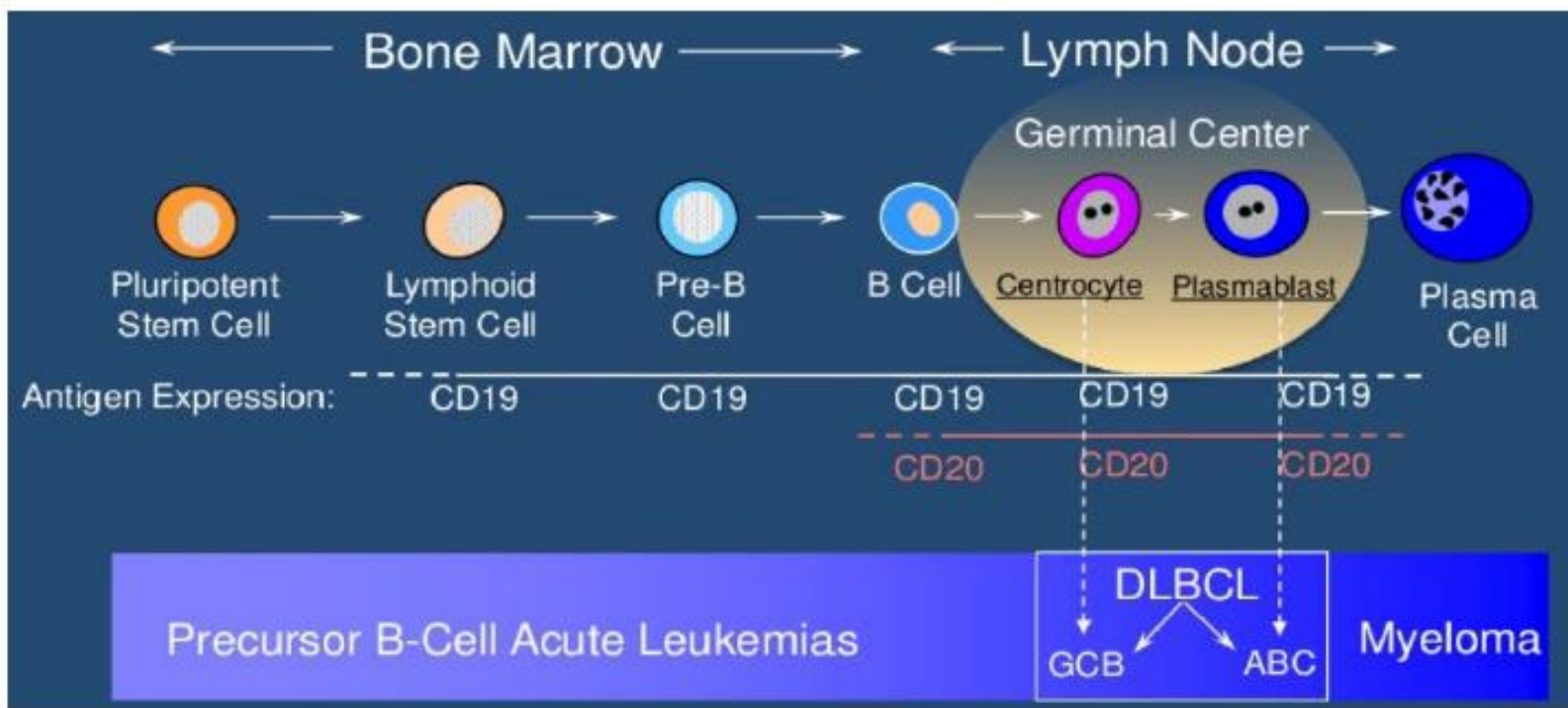
شکل ۷۴-۱۸: (راست) تناوت سنتروبلاست‌های شدیداً پرولیپرایبو<sup>+++</sup> Ki-67<sup>+++</sup> ناحیه دارک زون با سنتروبلاست‌های Ki-67<sup>+</sup> ناحیه لایت زون. (چپ) تناوت سل‌های ناحیه منتل زون که از بیان به مرانب قوی در CD79a در مقایسه با سل‌های ناحیه GC برخوردار می‌باشد. البته تعدادی از پلاسماسل‌های CD79a<sup>+</sup> نیز در لایت زون دیده می‌شوند. تمرکز منتل سل در قسمت مجاور لایت زون بیشتر از دارک زون می‌باشد.



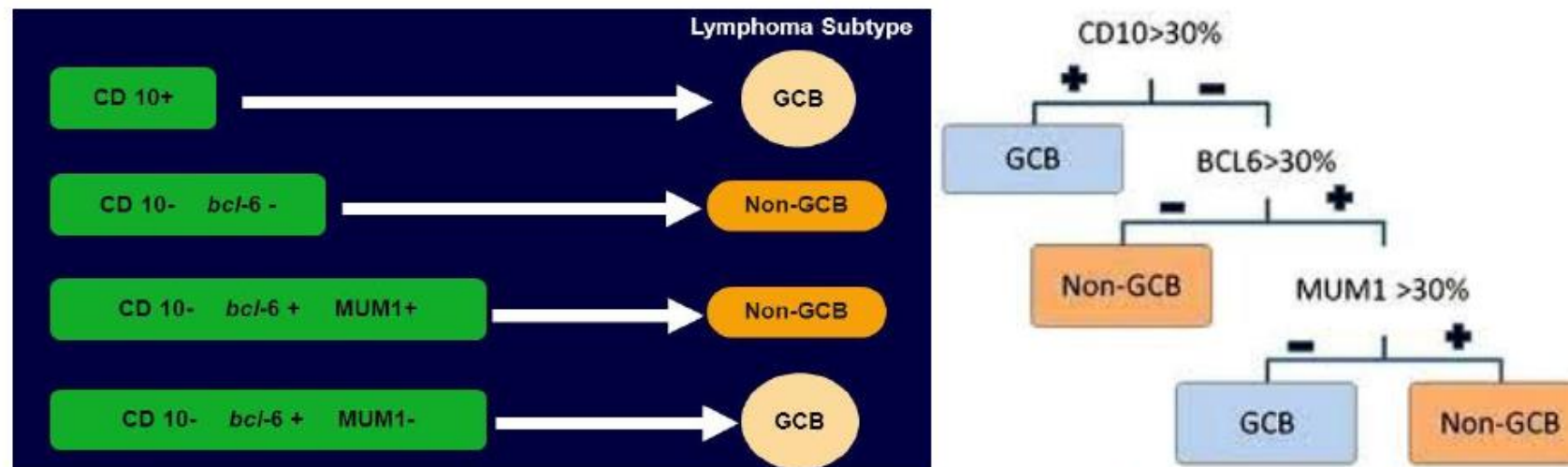
شکل ۱۵-۷۶: انواع مختلف سلول‌های موجود در کورتکس و پاراکورتکس یک غده لنفاوی حاوی دو فولیکول ثانویه که توسط دو کمربند لنفوцитی منتقل زون و مارژینال زون احاطه شده است. در فضای بین دو فولیکول نیز Tسل‌ها و IDC‌ها مستقر می‌باشند که مارکرهای ایمونوفوتایپی هر کدام نشان داده شده‌اند.



شکل ۲-۳۲: راست) تفاوت سل‌های کوچک ناحیه متراکم منتقل (سرفلش) با سل‌های فولیکولار بزرگ ناحیه باز و غیرمتراکم GC (فلش) که حاوی سلول‌های بزرگ سنتروبلاست و سلول‌های کوچک با هسته شکاف دار سنتروسیت می‌باشد. ناحیه منتقل در لنفوم‌ها نازک شده یا ناپدید می‌شود. چپ) سنتروبلاست‌های بزرگ با هسته غیرشکاف دار (فلش) همواره از سنتروسیت‌های بزرگ یا عمدتاً کوچک شکاف دار (سرفلش) قابل تمايز بوده و غالباً سنتروبلاست‌های خیلی بزرگ ایمونوبلاستی (فلش پهن) و سلول‌های میتوویک (فلش برگشته) نیز ممکن است دیده شوند.

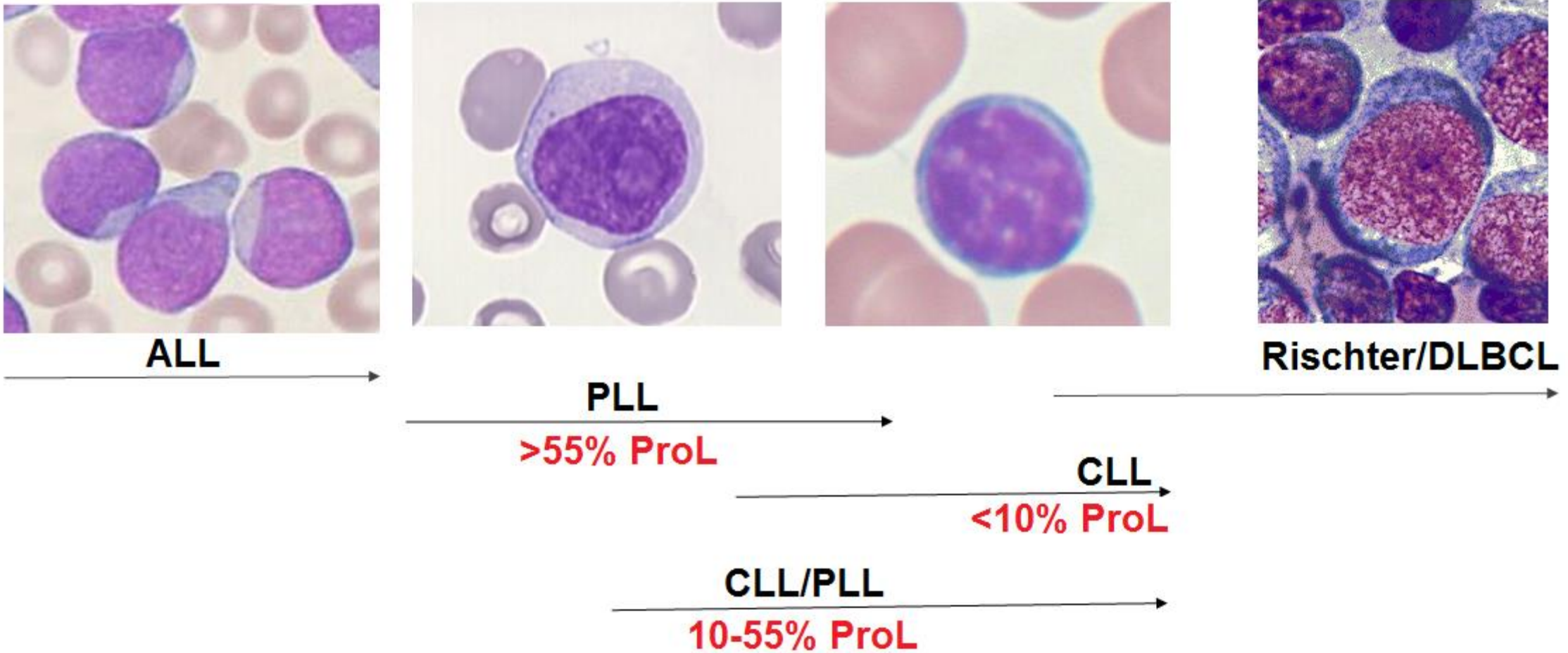


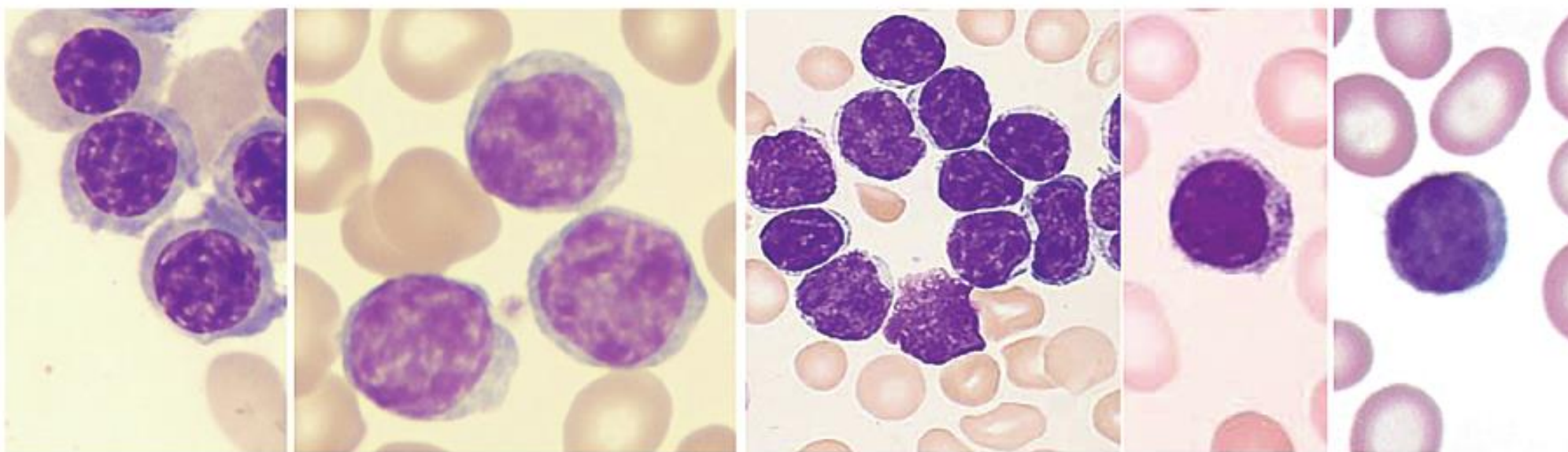
منشاء دو نوع غالب DLBCL که سنتروبلاست منشاء واریانت GCB (CD5+/CD10+/-) و پلاسمابلاست منشاء واریانت ABC (CD5-10+/-) می باشد.



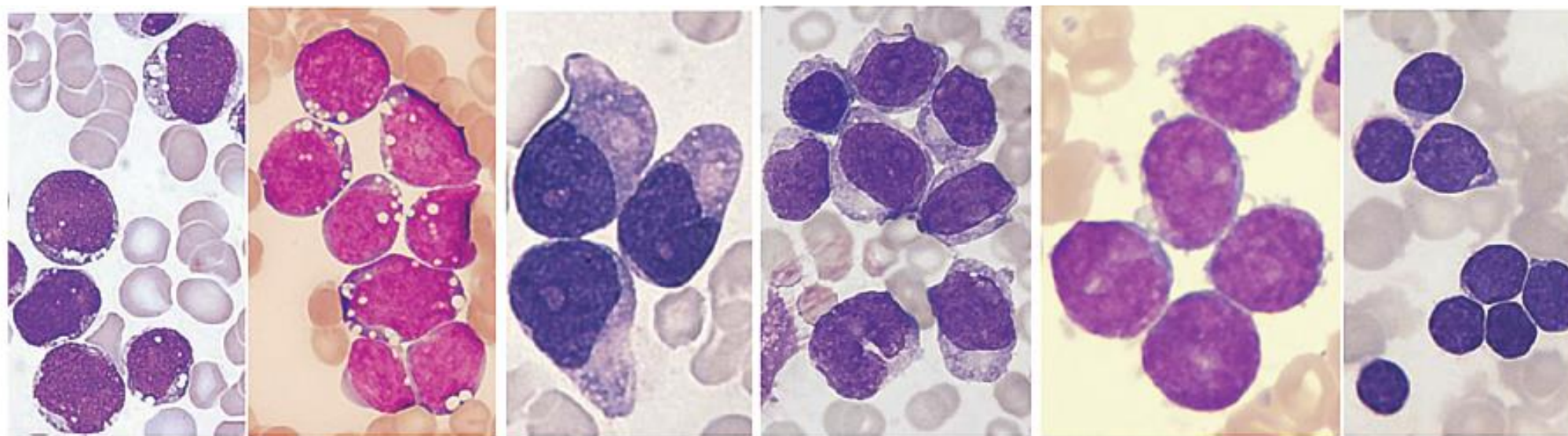
حدود ۳۰-۶۰ درصد بیماران DLBCL های GCB دارای CD10+ هم می شوند ولی اگر CD5+ بوده و حتی اگر CD10- بود، باید بیان Bcl6 و Mum1 نیز بررسی شود که اگر Bcl6+ و Mum1- بود.

کماکان واریانت GCB محسوب می شود ولی اگر Bcl6 هم منفی بود یا Bcl6+/MUM1+ بود، جزو ABC-DLBCL یا non-GCB DLBCL طبقه بندی می شود.





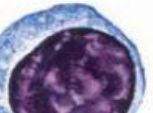
شکل ۱-۸۶: لنفوسيت‌های کوچک با سيتوپلاسم کم، توده‌های پاراکروماتينی در هسته، بدون هستک و هم اندازه یک RBC (سلول‌های شکل سمت چپ نورموبلاست اريتروئيدی می‌باشند).



شکل ۱-۹۰: از راست به چپ، تصویر ۲۹) لنفوبلاست L1 (کوچک، هموژن با سيتوپلاسم جزئی)، تصویر ۳۰( لنفوبلاست L2 (بزرگ، هتروژن و سيتوپلاسم زياد) و تصویر ۵ و ۶) لنفوبلاست L3 (بزرگ، هموژن با سيتوپلاسم آبي، زياد و واکوئل دار) [۲۵].



5A. Small lymphocyte



5B. Lymphocyte of intermediate size



5C. Lymphocyte with indented nucleus



5D. Lymphocyte of intermediate size



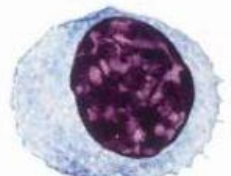
5E. Lymphocyte with pointed cytoplasmic projections (frayed cytoplasm)



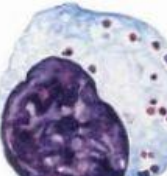
5F. Spindle-shaped lymphocyte with indented nucleus



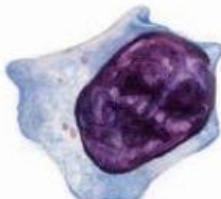
5G. Large lymphocyte with indented nucleus and pointed cytoplasmic projections



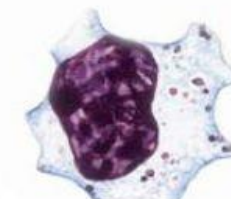
5H. Large lymphocyte



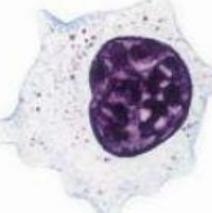
5I. Large lymphocyte with purplish-red (azurophilic) granules



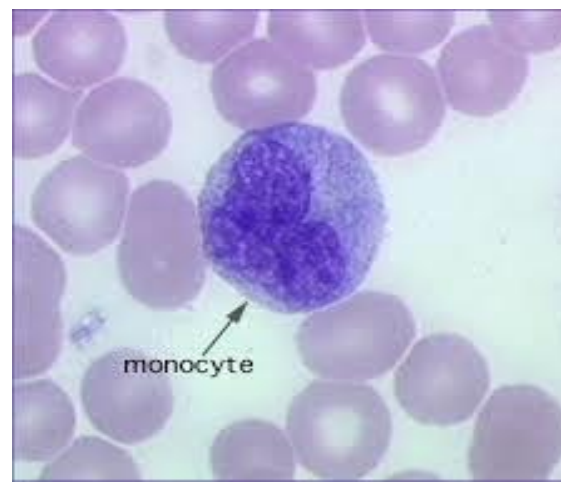
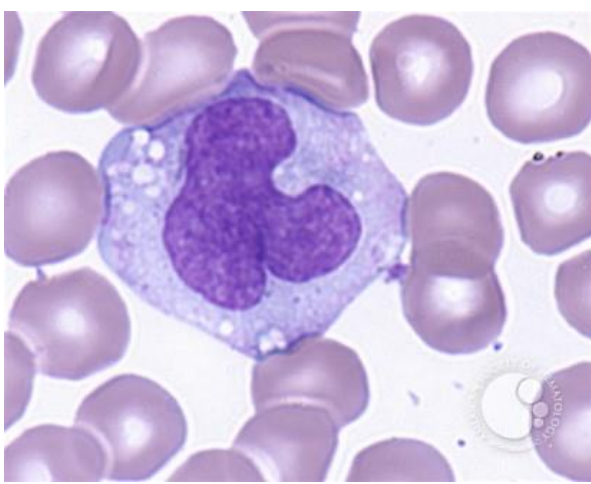
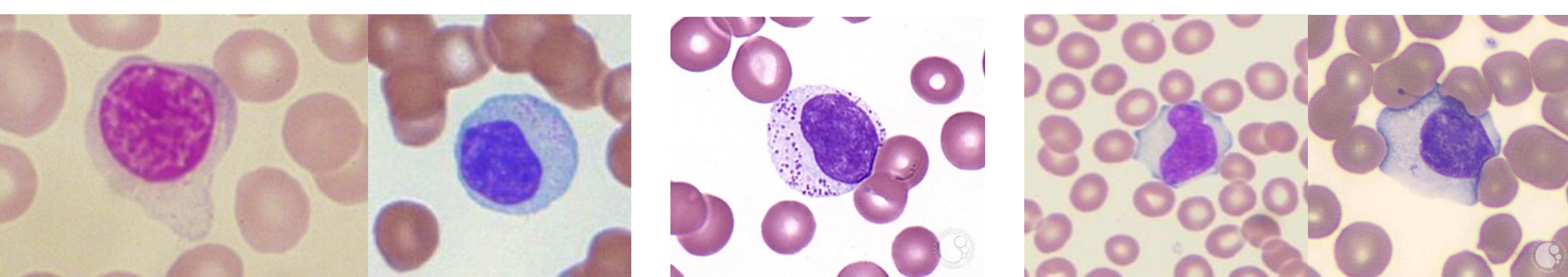
5J. Large lymphocyte with irregular cytoplasmic contours



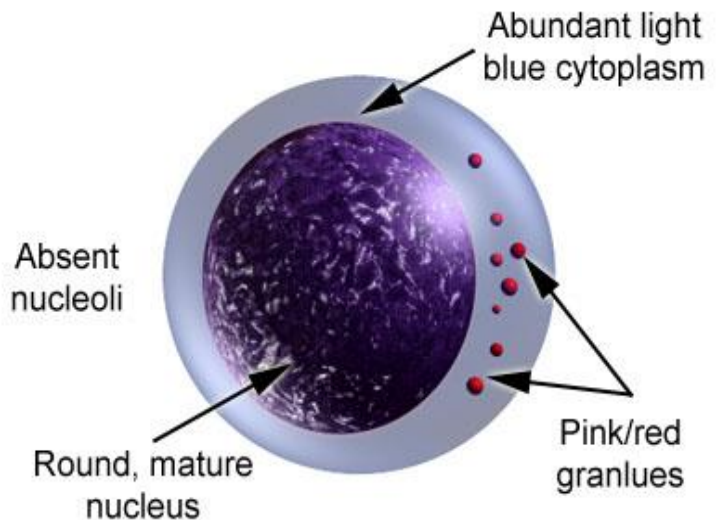
5K. Large lymphocyte with purplish-red (azurophilic) granules and with indentations caused by pressure of erythrocytes



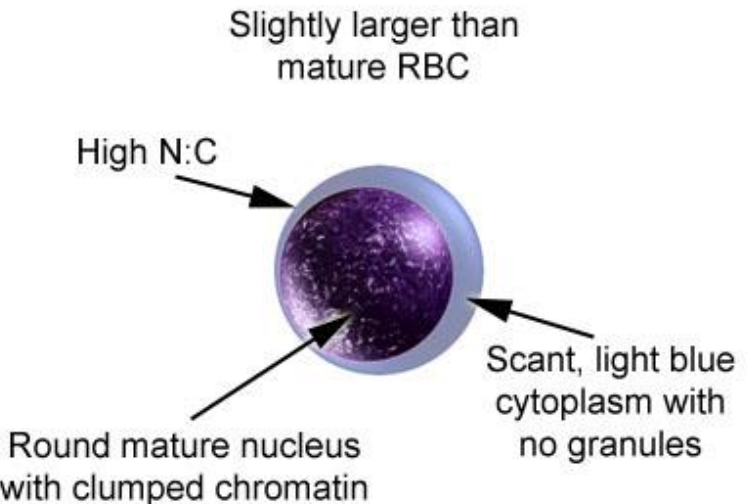
5L. Large lymphocyte with purplish-red (azurophilic) granules



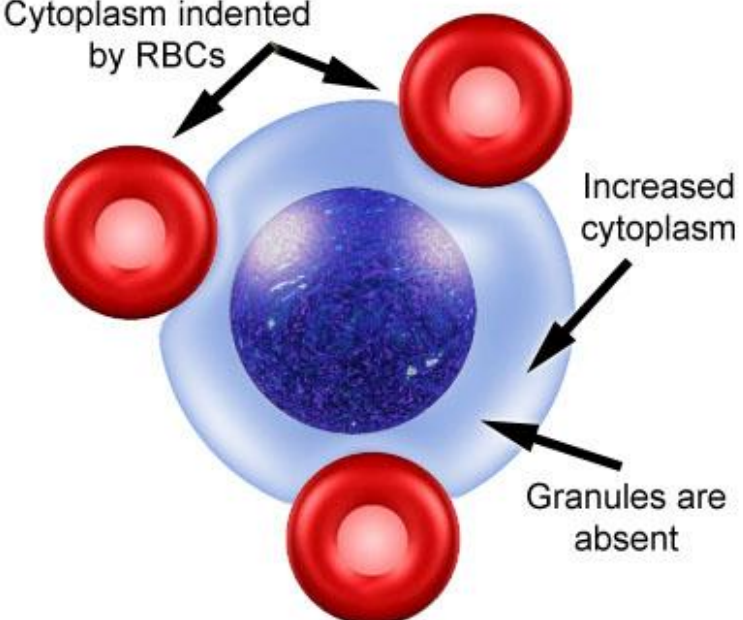
## LARGE GRANULAR LYMPHOCYTE



## LYMPHOCYTE



## REACTIVE LYMPHOCYTE

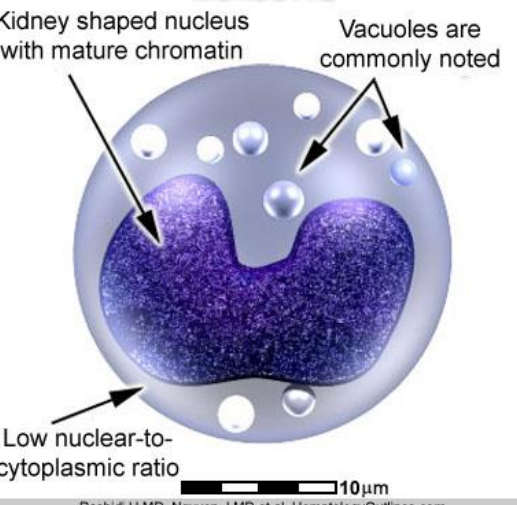


Rashidi H MD, Nguyen J MD et al. HematologyOutlines.com

Rashidi H MD, Nguyen J MD et al. HematologyOutlines.com

Rashidi H MD, Nguyen J MD et al. HematologyOutlines.com

## MONOCYTE



Rashidi H MD, Nguyen J MD et al. HematologyOutlines.com

# <sup>13 / 51</sup> Cancer Researcher Hal Downey Dies

Dr. Hal Downey, 81, hematologist and emeritus professor of anatomy, died Friday at Northwestern Hospital.

**DR. DOWNEY, WHO** was on the University staff from his graduation from Minnesota in 1903 until his retirement in 1946, has been called the Father of Hematology.

He contributed to the medical understanding of leukemia and its malignancy, and infectious mononucleosis.

After being granted his Ph.D. degree from the University in 1909, Dr. Downey studied at the University of Berlin in 1910, and at the University of Strassburg in 1911. He was professor of zoology at Minnesota until 1929 when he became professor of anatomy. After his retirement in 1946, he lectured at the Mayo Clinic for two years.

Dr. Downey wrote many papers—the first in 1909 in a German scientific journal, "Folia Hematologica." At the time of his death, he was still the only American editor of this journal.

**HIS LAST SCIENTIFIC** paper will appear in the journal "Surgery." This paper reports Dr. Downey's attempt to produce cancer cells in mice by means of tobacco tar.

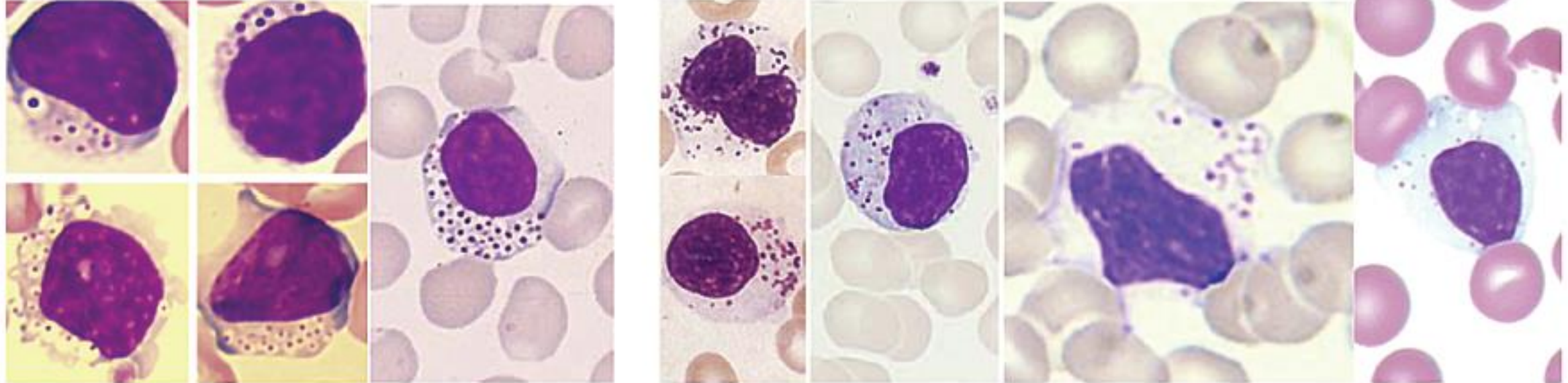
Survivors include his wife, Iva Gove; two daughters, Phyllis, Seattle, Wash., Mrs. William (Jean) Knobell, Minneapolis; one son Richard, Dayton, Ohio; three granddaughters and one grandson.

Services will be held at the Johnson Mortuary, at 1:30 p.m. tomorrow. Visitors may call at the mortuary after 4:30 p.m. today.

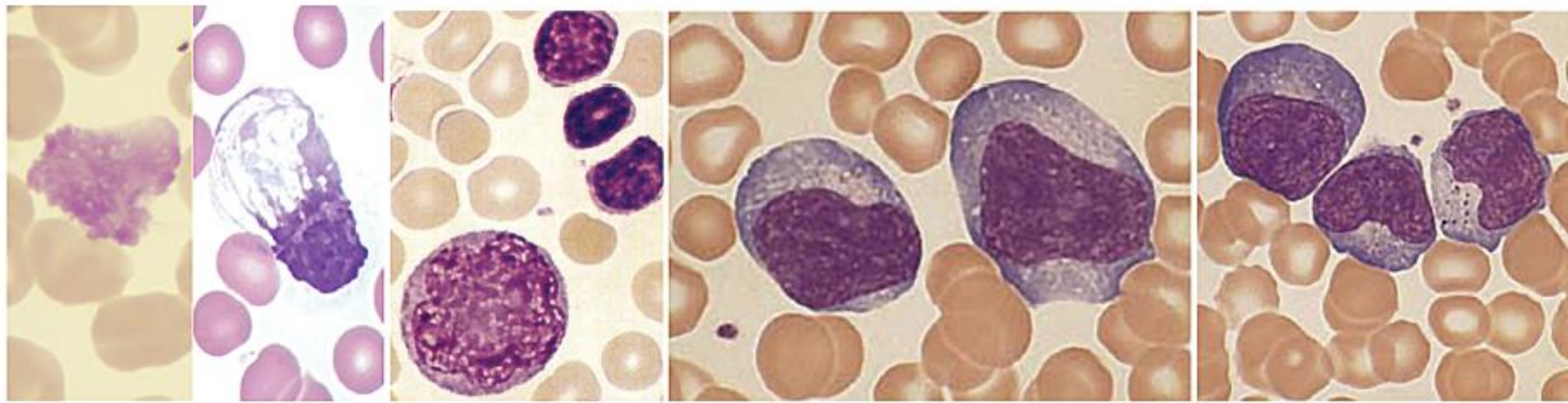
The family requests that any memorials be directed to Malignant Disease Research, University of Minnesota Memorial Fund.



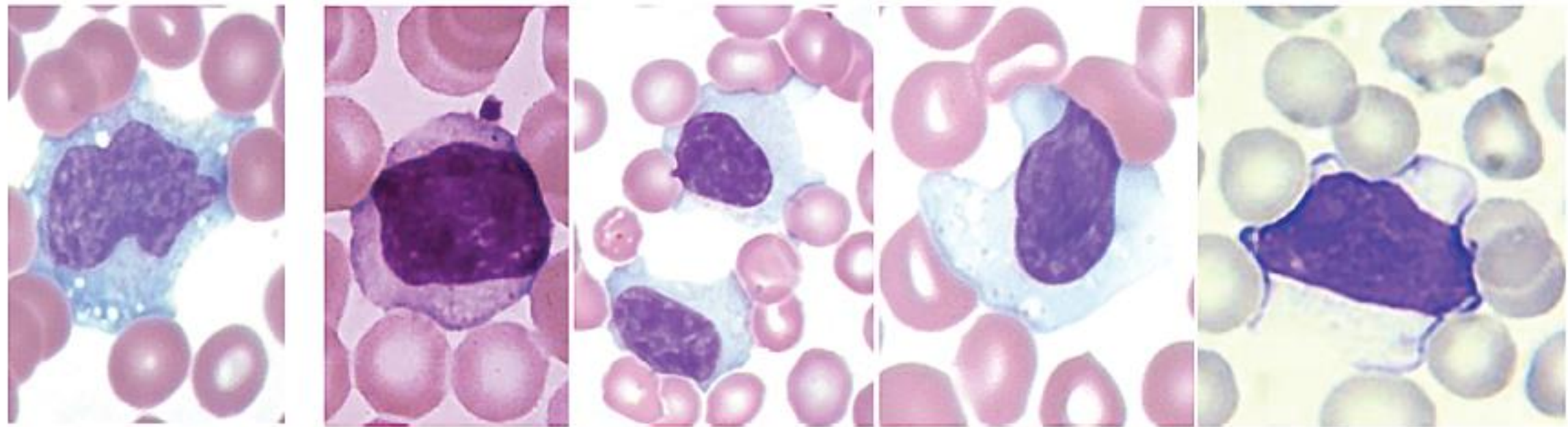
**Dr. Hal Downey**  
*Researcher dies*



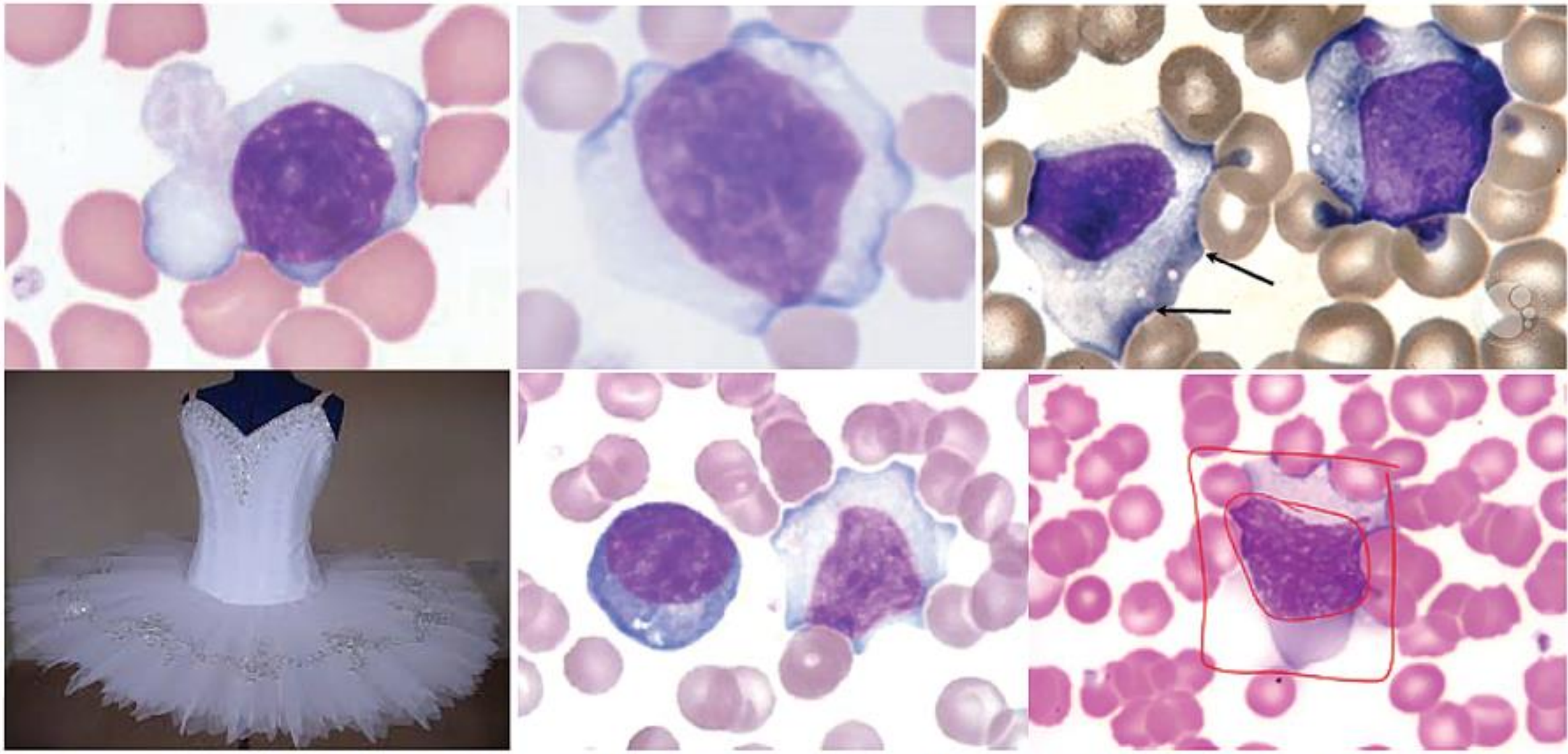
شکل ۲۱-۸۸: لنفوسيت های بزرگ و گرانول دار NK سل یا LGL که شباهت بالایی با لنفوسيت های گازدار (Gasser Cell) ناشی از سندروم آلدر-ریلی و سندروم گارگوئیلیسم دارند [۲۵].



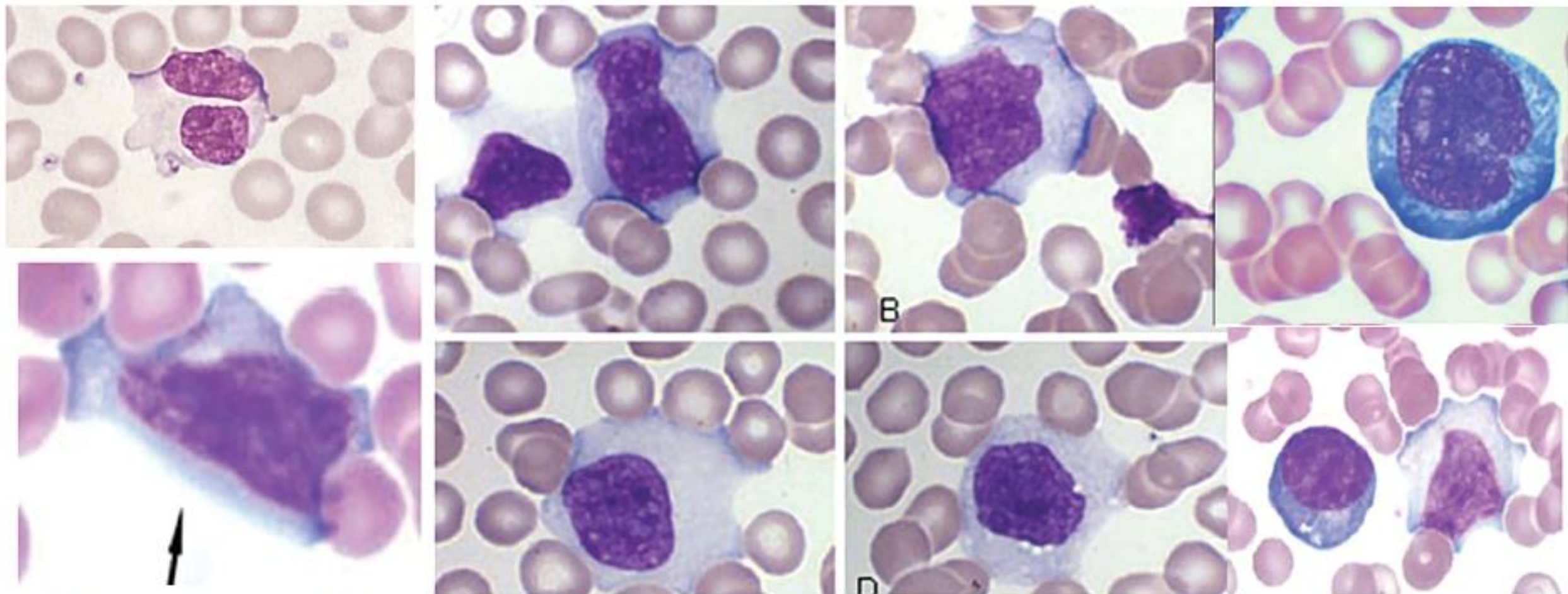
شکل ۲۱-۸۹: از راست به چپ) لنفوسيت های آتیپیک دائونی I (پلاسماسیتوئید)، دائونی II (مونوسیتوئید) و دائونی III (بلاستوسیتوئید). حضور این سلول ها دلیل بر استحالة و ترانسفورمیشن سلول های لنفوئیدی در پاسخ به تحریک آنتی ژنی می باشد. تصویر ۴ یک بسکت سل (لنفوسيت سبدمانند) و تصویر ۵ یک اسماج سل (لنفوسيت له شده) را نشان می دهند [۲۵].



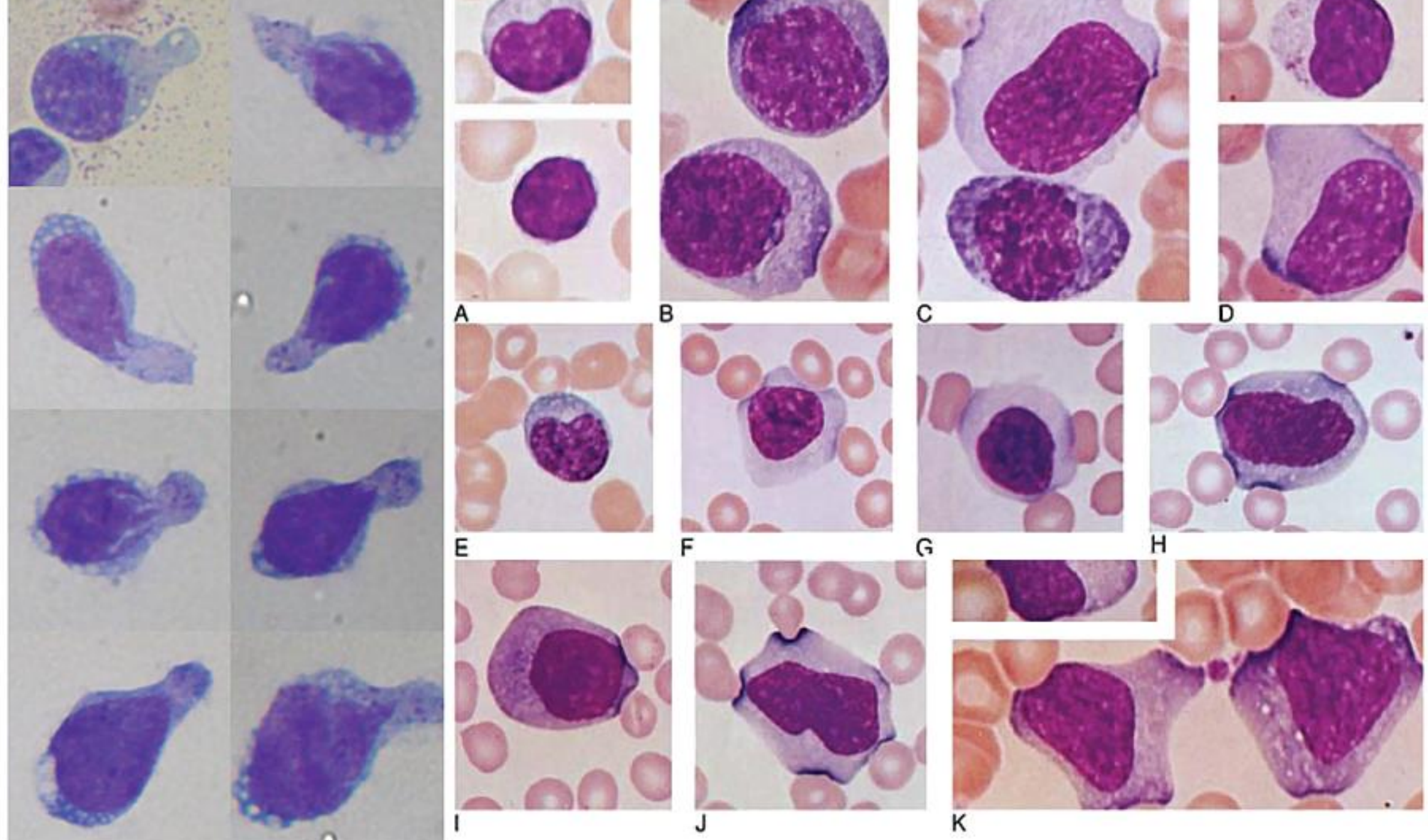
شکل ۲۱-۸۷: لنفوسيت‌های بزرگ با سیتوپلاسم بزرگ، کمرنگ، کم تراکم و شل که توسط سلول‌های اطراف شکل گرفته و به صورت دندانه‌دار در آمده‌اند. اگر در کنار این سلول، طیفی از لنفوسيت‌های آتیپیک یا واریانت مشاهده شود، از این سلول‌ها تحت عنوان لنفوسيت آتیپیک دائمی II (مونوسیتوئید) یاد می‌شود. بر خلاف لنفوسيت بزرگ، در مونوسیت‌ها (شکل سمت چپ) واکوئل سیتوپلاسمی، سیتوپلاسم کدر و خاکستری، ذرات گرد و غبارمانند، پاهای کاذب و کروماتین ظریف مشاهده می‌شود [۲۵].



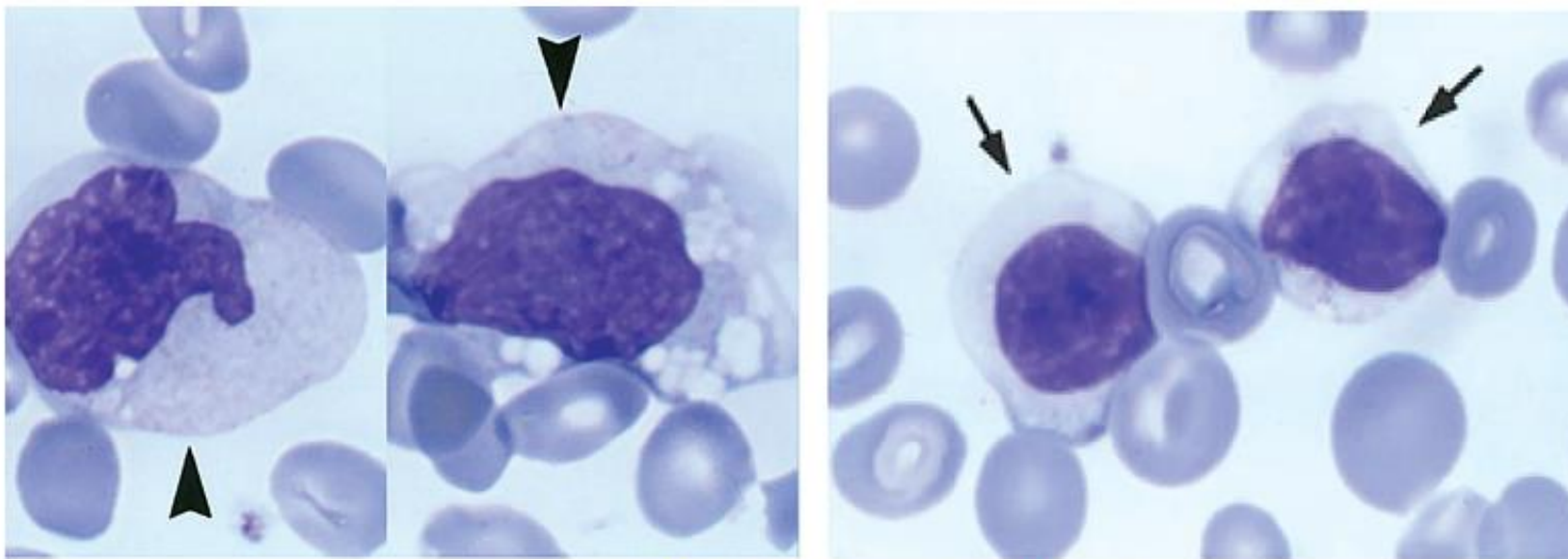
شکل ۷-۱۰۷: بزرگنمایی بالا از انواع لنفوцит‌های آتیبیک در بیماری IM که گاهی از آنها به عنوان سلول‌های شبیه دامن بالرین یاد می‌شود.



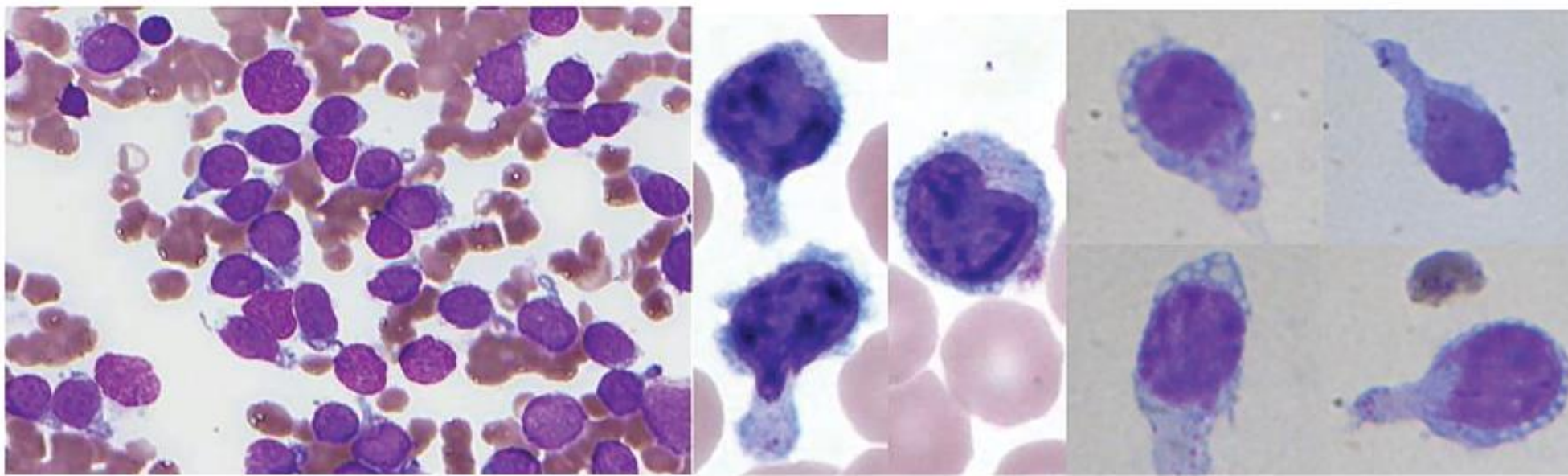
شکل ۱۰۸-۵: نهایت تنوع در شکل و اندازه لنفوسيت‌های آتیپیک مشاهده می‌شود توجه داشته باشید که سلول‌های سرطانی بر خلاف لنفوسيت‌های آتیپیک تقریباً یکدست بوده و در غالب موارد با کم خونی و ترومبوسیتوپنی همراه می‌باشند.



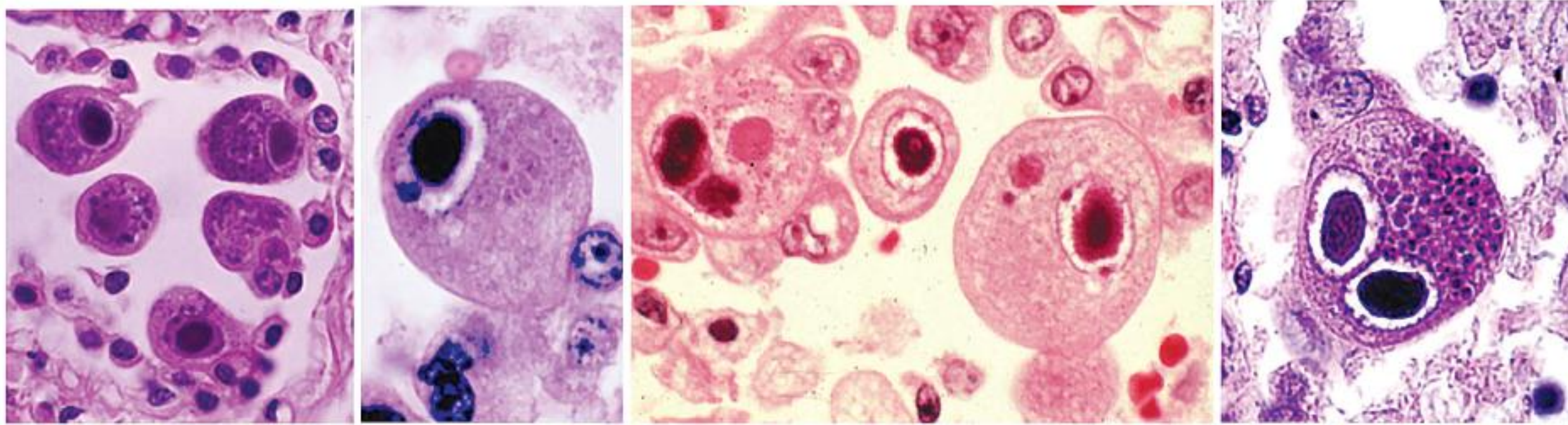
شکل ۱۱۰-۵: میدان‌های مختلف میکروسکوپی در بیمار مبتلا به منونوکلئوز عفونی مشاهده می‌شود. به اشکال مختلف لنفوسيت‌های آتیپیک توجه فرمائید [۵۴].



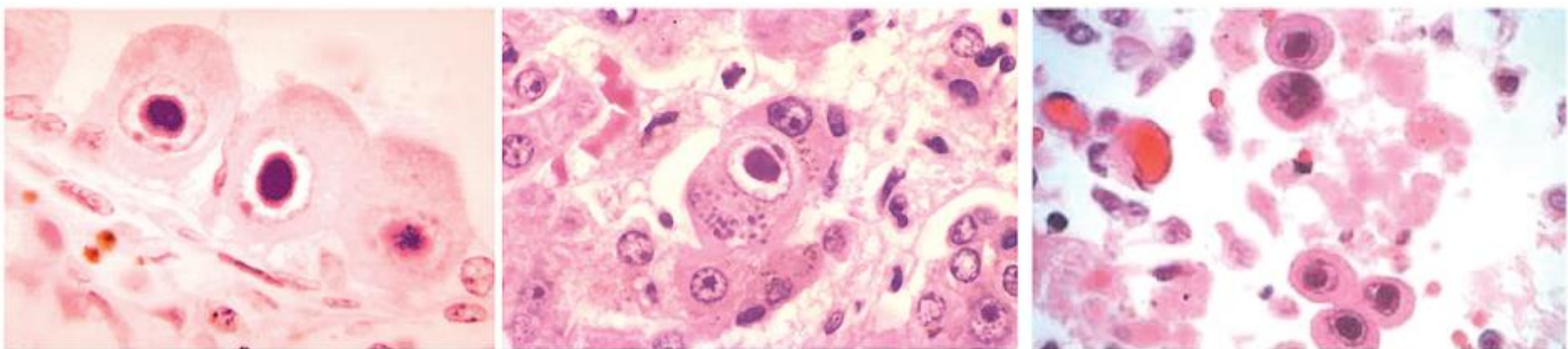
شکل ۹-۱۰۵: تفاوت لنفوسيت‌های آتيبيك داتوني II (راست) با موتوسيل (چپ)



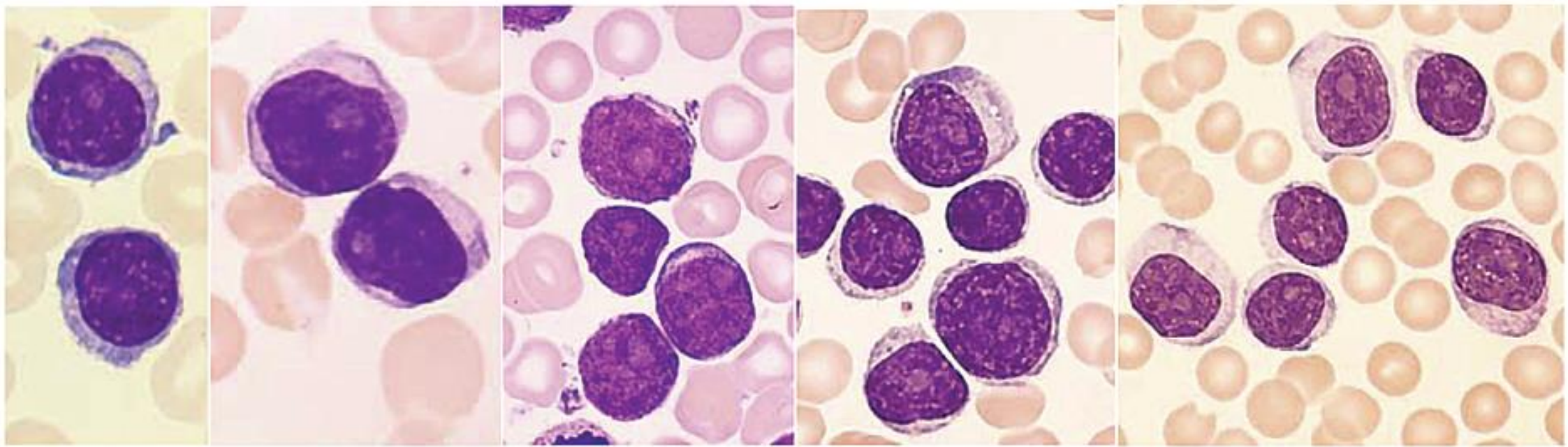
شکل ۹-۱۰۹: انواع لنفوسيت‌های آينه دست



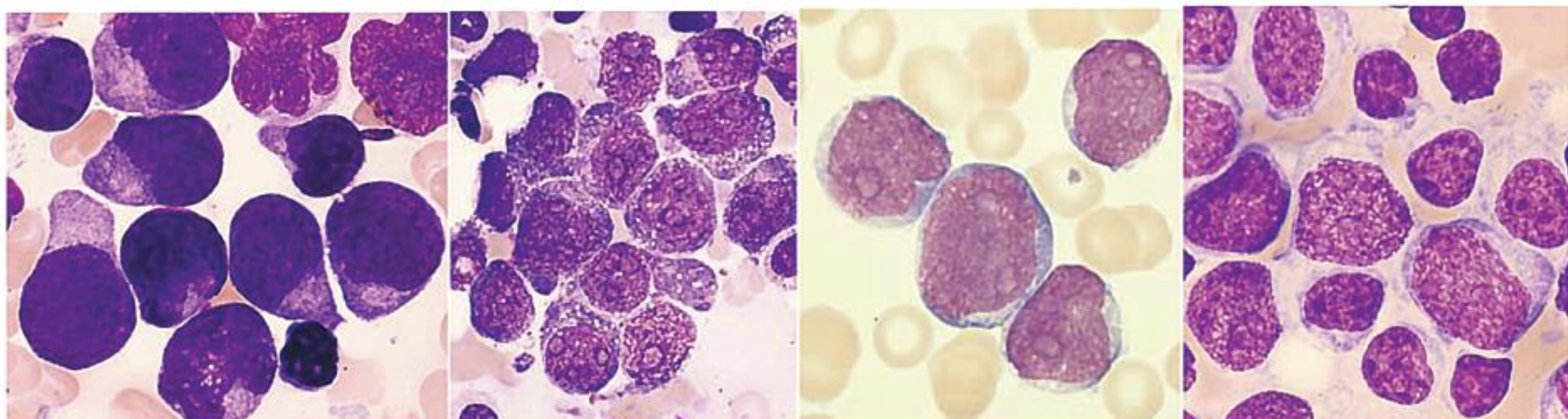
شکل ۱۱۶-۵۹: آلودگی سلول‌های مونونوکلئر به CMV که به ایجاد سلول‌های بزرگ شبیه با انکلوزیون داخل سلولی بزرگ شبیه جغد منجر می‌شود.



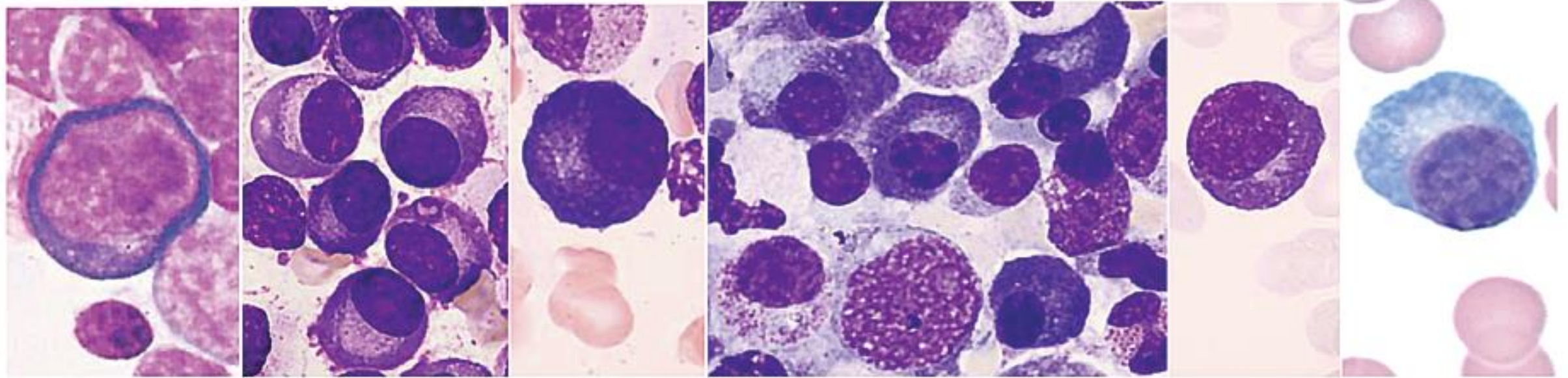
شکل ۱۱۹-۵۹: بررسی انکلوزیون شبیه جغد در رکشت فیبروبلاست‌های مجاور شده با نمونه بیمار



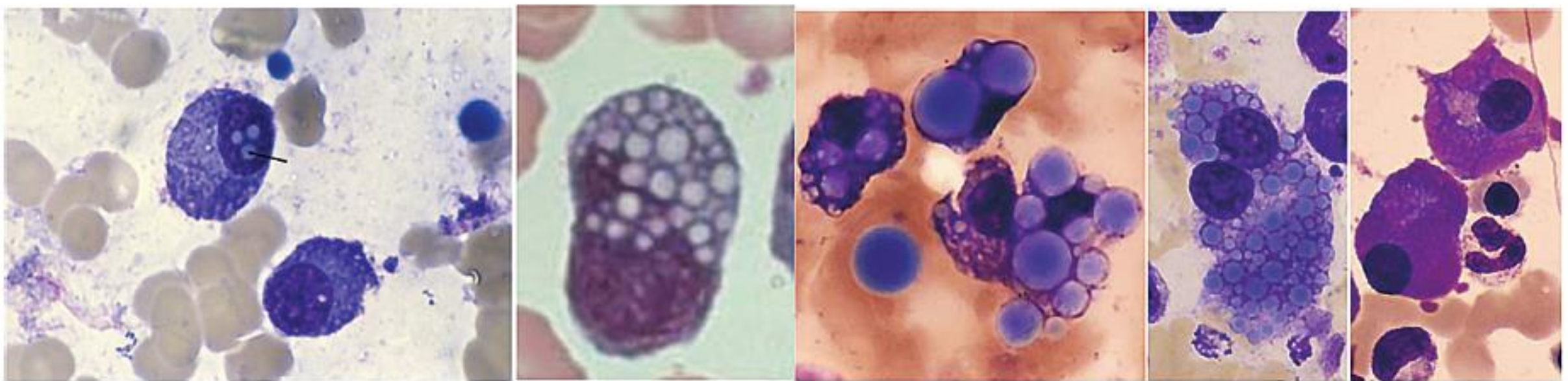
شکل ۲۱-۹۱: پرولنفوسيت‌های بزرگ با اندازه هتروژن، هستک واضح، کروماتین باز و رتیکولار که برخلاف لنفوسيت بزرگ و دائونی II، دارای هستک و کروماتین لانه زنبوری بوده و برخلاف لنفوبلاست نوع L2 ترموبوسیتوبیتی در آن مشاهده نشده و در کنار آن انبوهی از لنفوسيت‌های بالغ نیز دیده می‌شوند [۲۵].



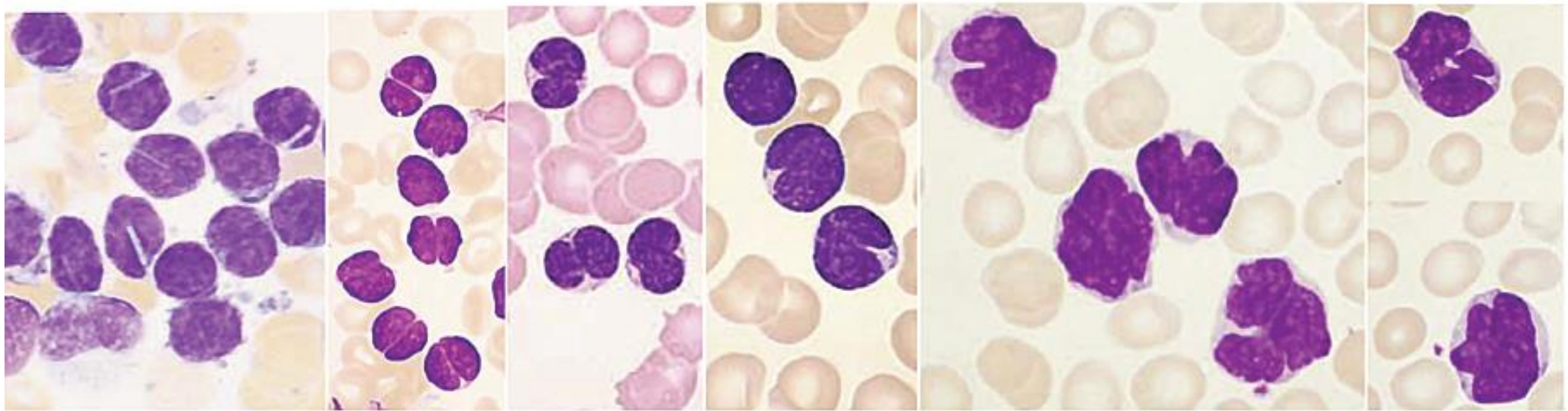
شکل ۲۱-۹۸: از راست به چپ) سنتروblast، سنتروبلاست، Bسل بزرگ منتشره لنفومایی، Tسل بزرگ آنایلاستیک لنفومایی [۲۵]



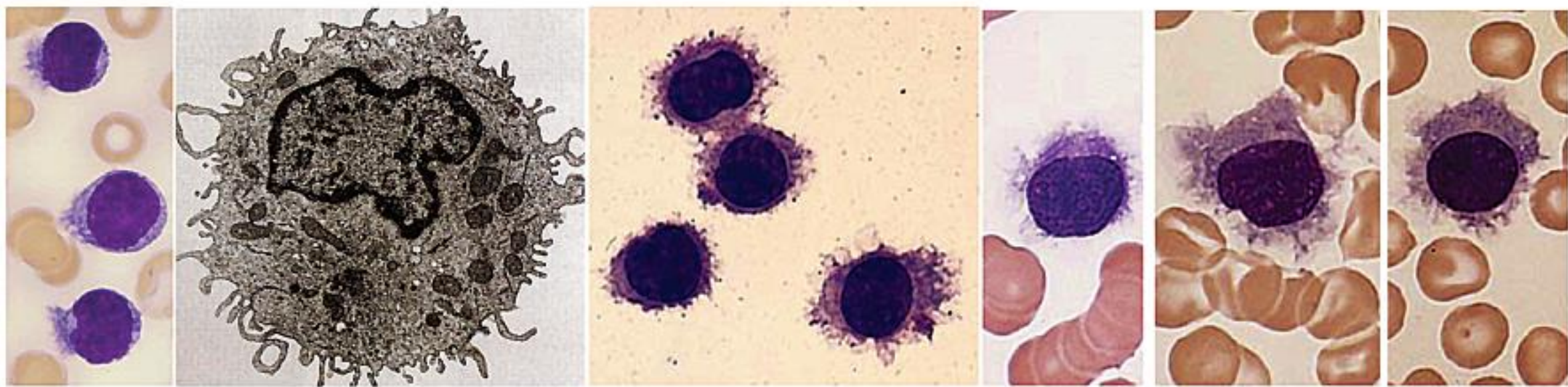
شکل ۲۱-۹۲: پلاسماسل‌های دوکی شکل و طبیعی که حاوی هسته خارج مرکزی، زون گلزاری واضح و تراکم کروماتینی چرخ در شکه‌ای هستند. تصویر سمت چپ نیز یک پلاسمابلاست با هسته گرد، کروماتین لانه زنبوری، سیتوپلاسم آبی و هسته نسبتاً کناری با زون گلزاری کوچک را نشان می‌دهد.



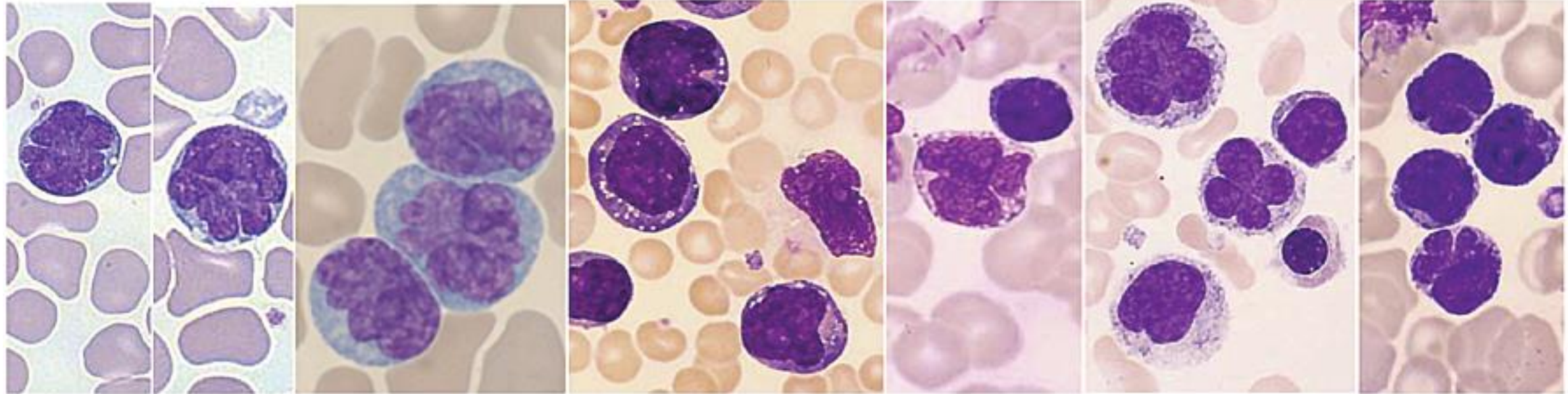
شکل ۲۱-۹۳: پلاسماسل‌های فلیم‌سل (سلول شعله‌ای) و موت‌سل (انگوری شکل) که حاوی اجسام راسل سیتوپلاسمی (تصاویر ۲، ۳ و ۴) و اجسام داچر هسته‌ای (تصویر ۵) هستند [۲۵].



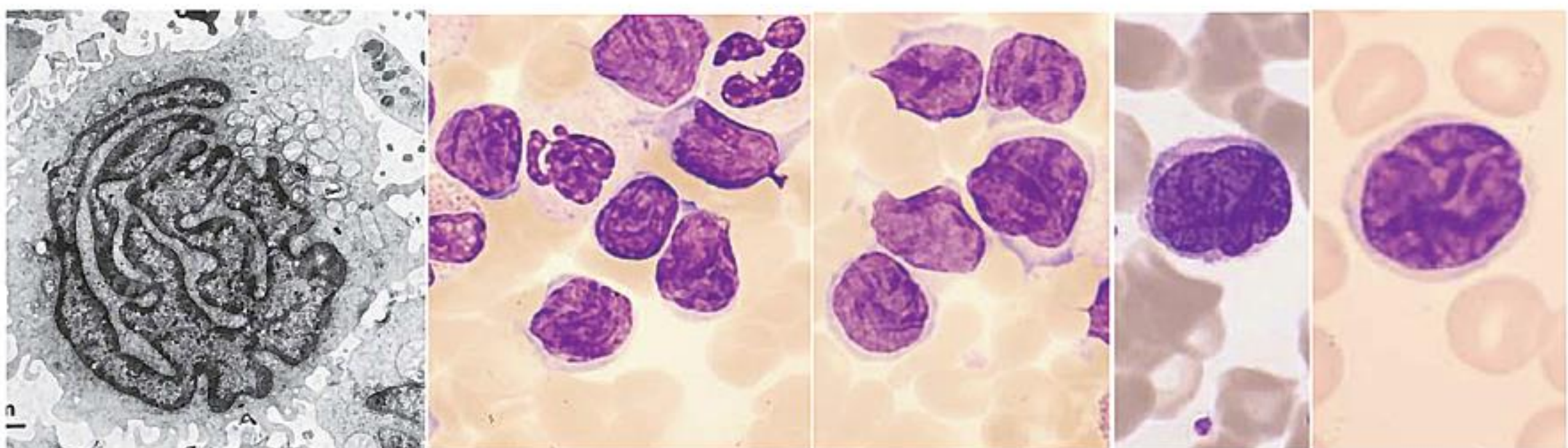
شکل ۹۴-۲۱: از راست به چپ: تصاویر ۱۹ و ۲۰) لنفوسيت های قلوه سنگ مانند در لنفوم متل سل (MCL) و تصاویر ۲۳-۶) لنفوسيت های شکاف دار با عمق زیاد در لنفوم فوليکولار (FL)



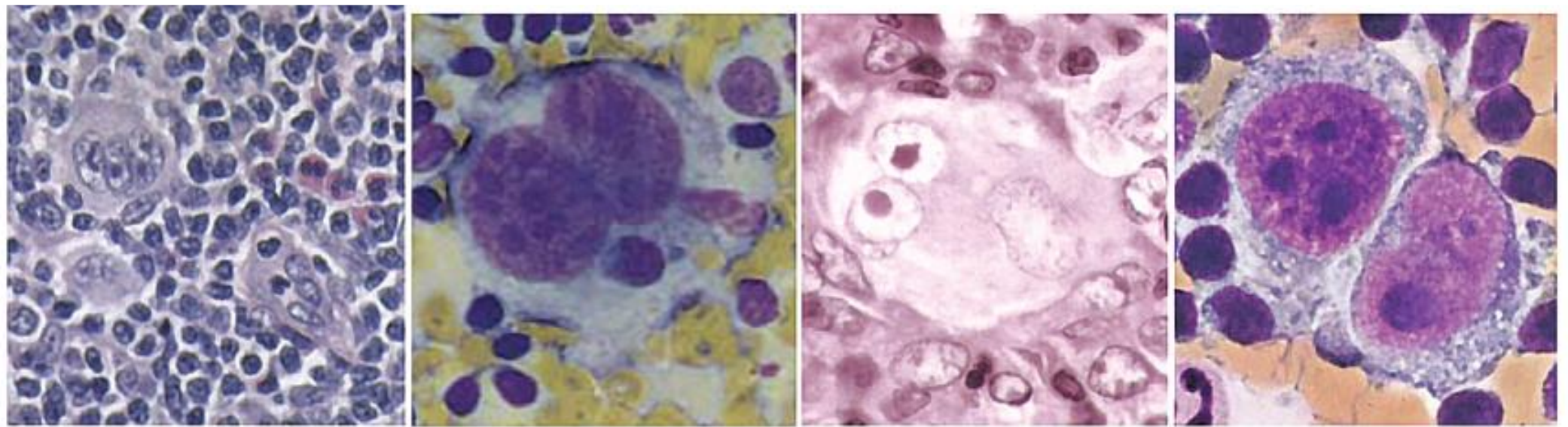
شکل ۹۵: لنفوسيت های مودار با زواید سیتوپلاسمی که دور تادر سلول را احاطه می کنند ولی در SLVL زواید فقط در یک یا دو سمت سلول دیده می شوند (شکل سمت چپ)



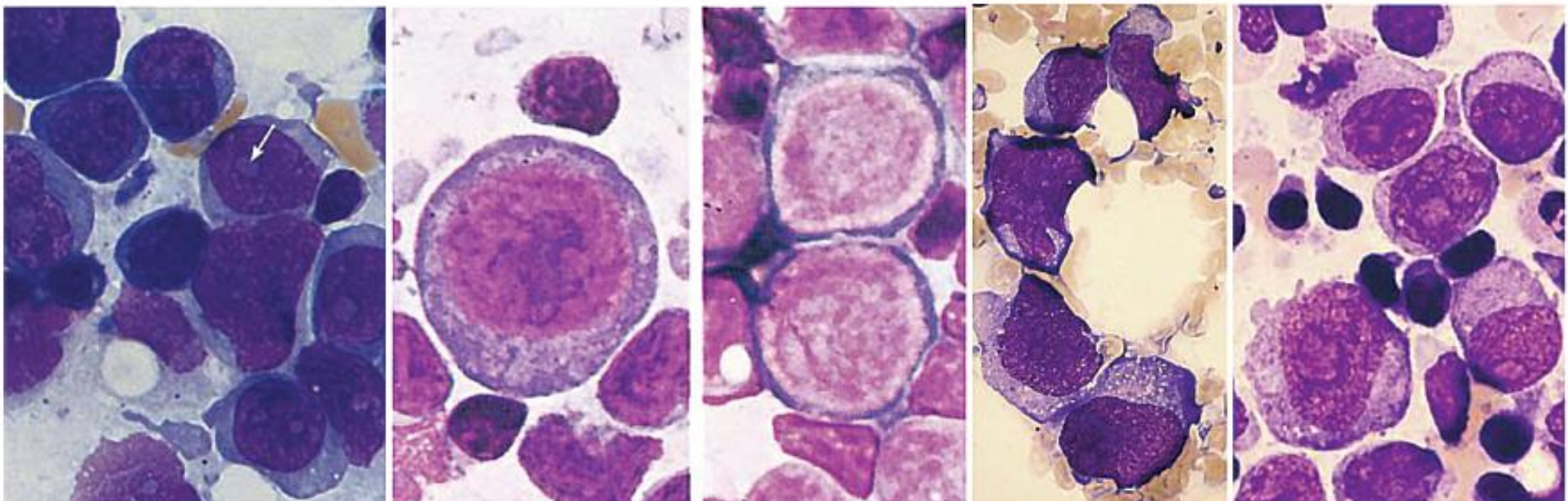
شکل ۲۱-۹۶: لنفوسيت‌های با هسته برگ شبدی و گل مانند در لوسمی ATLL [۱۸ و ۲۵]



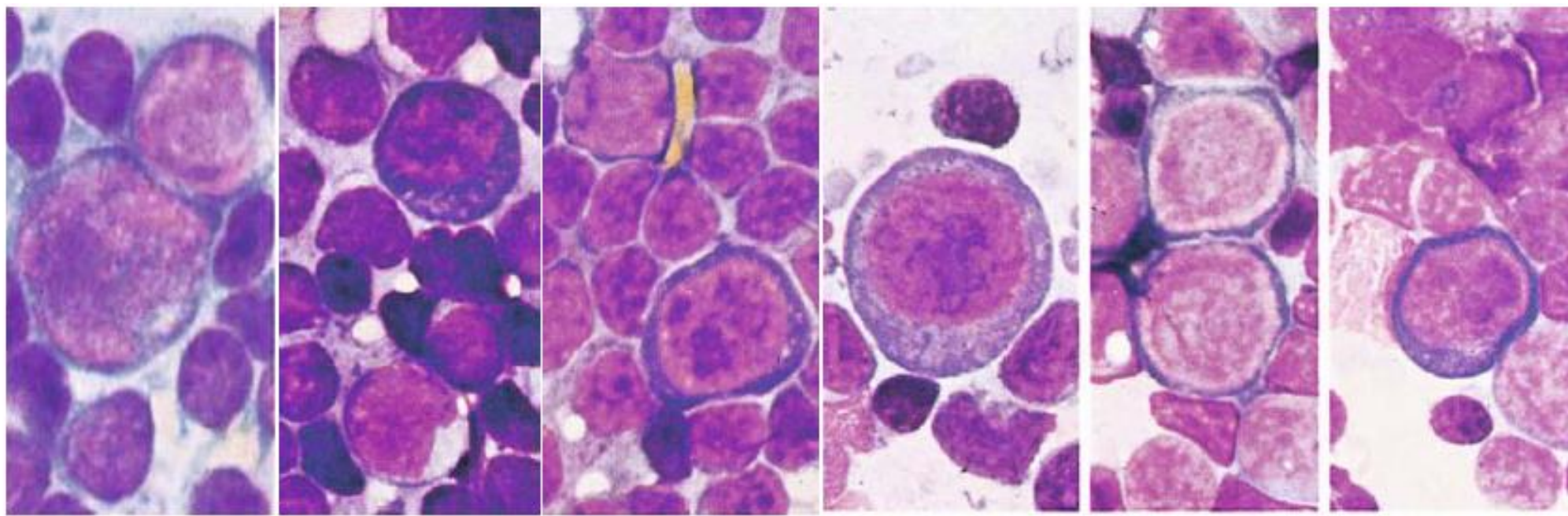
شکل ۲۱-۹۷: لنفوسيت‌های مغزماند یا سربری فرم (سلول‌های لوتنر) در سندروم سزاری و مايكوئيد فونگوئيد [۱۸]



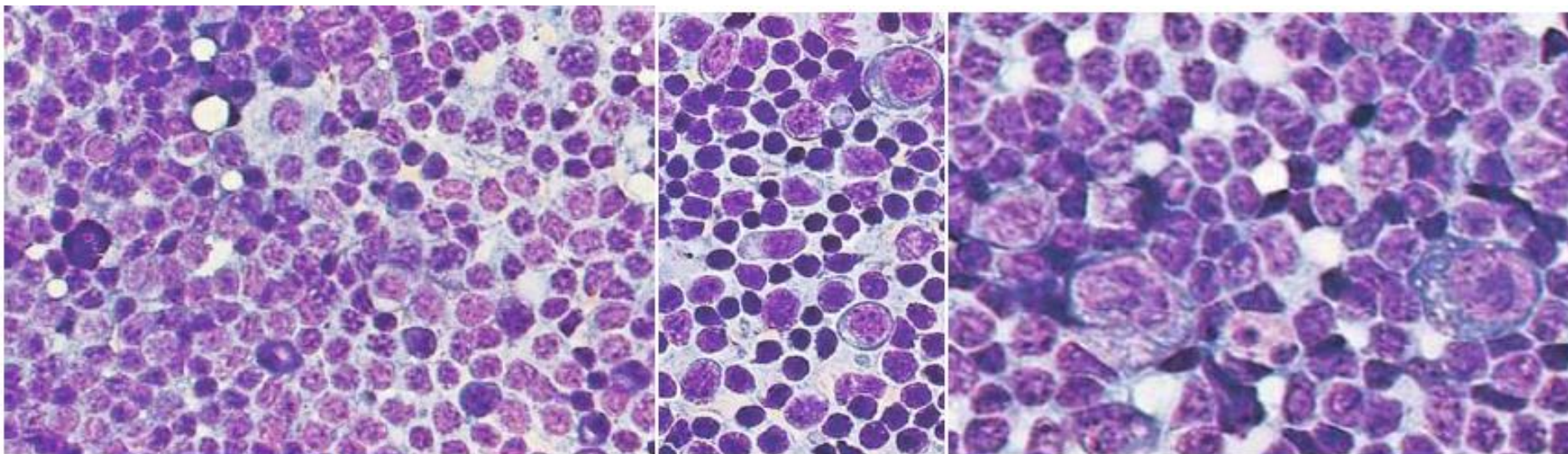
شکل ۱-۹۹: از راست به چپ) لنفوسيت ريداشترنبرگ تک هسته‌اي، دو هسته‌اي (شبيه چشم جفد) و چند هسته‌اي (در بافت لنفاوي)



شکل ۱-۱۰۰: ايمونوبلاست‌ها يا سنتروبلاست‌ها در سندروم ريشتر [۲۵]

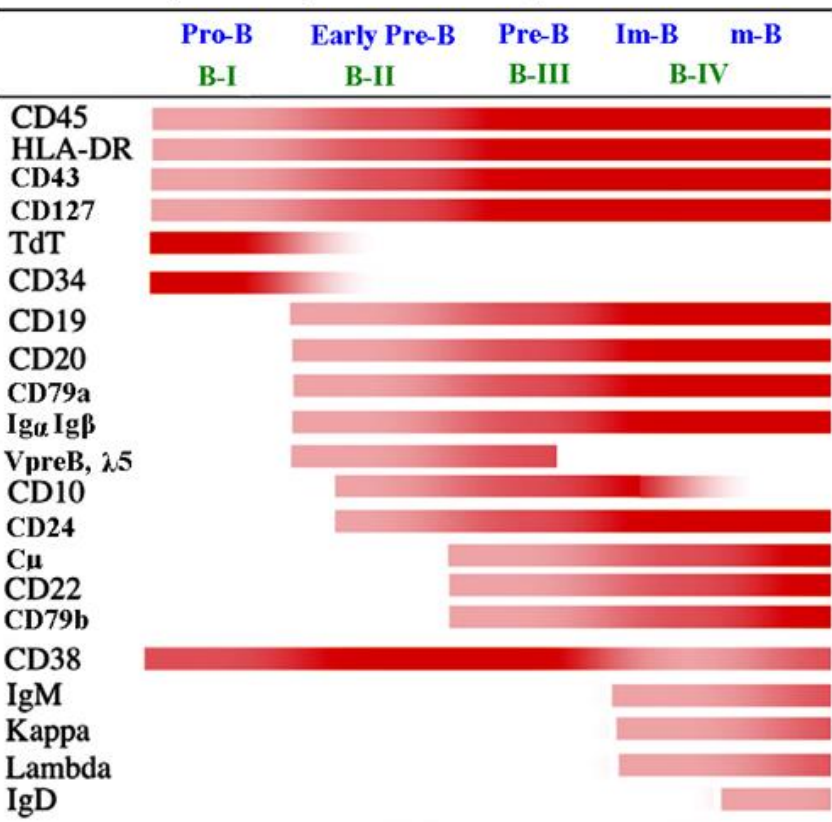


شکل ۳۰-۲۷: از راست به چپ: ۱) پلاسمابلاست، ۲) دو سنتروبلاست، ۳) ایمونوبلاست، ۴) ایمونوبلاست در پایین و لنفوبلاست در بالا، ۵) پلاسمابلاست در بالا و لنفوبلاست در پایین و ۶) سنتروبلاست در بالا و سنتروبلاست در پایین [۲۵].



شکل ۳۰-۳۰: بیوپسی از یک گره لنفاوی (از راست به چپ: ۱) دو ایمونوبلاست و یک انوزینوفیل در بالا-وسط، ۲) چهار ایمونوبلاست، ۳) یک پلاسمابلاست در پایین و یک ماستسل بافتی در سمت چپ تصویر [۲۵].

شکل ۶۷-۶۳: آنتیژن‌های مشخصه هر کدام از مراحل بلوغ B سل

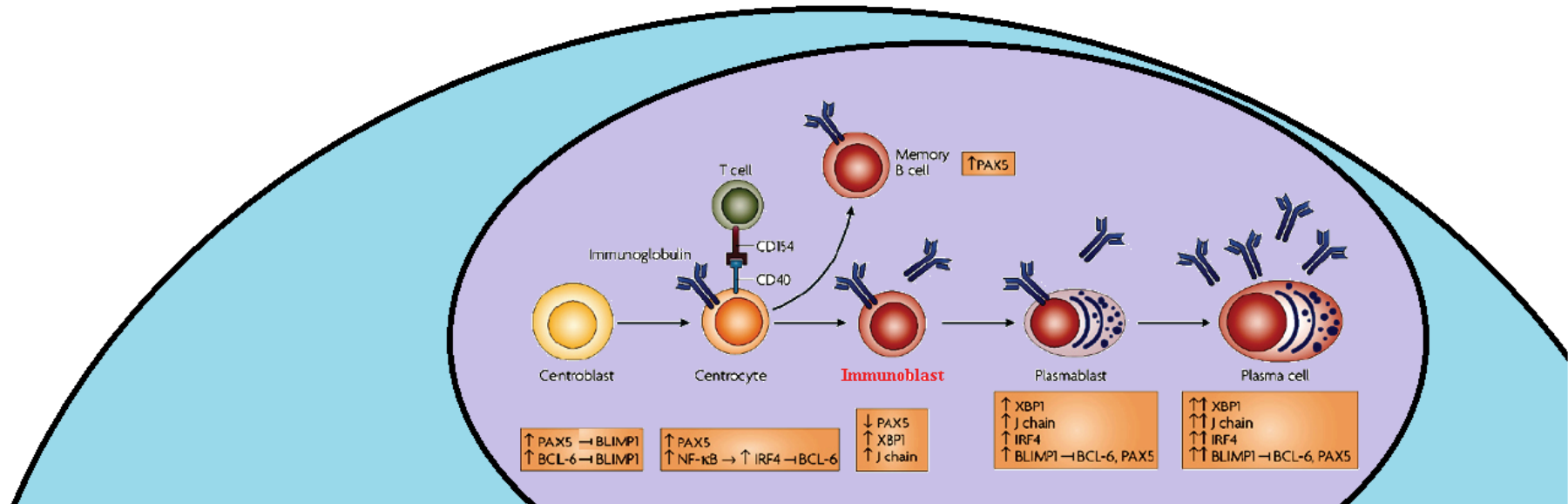
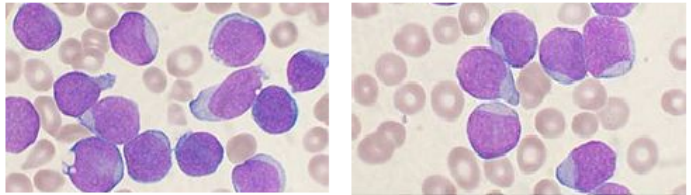
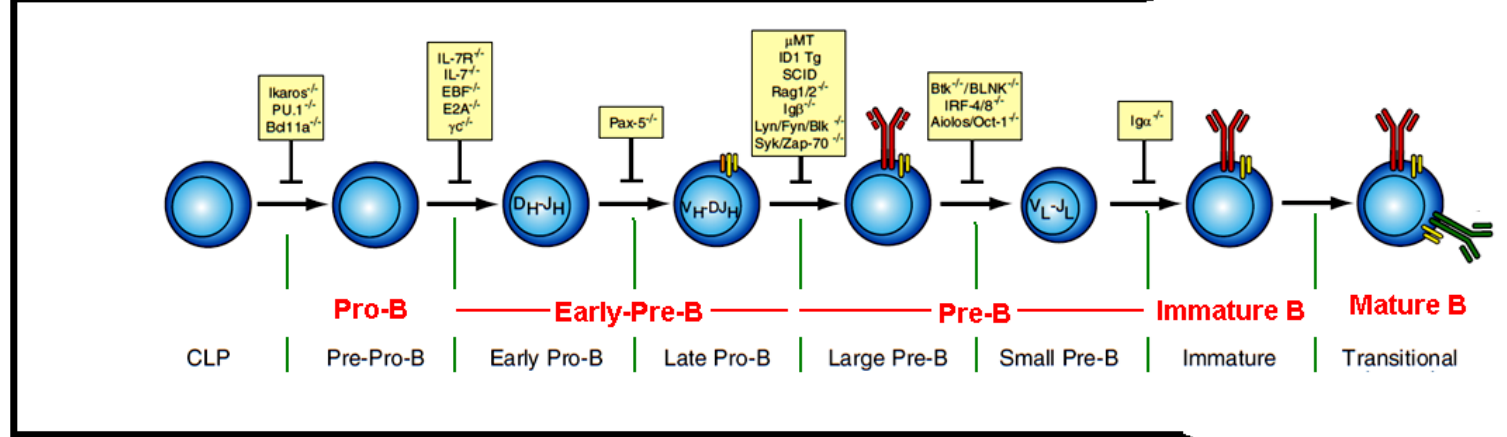


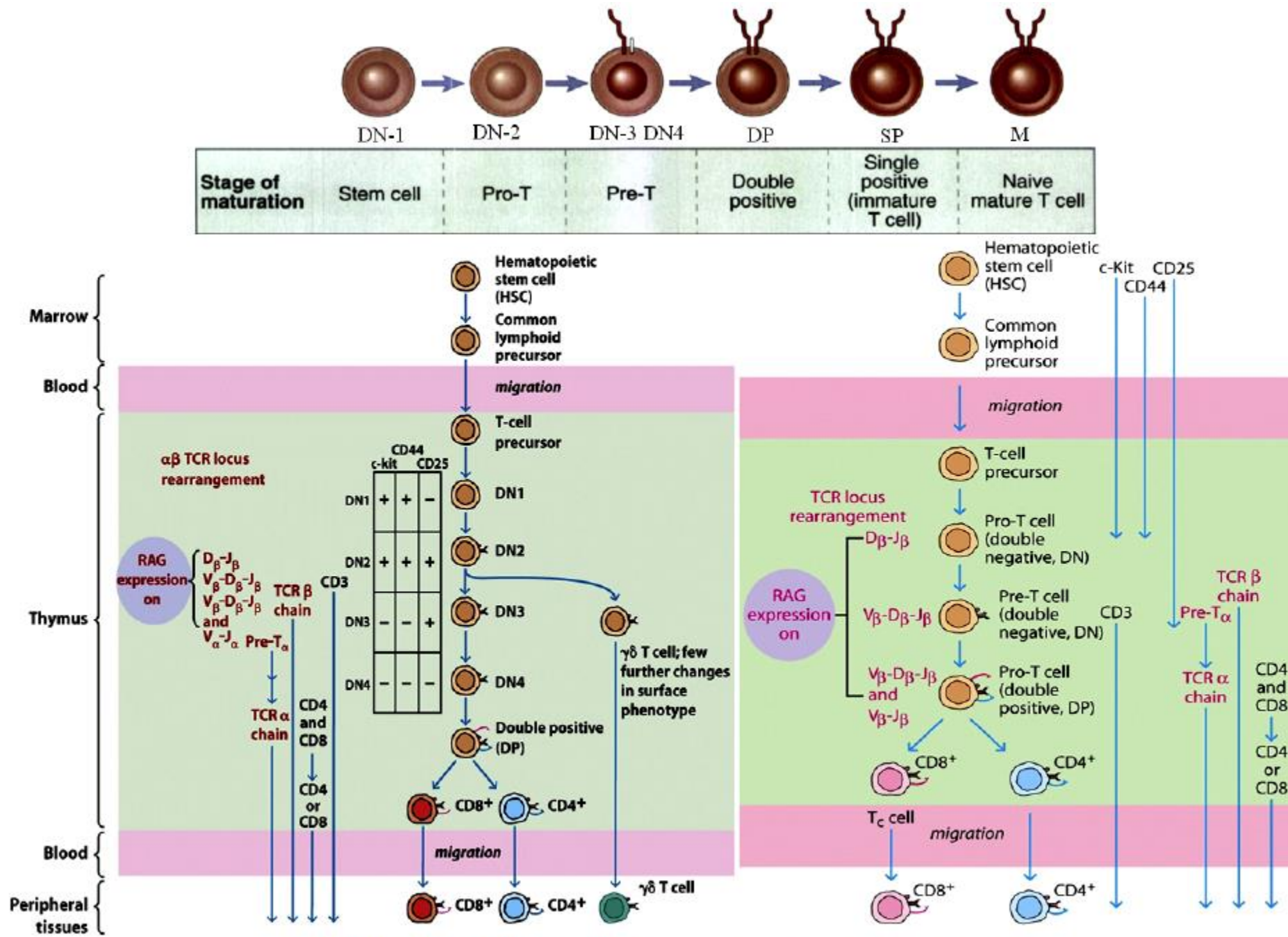
هرچند به دسته-II B علاوه بر Common-B گروه Early-Pre-B نیز گفته می‌شود ولی در برخی منابع، Common-B را اندکی متباذیر تر در نظر می‌گیرند.

جدول ۱۱-۶۷: طبقه‌بندی EGIL برای ALL‌های رده B

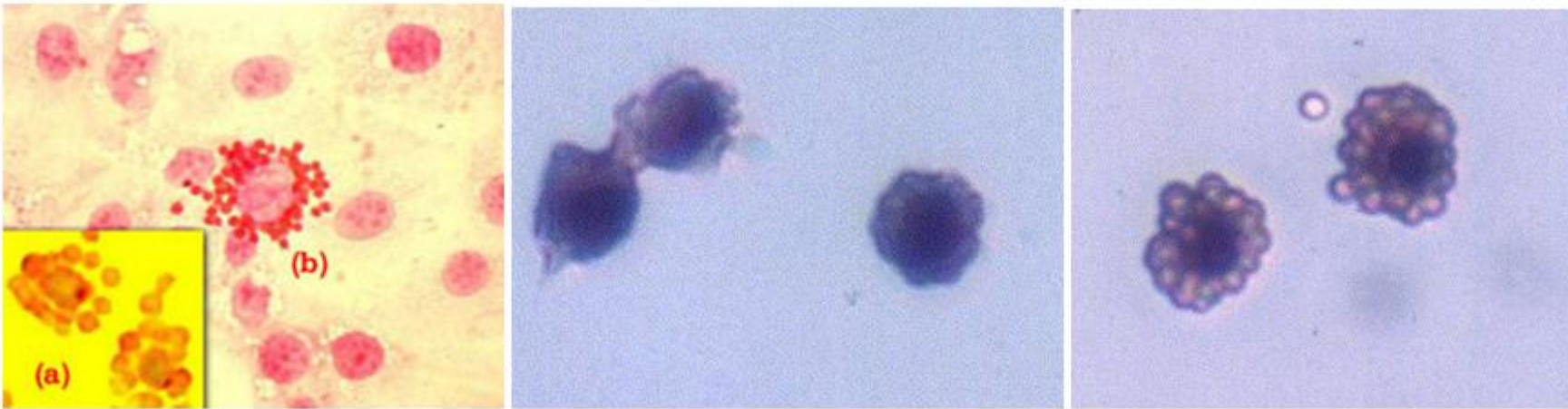
(All categories are positive for CD19 and/or CD79a and/or CD22; most cases, except mature B, are TdT positive)

B-I (pro-B)	CD10-, cμ-, SmIg-
B-II (common)	CD10+, SmIg-, cμ-
B-III (pre-B)	cμ+
B-IV (mature B)	c or Sm κ or λ





شکل ۲۱-۶۸: مراحل تمایزی تیموسیت‌ها در تیموس و تفاوت CD4، DN1، DN2، DN3 و DN4 مارکری



شکل ۶۷-۶۵: تشکیل روزت با اریتروسیت‌های گوسفندی (S-RBC) در لنفوцит‌های T-I تا T-III (لنفوцит‌های اوپریه T-II فاقد این خاصیت هستند).

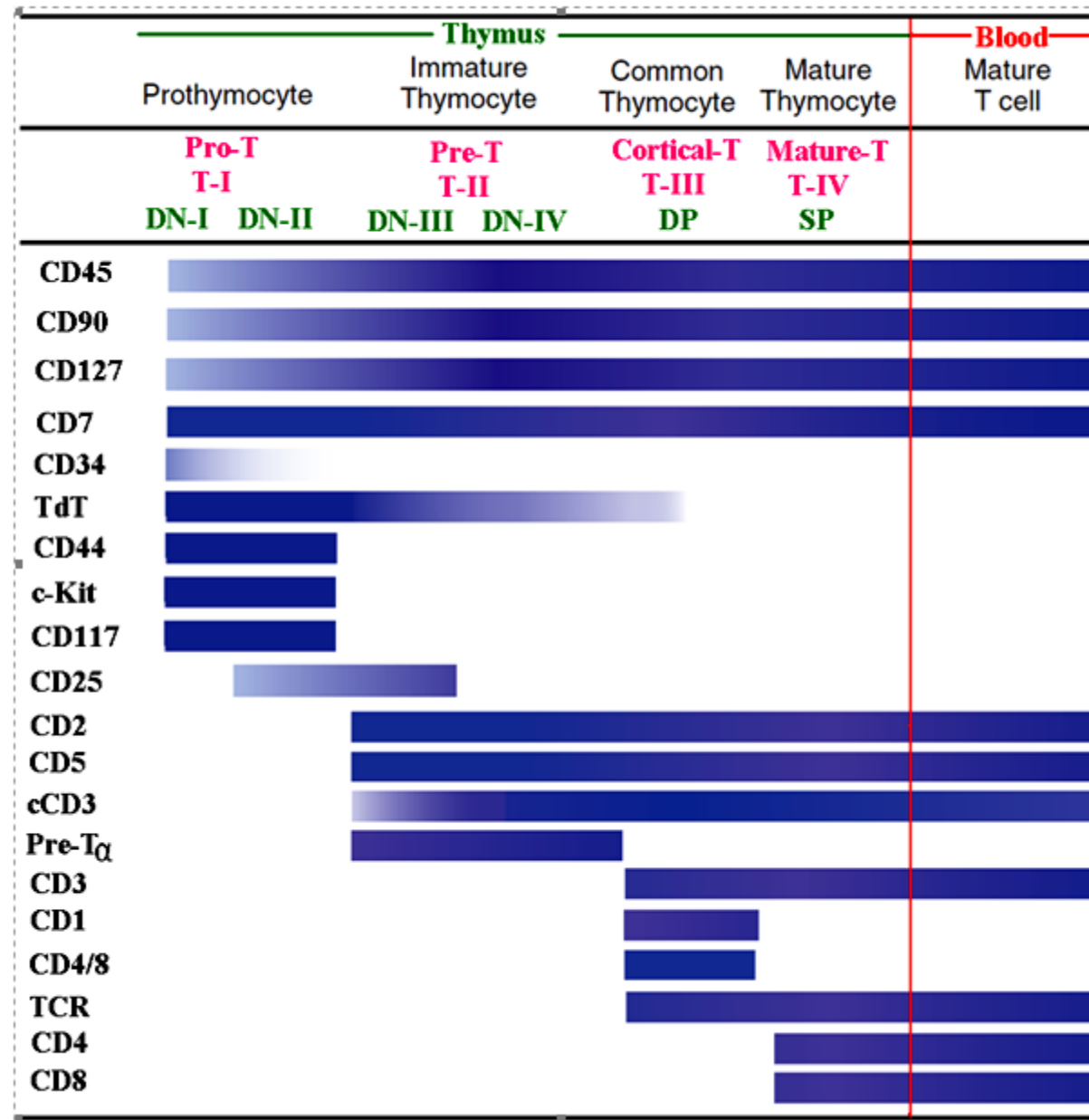
جدول ۱۳-۶۷: بیان مارکرهای T در لوسیمی‌های مختلف لنفوئیدی

---

(All cases are positive for c or Sm CD3; some cases are CD10 positive)	
T-I (pro-T)	CD7+, CD2-, CD5-, CD8-, CD1a-
T-II (pre-T)	CD2+ and/or CD5+ and/or CD8+, CD1a-
T-III (cortical T)	CD1a+, membrane CD3+ or -
T-IV (mature T)	Membrane CD3+, CD1a-
Group a	Anti-TCR $\alpha\beta+$
Group b	Anti-TCR $\gamma\delta+$

---

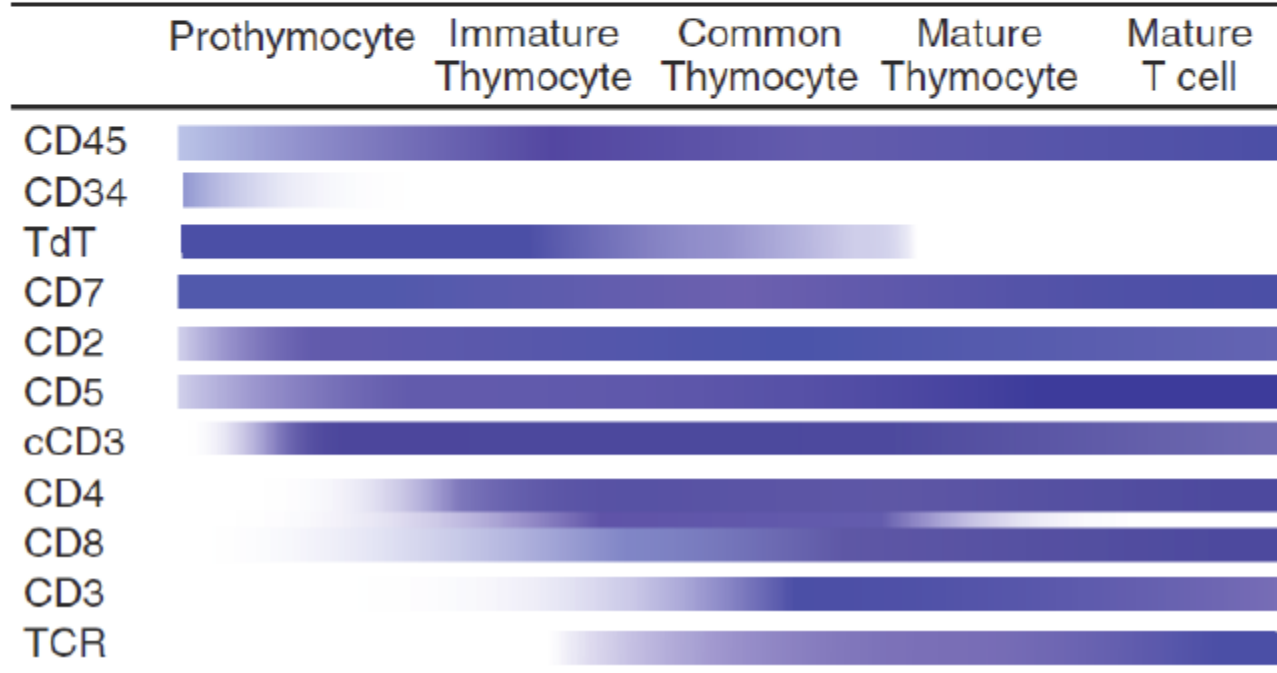
شکل ۶۶-۶۷: آنتی‌ژن‌های مشخصه هر کدام از مراحل بلوغ T سل

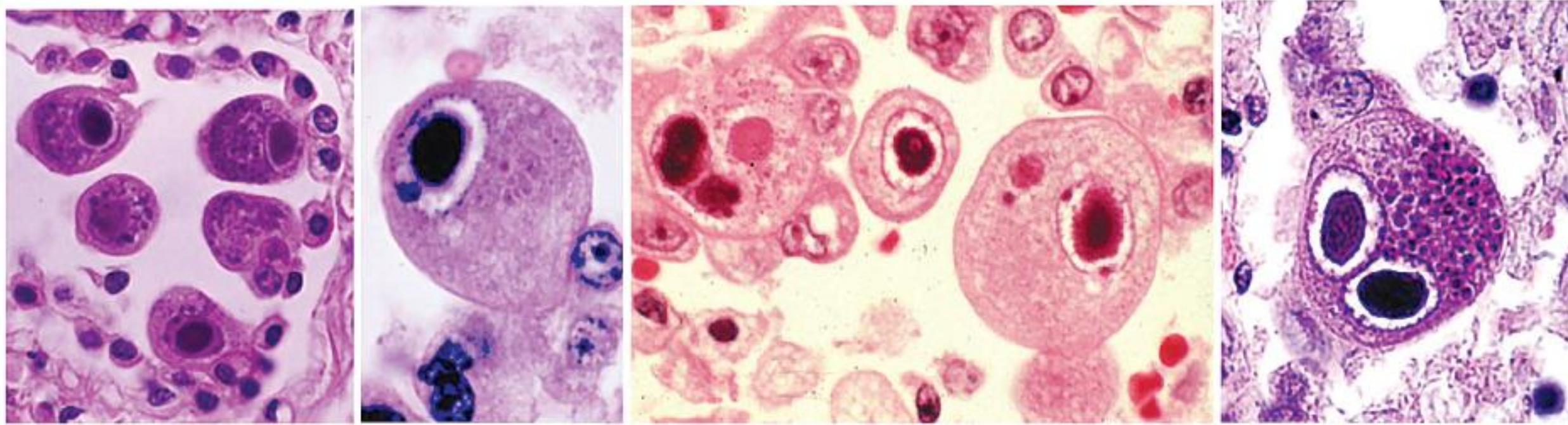


به دسته T-III علاوه بر گروه Double Positive یا Common-T Cortical-T مثبت می‌باشد.

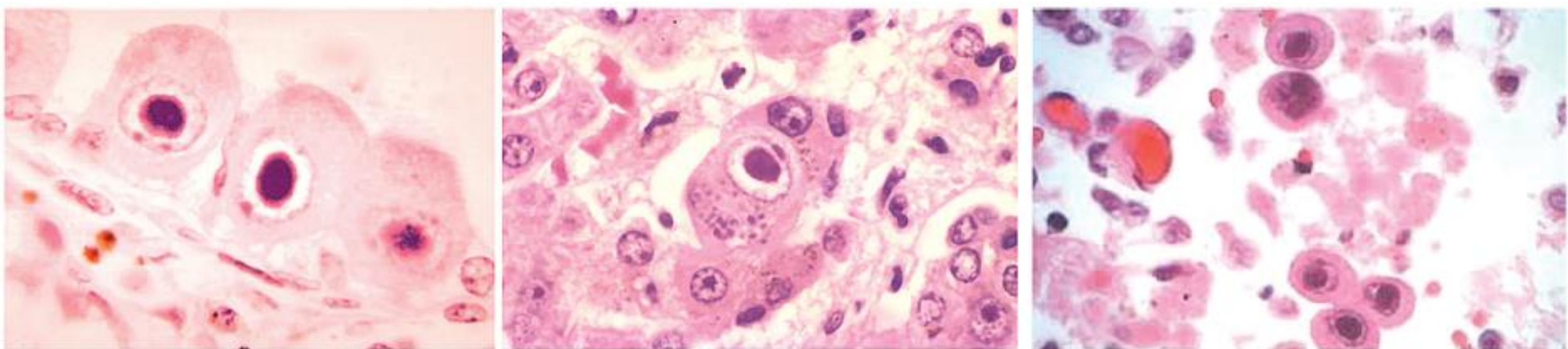
جدول ۳-۶: مارکرهای مختلف پیش‌سازهای رده T در داخل تیموس [۱۴]

Stage	CD90	TCR	CD4	CD8	CD44	CD117 c-Kit	CD25
ETP (DN1)	-/low	-	-/low	-	+	+	-
DN2	+	-	-	-	+	+	+
DN3	+	-	-	-	-	-	+
Pre-DP (DN4)	+	-	-	-	-	-	-
DP	+	+	+	+			
CD4 SP	+	+	+	-			
CD8 SP	+	+	-	+			

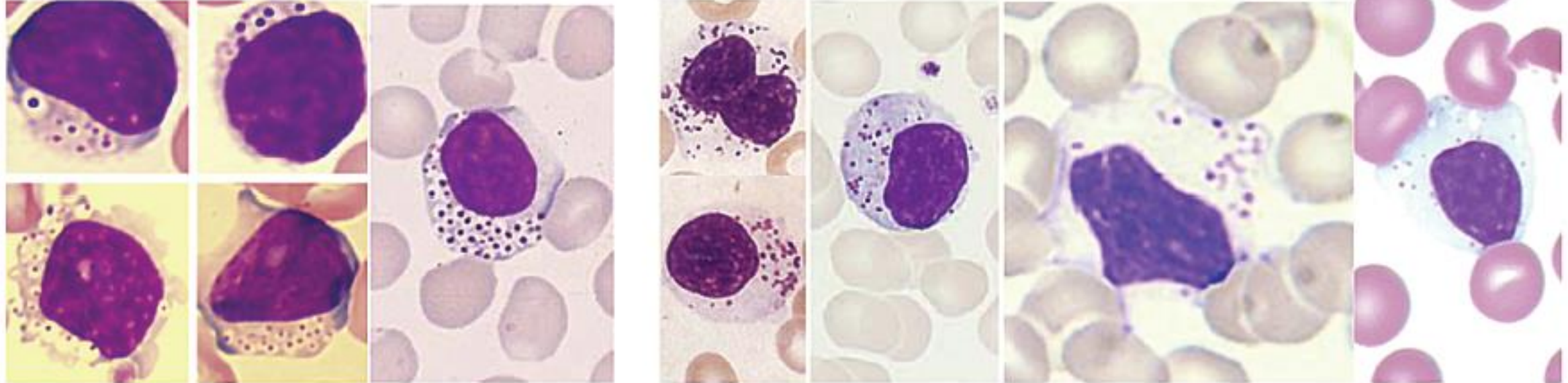




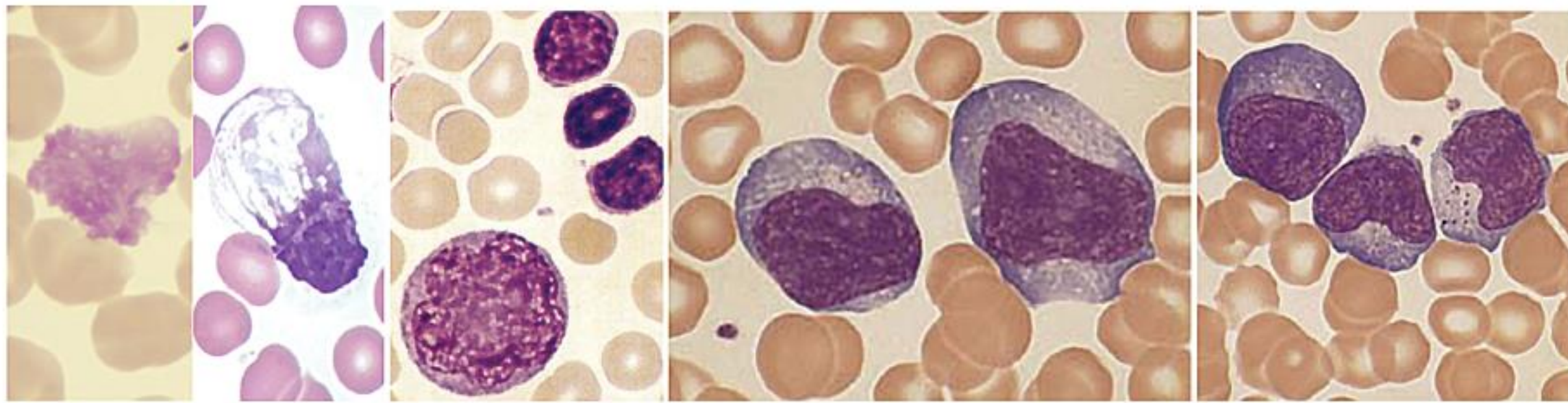
شکل ۱۱۶-۵۹: آلودگی سلول‌های مونونوکلئر به CMV که به ایجاد سلول‌های بزرگ شبیه با انکلوزیون داخل سلولی بزرگ شبیه جغد منجر می‌شود.



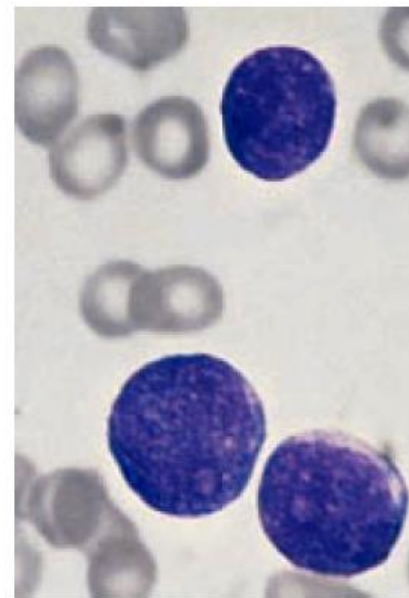
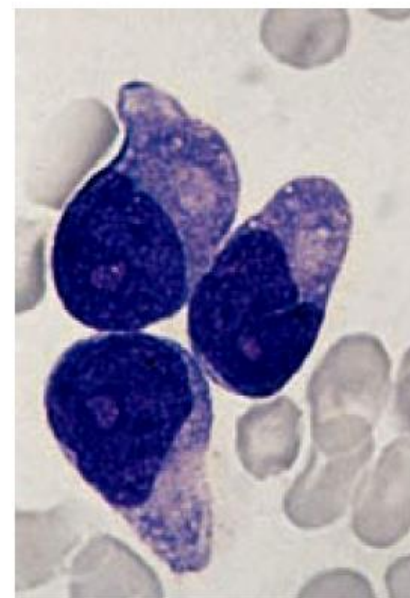
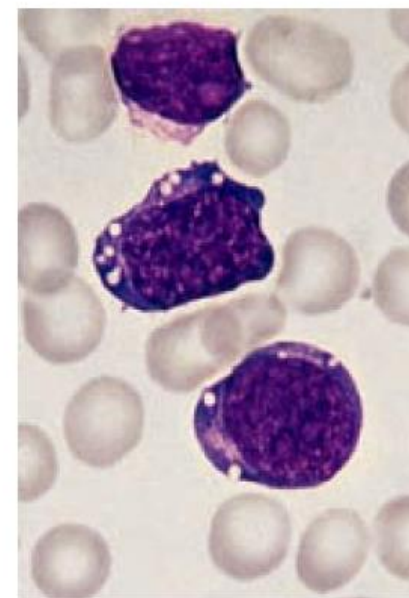
شکل ۱۱۹-۵۹: بررسی انکلوزیون شبیه جغد در رکشت فیبروبلاست‌های مجاور شده با نمونه بیمار

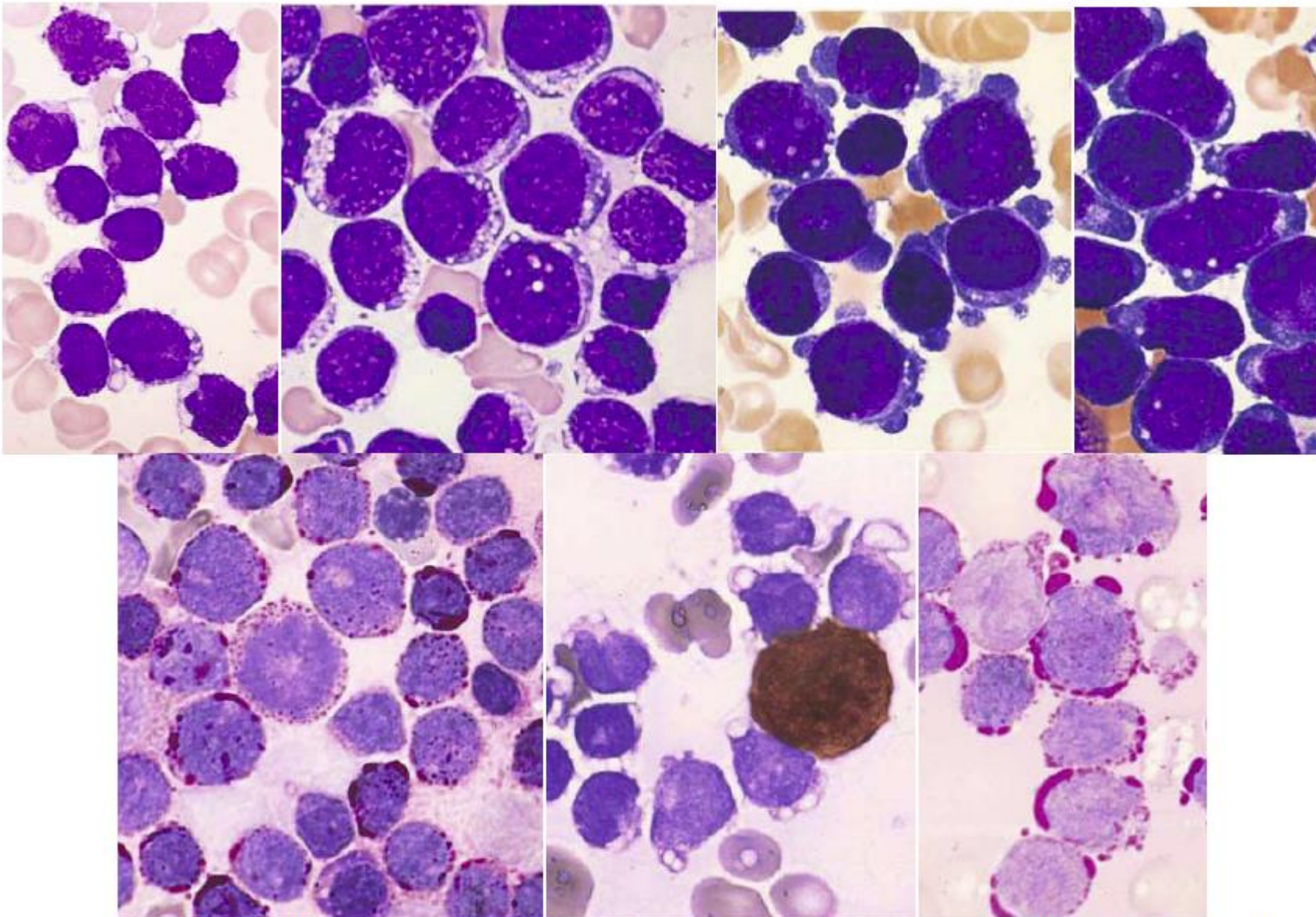


شکل ۲۱-۸۸: لنفوسيت های بزرگ و گرانول دار NK سل یا LGL که شباهت بالایی با لنفوسيت های گازدار (Gasser Cell) ناشی از سندروم آلدر-ریلی و سندروم گارگوئیلیسم دارند [۲۵].

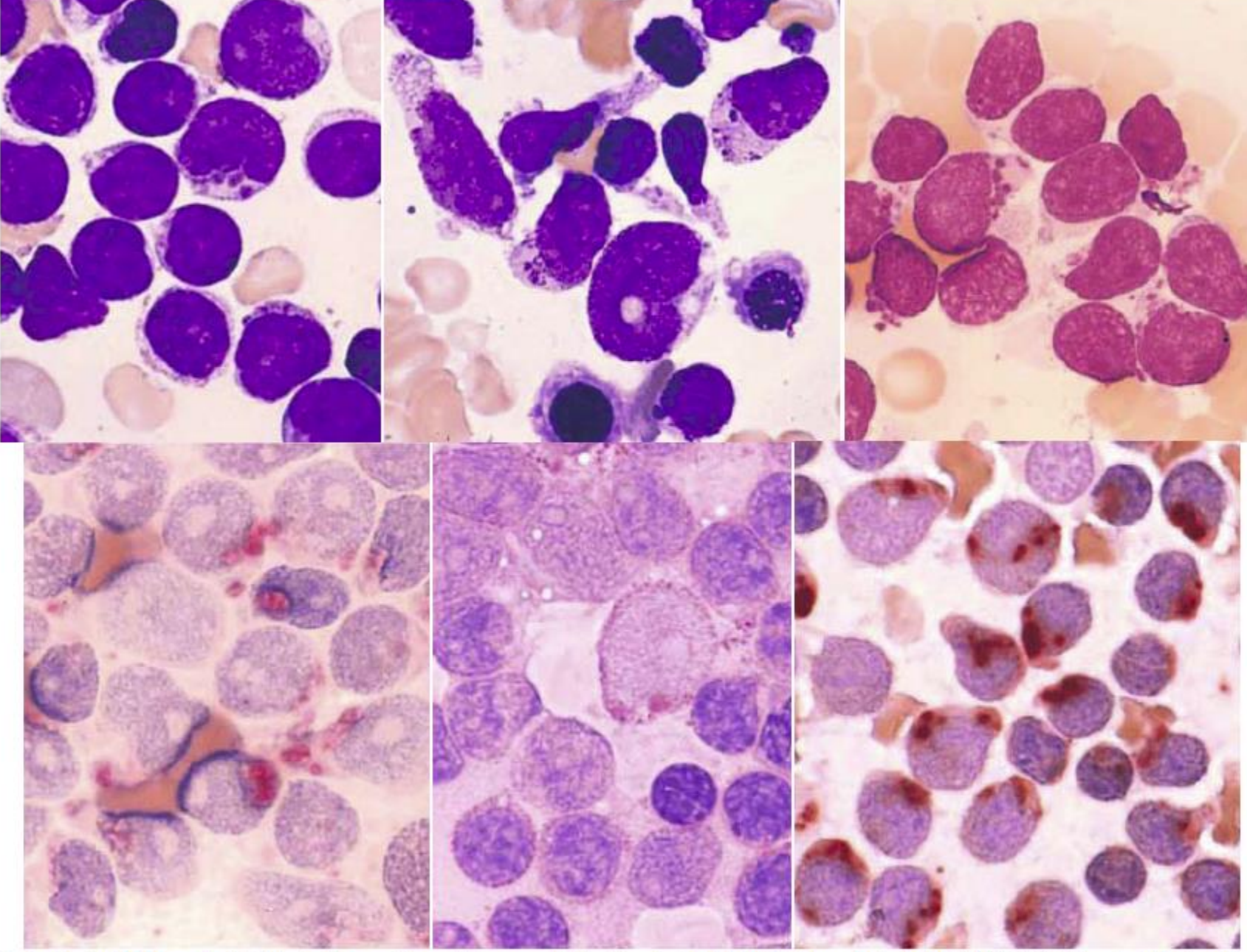


شکل ۲۱-۸۹: از راست به چپ) لنفوسيت های آتیپیک دائونی I (پلاسماسیتوئید)، دائونی II (مونوسیتوئید) و دائونی III (بلاستوسیتوئید). حضور این سلول ها دلیل بر استحاله و ترانسفورمیشن سلول های لنفوئیدی در پاسخ به تحریک آنتی ژنی می باشد. تصویر ۴ یک بسکت سل (لنفوسيت سبدمانند) و تصویر ۵ یک اسماج سل (لنفوسيت له شده) را نشان می دهند [۲۵].

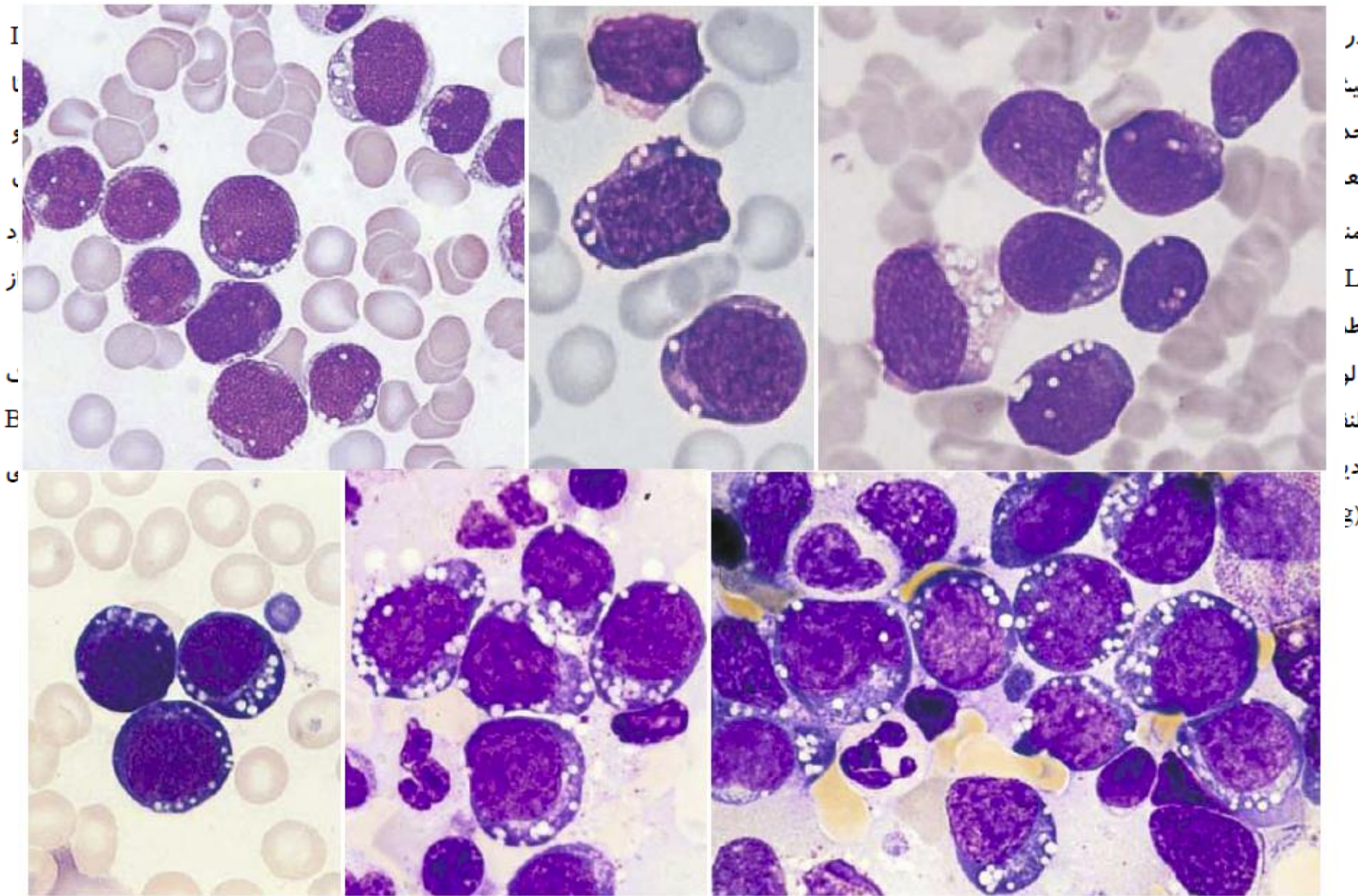
FAB category	L1 ALL	L2 ALL	L3 ALL
			
Cell size	Mainly small	Large, heterogeneous	Large, homogeneous
Nuclear chromatin	Fairly homogeneous, may be condensed in some cells	Heterogeneous	Finely stippled, homogeneous
Nuclear shape	Mainly regular	Irregular; clefting and indentation common	Regular; oval or round
Nucleolus	Not visible or small and inconspicuous	Usually visible, often large	Usually prominent
Amount of cytoplasm	Scanty	Variable, often abundant	Moderately abundant
Cytoplasmic basophilia	Slight to moderate	Variable	Strong
Cytoplasmic vacuolation	Variable	Variable	Often prominent



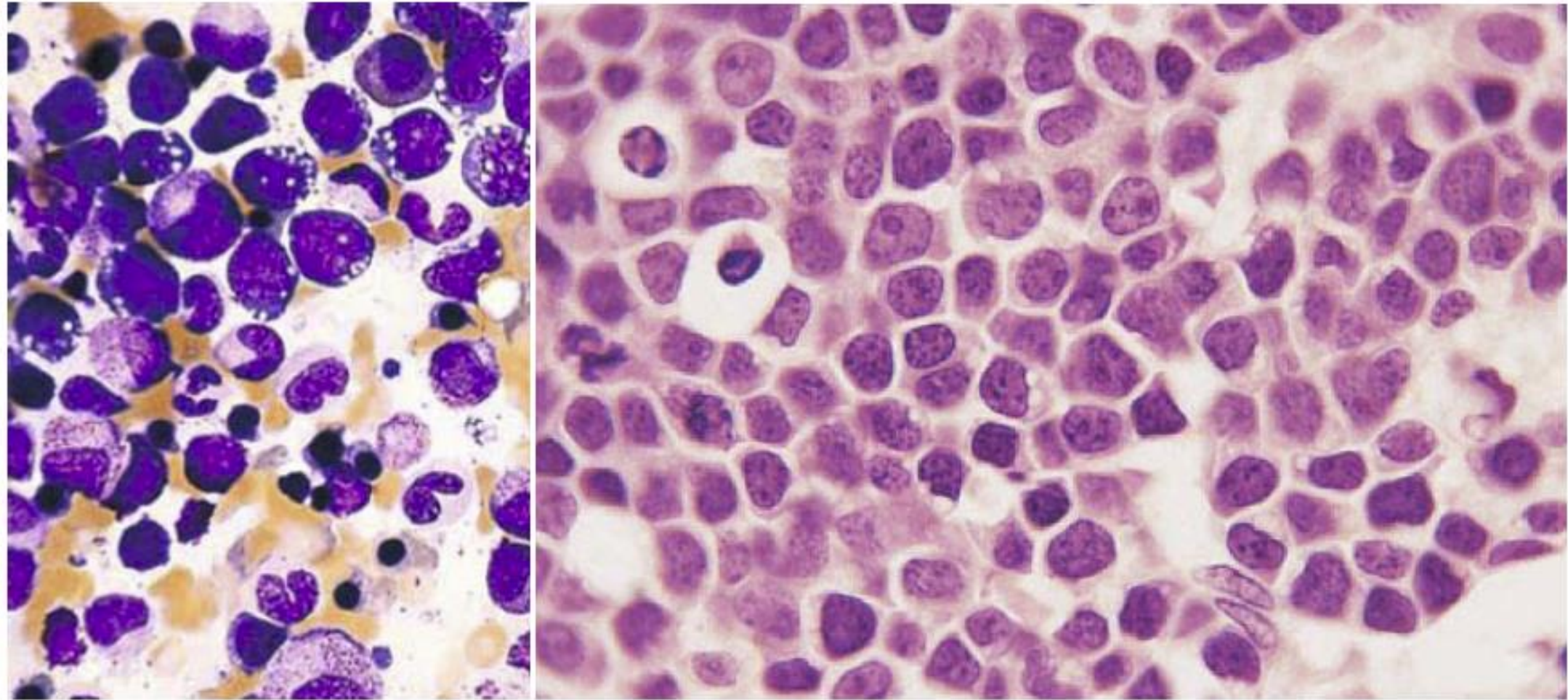
شکل ۱۱-۷: (بالا) لنفوبلاست‌های توماً با واکوئل‌های نامنظم که گاهی همانند لنفوبلاست‌های L3 شبیه آسمان پرستاره دیده می‌شود ولی واکنش PAS در آنها مثبت می‌باشد. پایین) واکنش مثبت در ALL-L1 که به صورت گرانول یا بلوك دیده می‌شوند ولی واکنش نسبت به MPO منفی می‌باشد. از این رو در تصویر وسط تعداد زیادی لنفوبلاست MPO- در مقایسه با یک نوتروفیل MPO+ دیده می‌شوند.



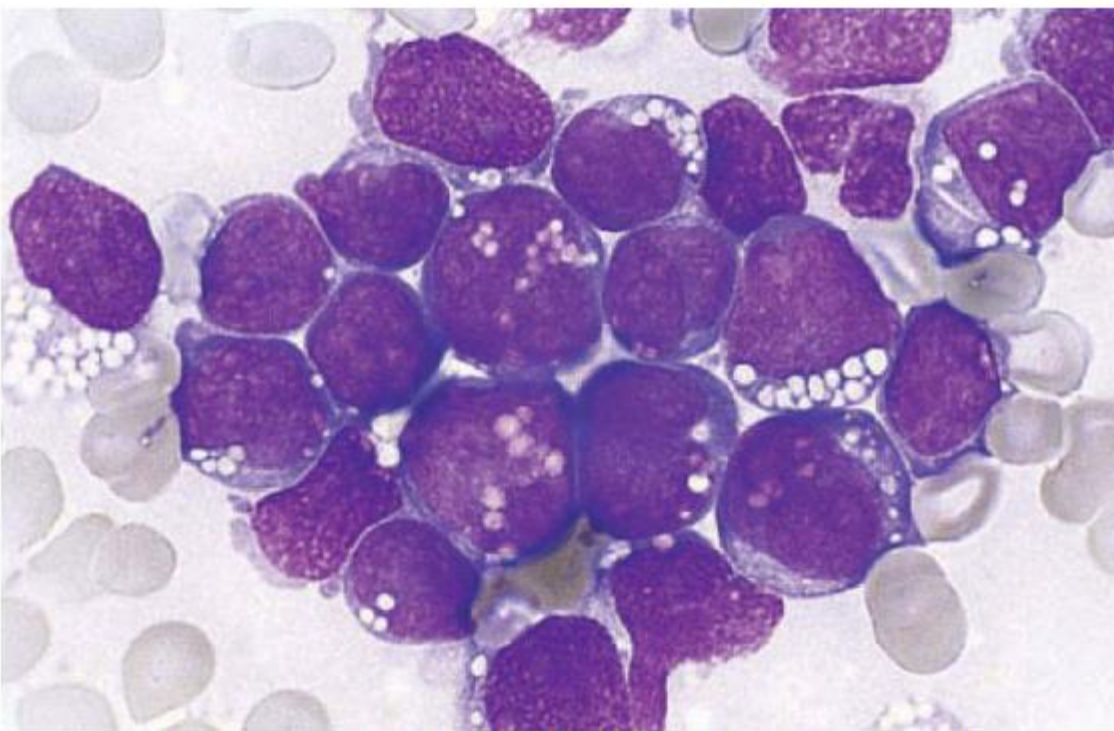
شکل ۱۱-۷۰: ردیف بالا) بیمار مبتلا به ALL-L2 که لنفوبلاست‌های بزرگ با گرانول‌های نسبتاً درشت را نشان می‌دهد. از این رو گاهی بعنوان میلوبلاست (بویژه رده بازوویلی) در نظر گرفته شده و به صورت AML طبقه‌بندی می‌شود ولی این گرانول‌ها MPO-/SBB- و از منشاء لیزوزومال بوده و با گرانول‌های آزور تفاوت اساسی دارند. ردیف پایین) به ترتیب، واکنش ANAE فوکال، واکنش صورتی (به رنگ شراب بورگاندی) و واکنش اسید‌فسفاتاز فوکال که احتمالاً این مورد از رده T بوده است.



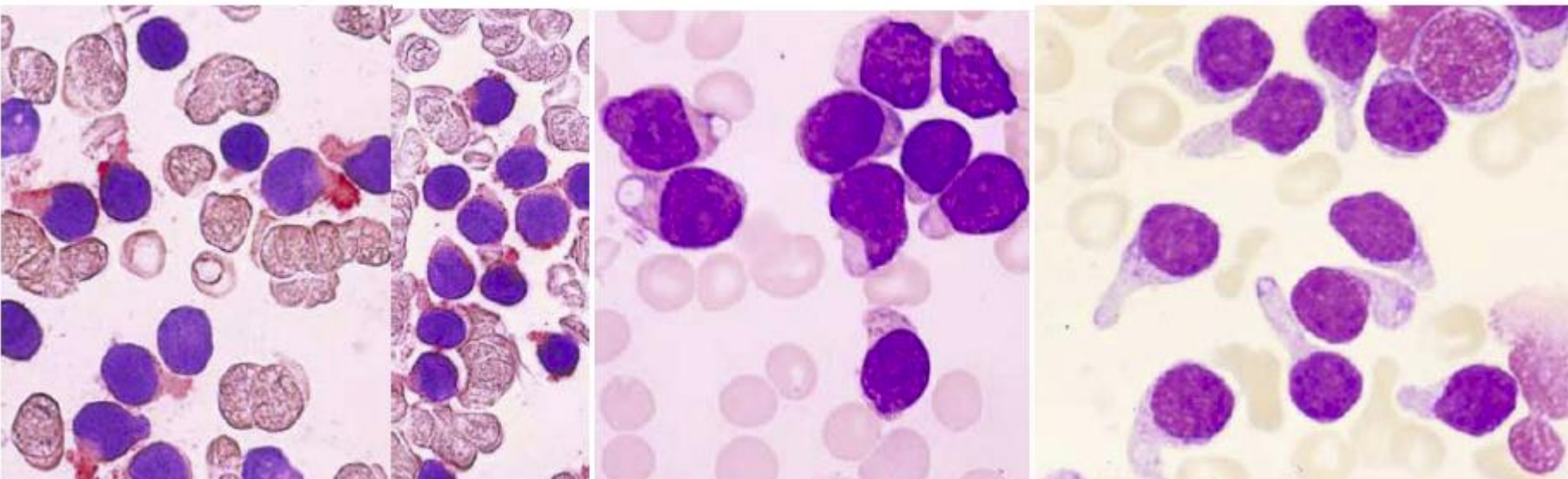
شکل ۱۱-۷۰: لام مغراستخوان بیمار مبتلا به L3-ALL که از نظر ایمونولوژیکی، فنویپ B سل بالغ برای آن مشخص شده است.



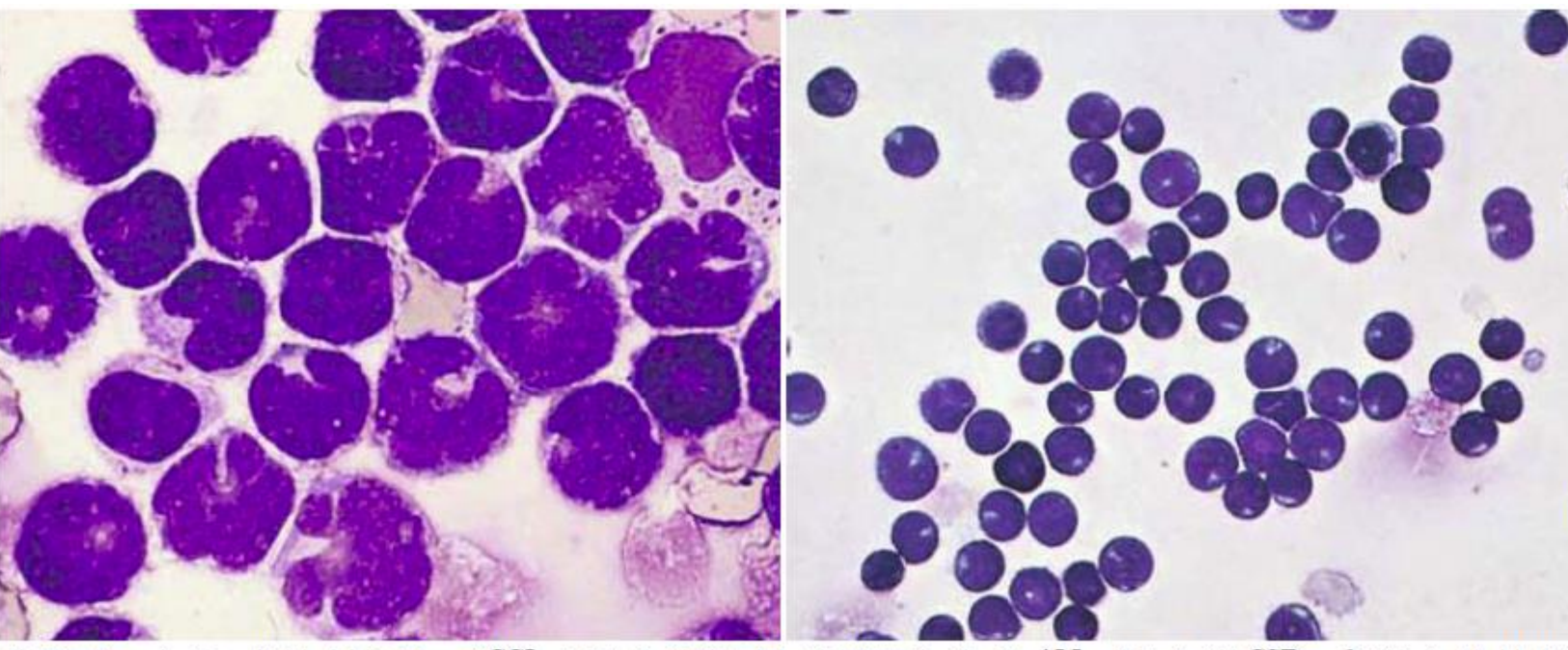
شکل ۱۶۴-۱ راست) بیوپسی ترفنین بیمار ALL با فنوتیپ B-SL، واکوئولاسیون برخی از بلاست‌ها نیز مشهود است، دو بلاست تحت آپوپتوز نیز مشاهده می‌شوند. چپ) آسپیراسیون BM



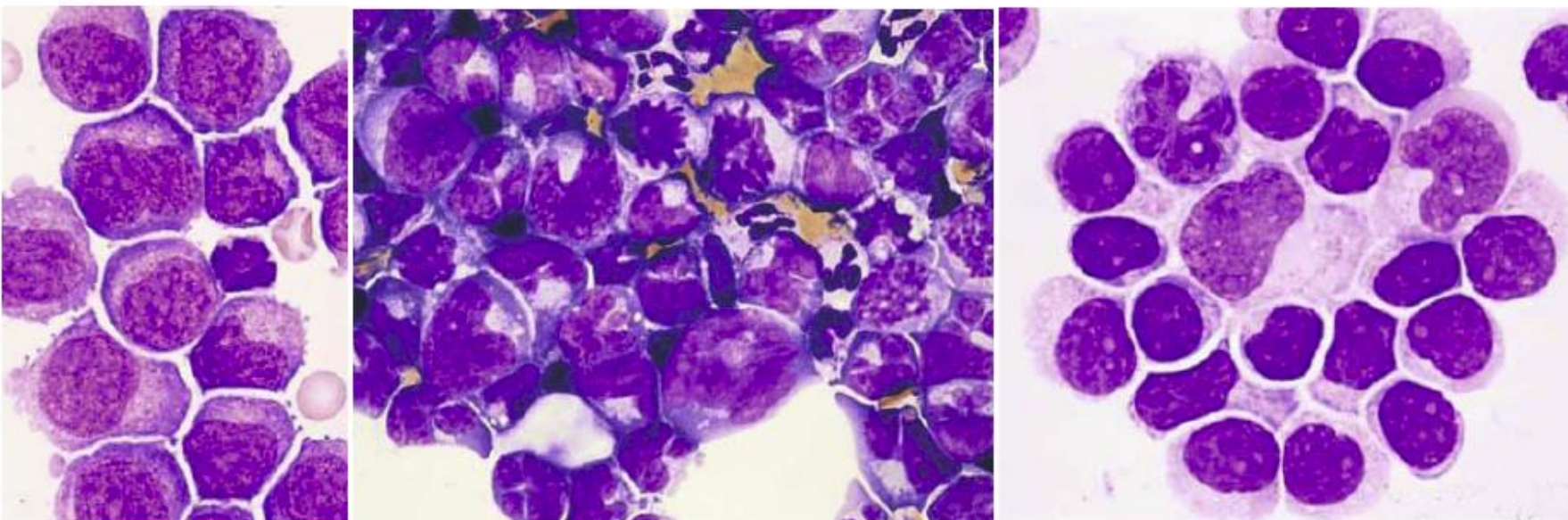
لام مغزاستخوان در بیمار ALL دارای t(1;19)(q23:p13) و با تابلوی سیتولوژیکی L3



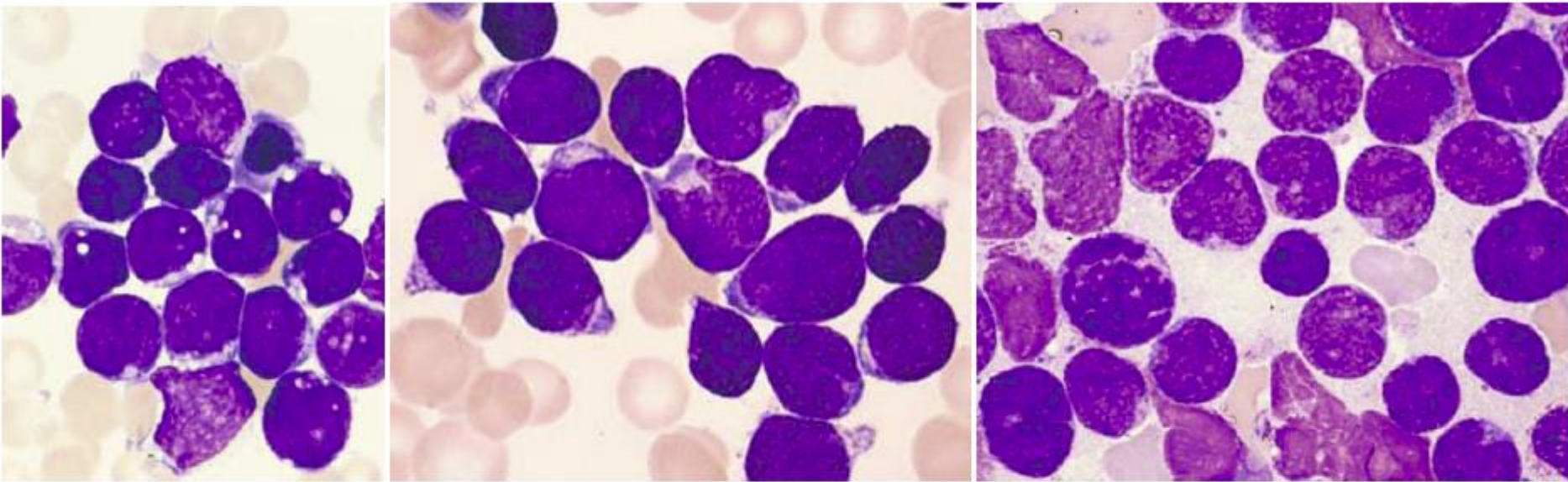
لنسوبلاست‌های آینه دستی در ALL-L1 و واکنش مشبت آنها به CD19 و CD10



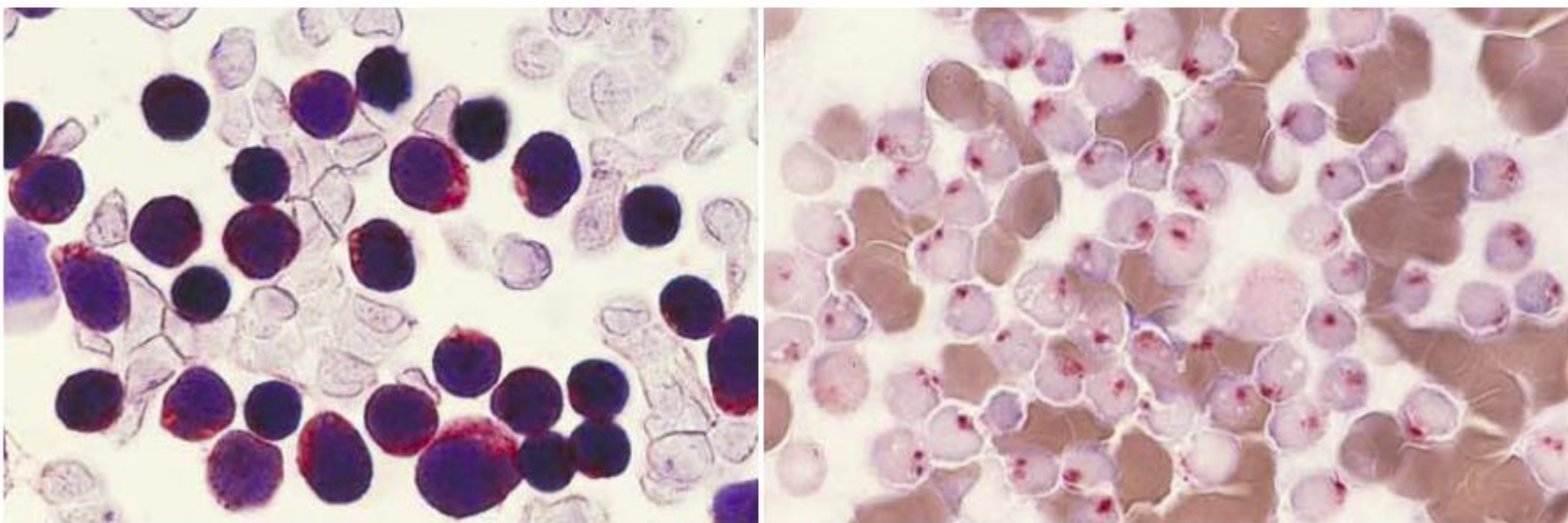
شکل ۱۱-۶۹: راست) درگیری CSF با لنفوblast‌های ALL و ۲) با لنفوblast‌های ناشی از استحاله لنفوblastیک در CGL (این سلول‌ها را با سلول‌های ردیف پایین مقایسه کنید)



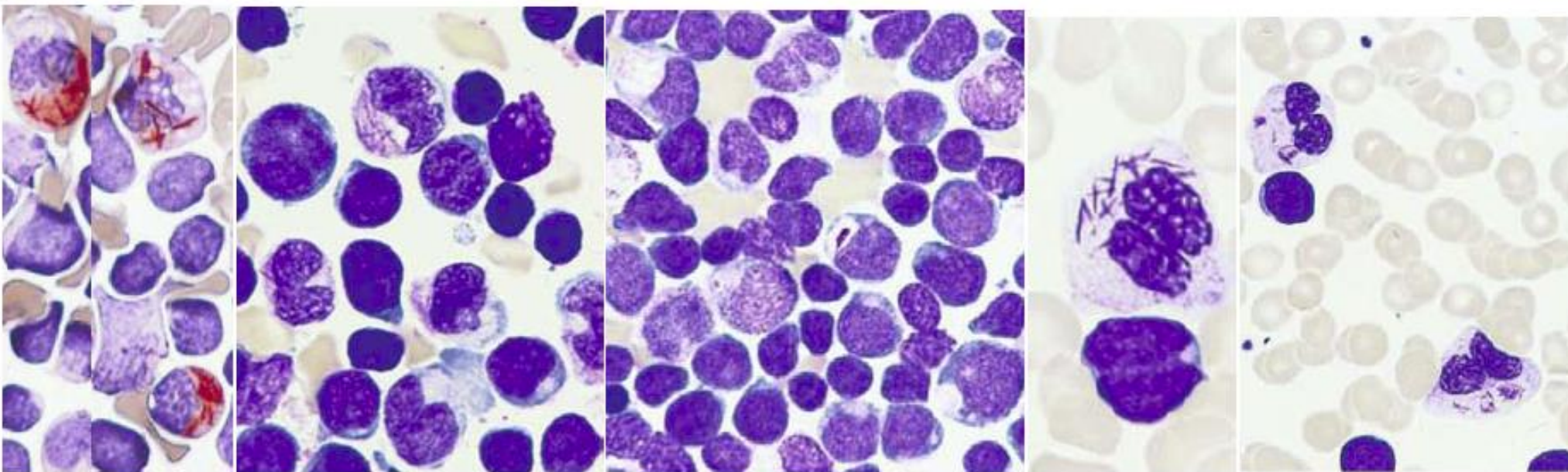
شکل ۱۱-۶۹: درگیری CSF با ۱) لنفوblast‌های واکنشی در ممنزیت ویرال و ۲) با لنفوblast‌های ناشی از تهاجم لنفوم فولیکولار (سلول‌های میتوکیک نیز زیاد هستند). ۳) مونوblast‌های M5



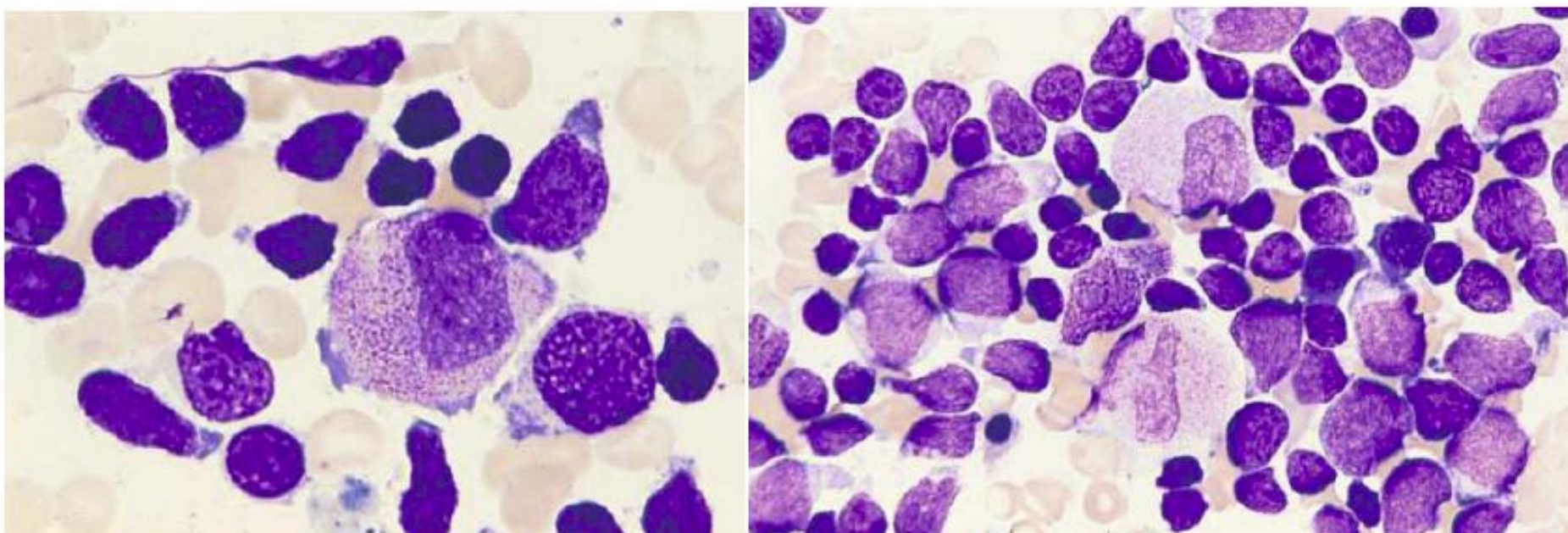
شکل ۱۱-۷: لنفوبلاست‌های رده T با هسته پیچ خورده و دندانه‌دار در T-ALL که گاهی ممکن است واکوئل دار هم باشند.



شکل ۱۱-۸: واکنش مثبت لنفوبلاست‌های رده T به اسیدفسفاتاز و CD3

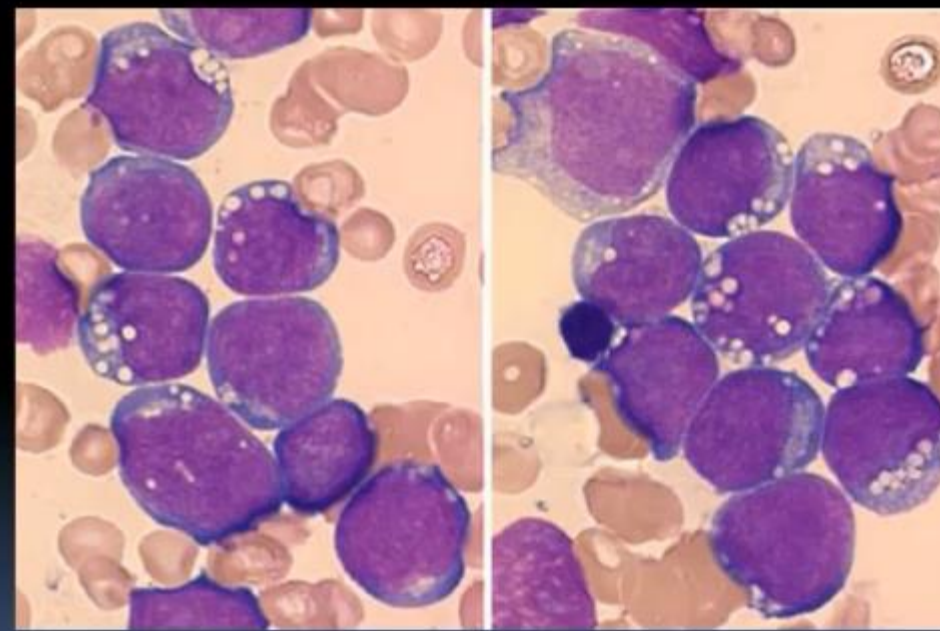
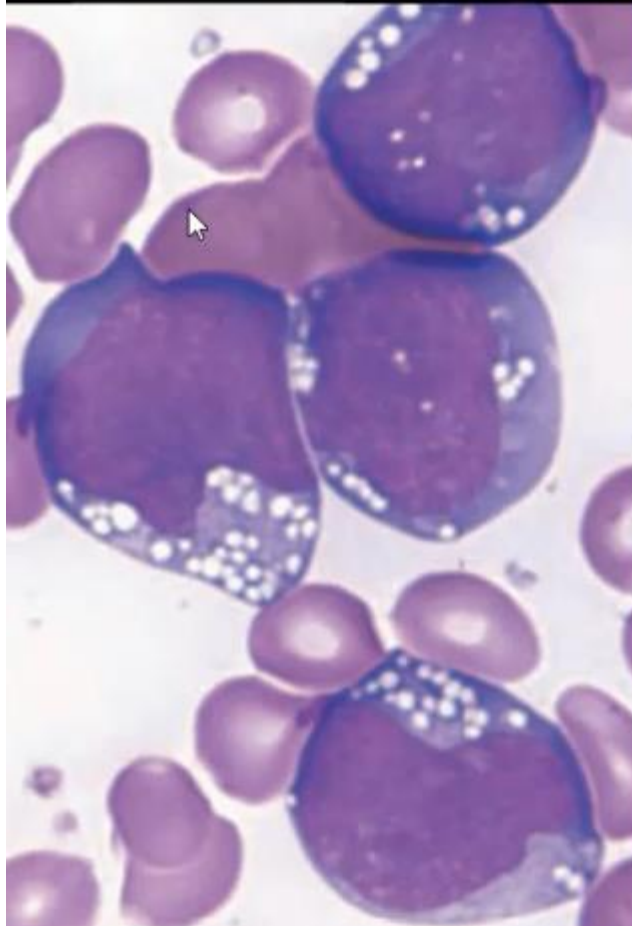


شکل ۱۱-۷۰: لوسی دو رده‌ای که ۱) آنورادها و ۲) واکنش مثبت نسبت به CAE وجود همزمان میلوblast‌ها را تأیید می‌کند.

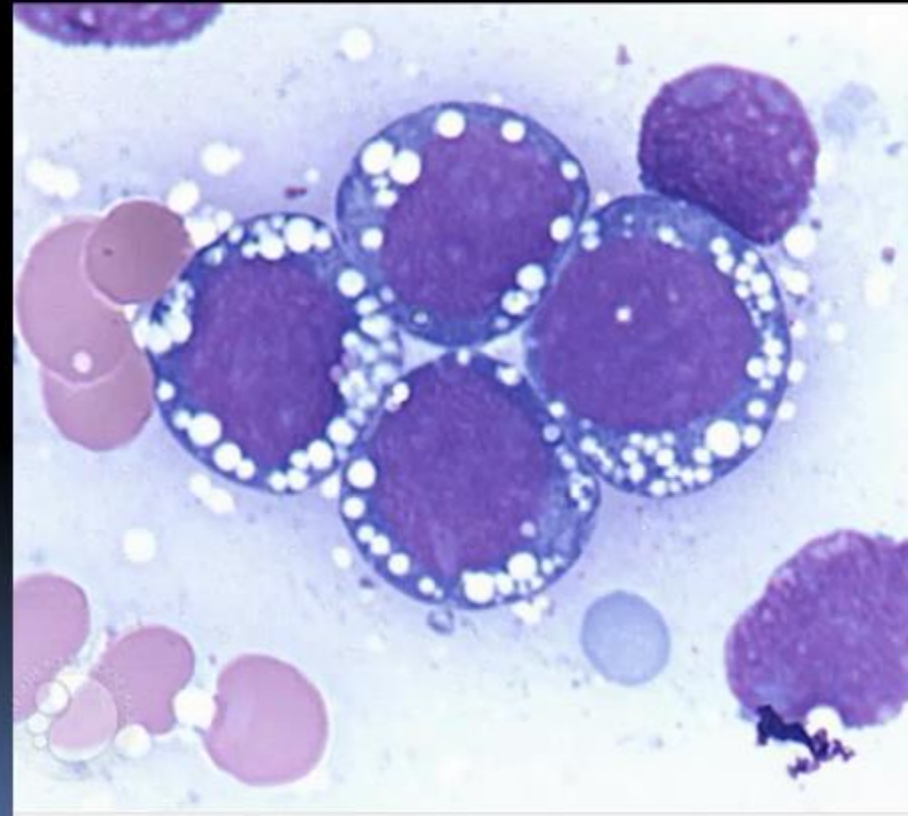


شکل ۱۱-۷۱: لوسی دو رده‌ای میلوئیدی و لنفوئیدی در Ph+ALL

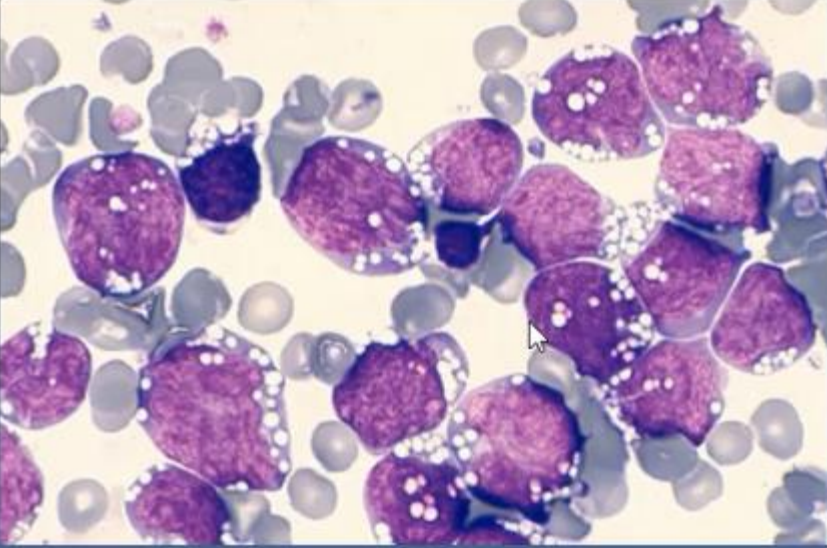
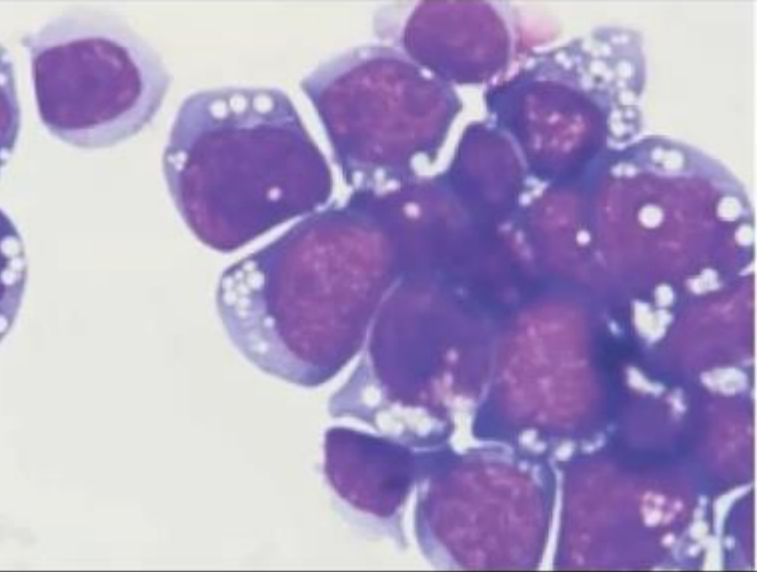
ALL L3 or Burkitt type



# Extramedullary lymphomatous mass in ALL L3



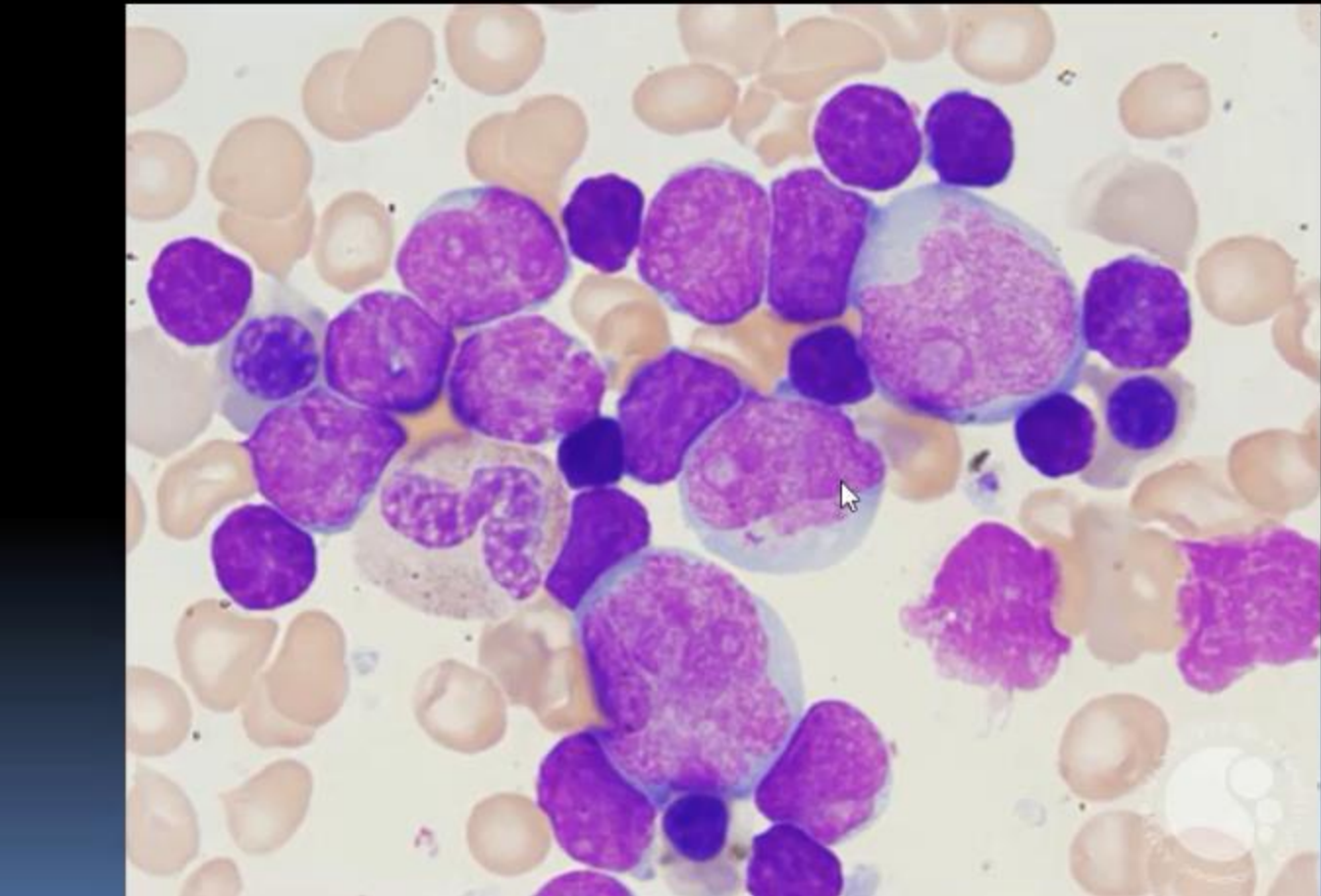
ALL L3

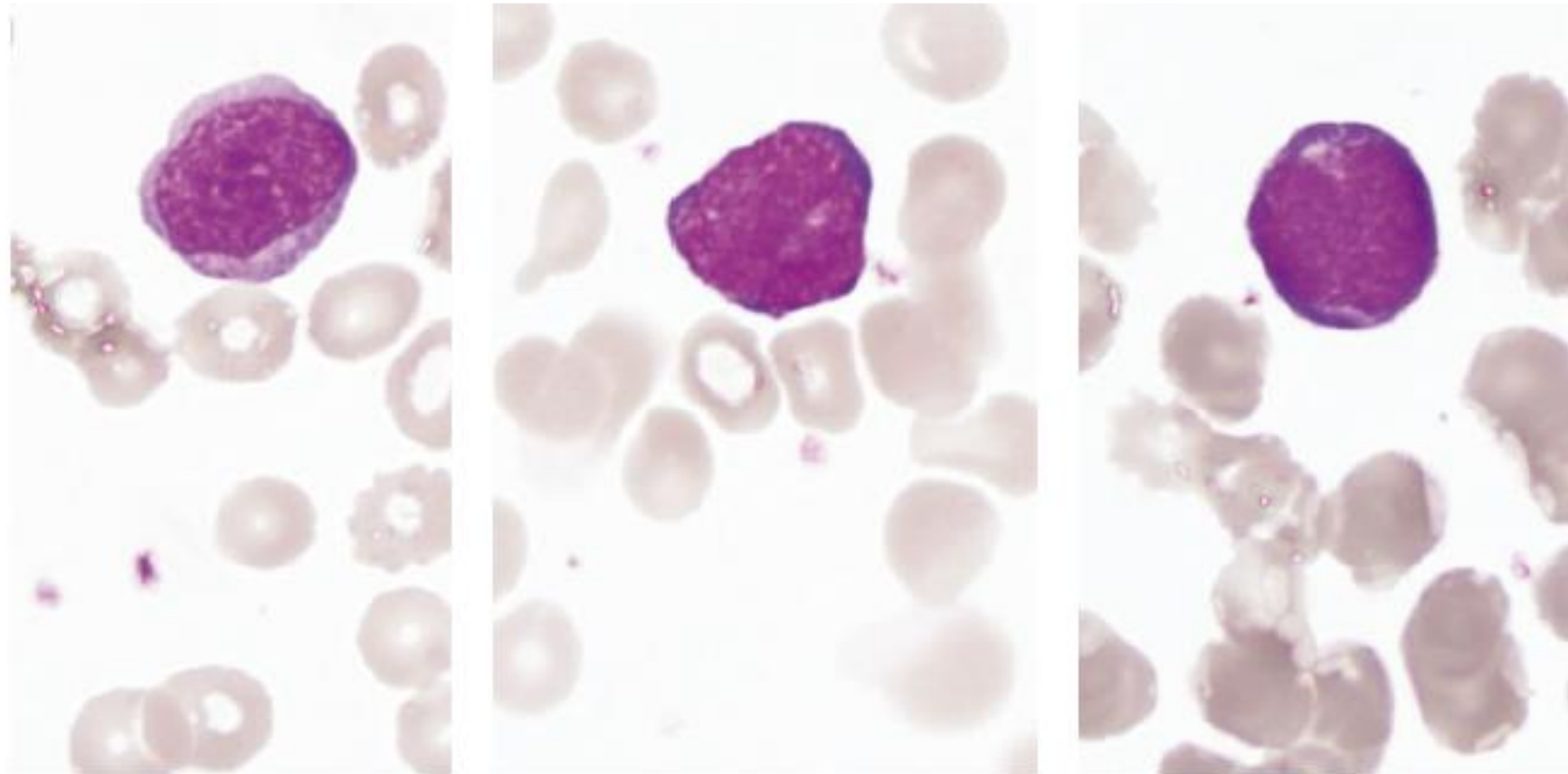


# Prognostic factor in ALL

Factor	Poor risk	Neutral or good risk
Presenting WCC	$30 \times 10^9/l$ B ALL $>100 \times 10^9/l$ T-ALL	Low presenting WCC
Age	Worse outcome with advancing age	Younger age
Immunophenotype	T-cell phenotype better outcome than B-cell phenotype Early T precursor ALL (ETP) Expression of CD20 worse outcome (some studies)	Expression of myeloid antigens generally not associated with worse outcome
Cytogenetics	t(9;22) ( <i>BCR-ABL1</i> ) t(4;11) ( <i>MLL/AF4</i> ) Complex karyotype (five or more chromosomal abnormalities) Low hypodiploidy/near triploidy	t(12;21) ( <i>ETV6/RUNX1</i> ) Hyperdiploidy
Specific genetic abnormalities	<i>IKZF1</i> deletions, particularly in Ph+ ALL	<i>NOTCH1</i> and <i>FBXW7</i> mutations in T-ALL
Early response to steroid	Poor initial response to steroid therapy	
MRD	Positive signal at protocol-relevant time point	Negative signal at protocol-relevant time point

# Biphenotypic Lukemia

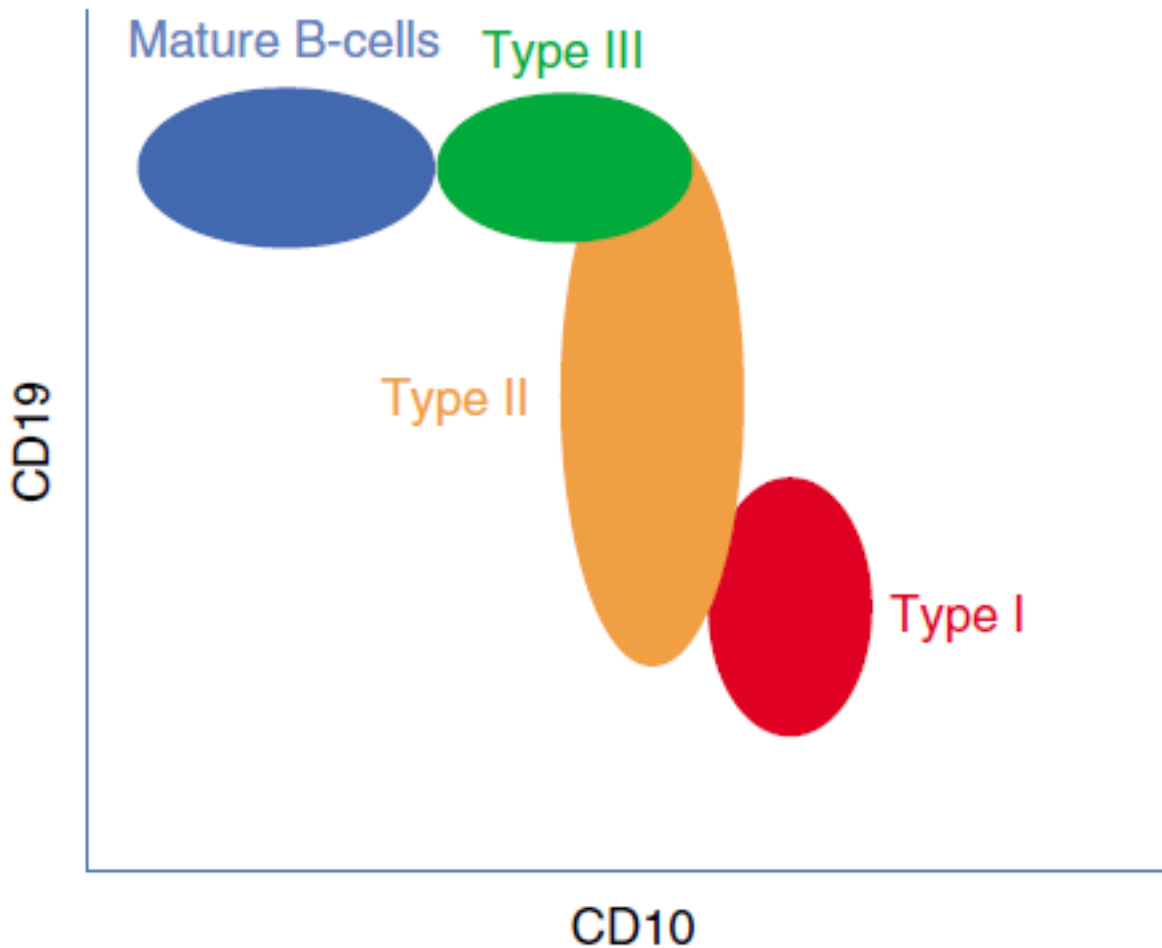




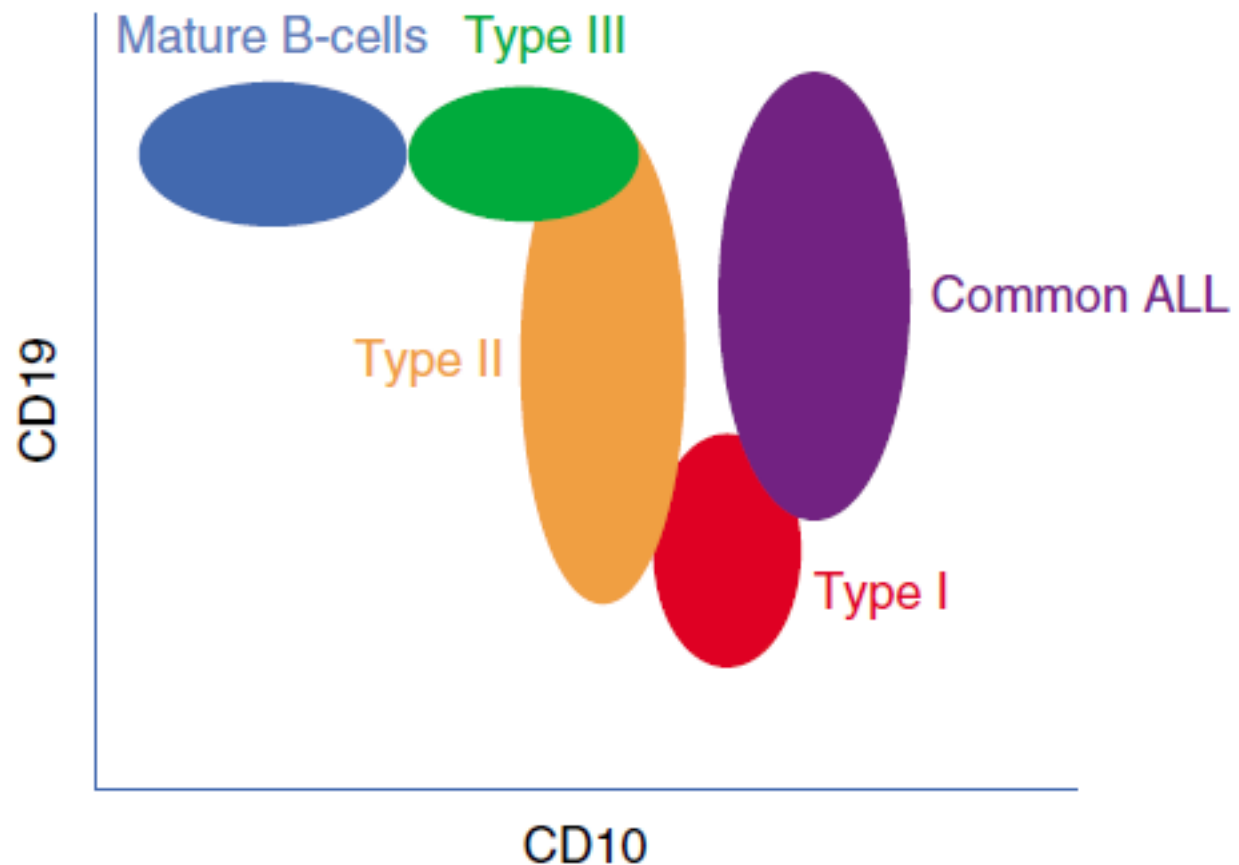
**Figure 4.6** Type I haematogones. Later haematogones are difficult to photograph as they cannot be differentiated from normal maturing B-cells.

**Table 4.1** The stages of haematogone maturation in contrast to mature B-cells.

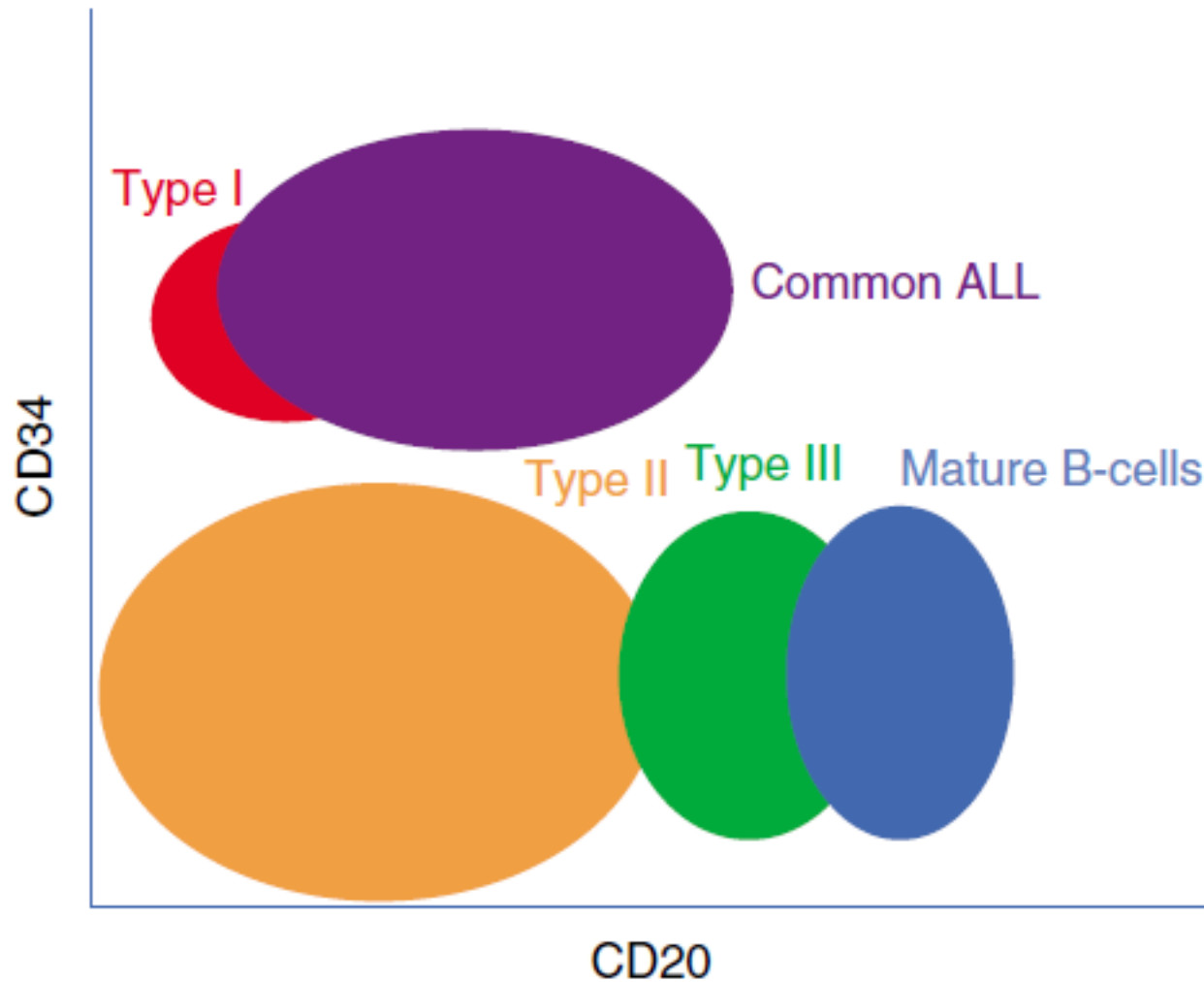
Antigen	Stage I	Stage II	Stage III	Mature B-cells
TdT	Pos	Neg	Neg	Neg
CD34	Pos	Neg	Neg	Neg
CD10	Pos <sup>bright</sup>	Pos	Pos	Neg
CD19	Pos <sup>dim</sup>	Pos	Pos	Pos
CD38	Pos	Pos	Pos	Pos/neg
CD20	Neg	Pos <sup>dim</sup>	Pos	Pos
Cyt IgM	Neg	Neg	Pos	Pos



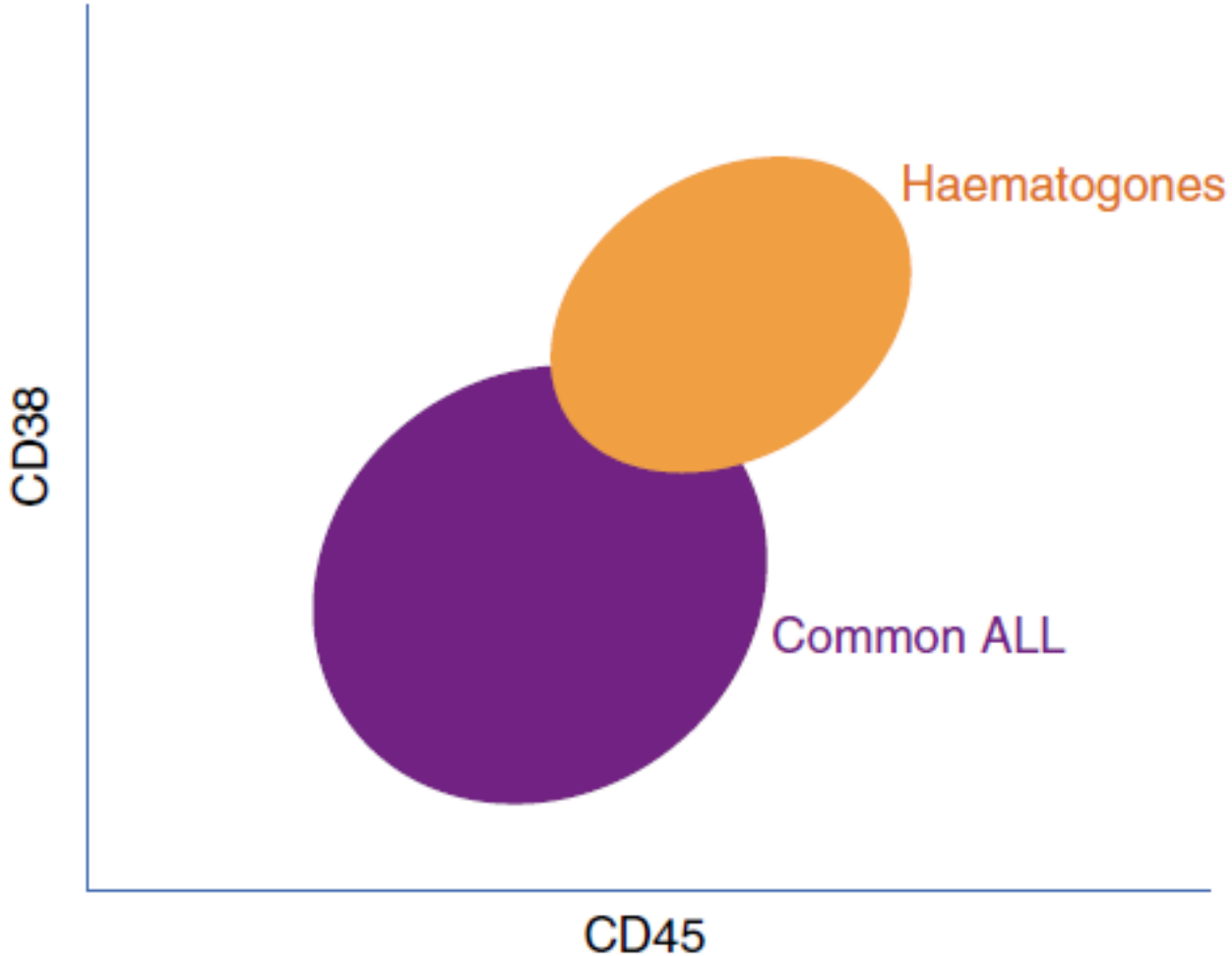
**Figure 4.7** A schematic scatter plot showing the distribution of haematogones and normal B-cells according to CD19/CD10 expression (the inverted S pattern).



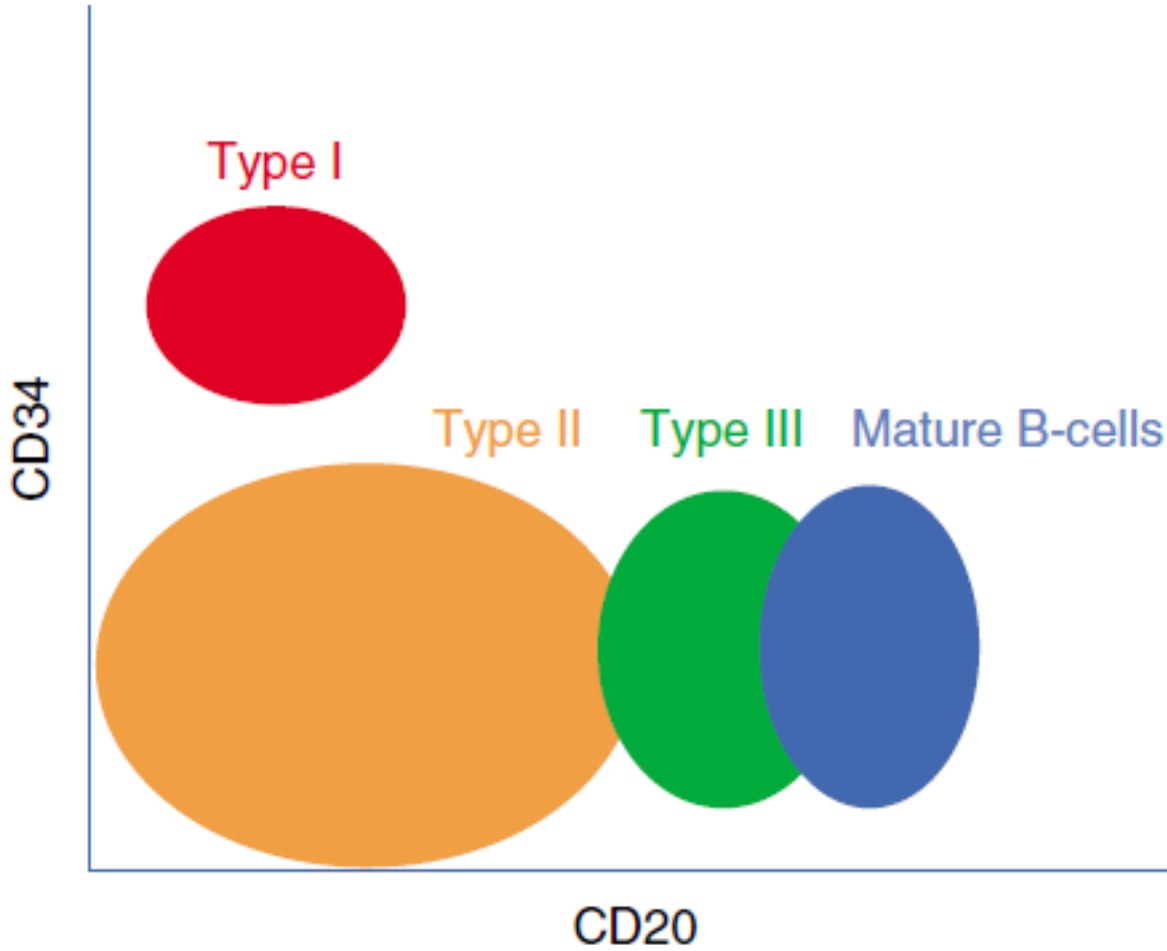
**Figure 4.8** As per Figure 4.6, with common ALL blasts superimposed.



**Figure 4.10** As per Figure 4.9, with common ALL blasts superimposed.



**Figure 4.11** Expected distribution of haematogones and ALL blasts according to CD38 and CD45 expression.



**Figure 4.9** A schematic scatter plot showing the distribution of haematogones and normal B-cells according to CD34/CD20 expression.

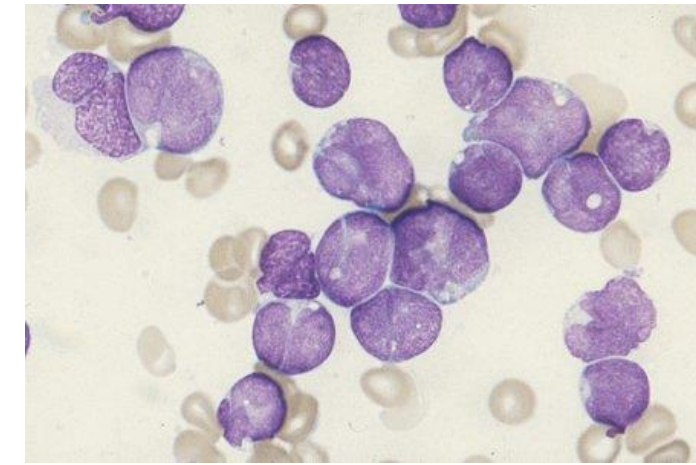
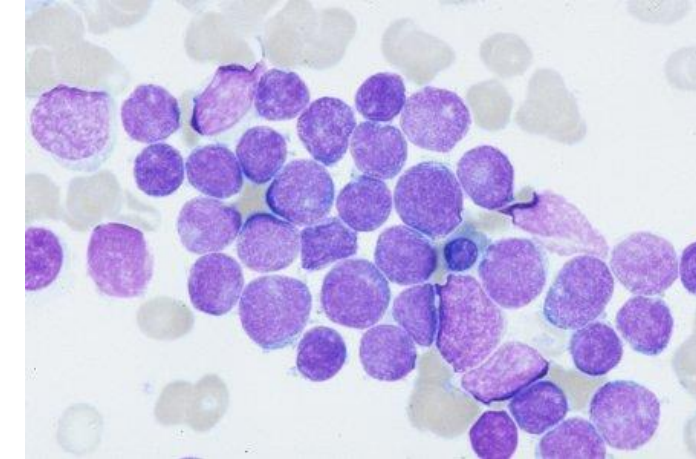
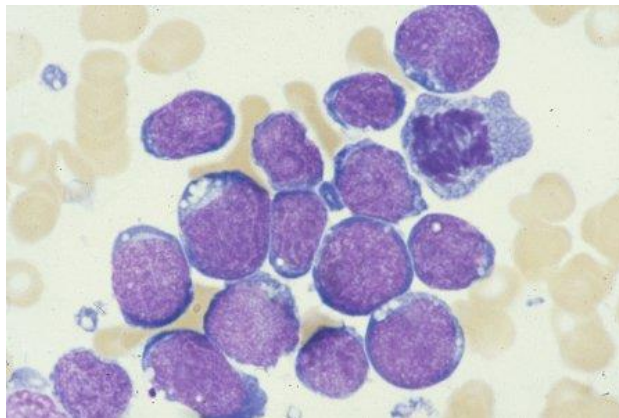
# FAB Acute Lymphoblastic Leukemia

Acute lymphoblastic leukemia (ALL)\*

L-1      85%

L-2      14%

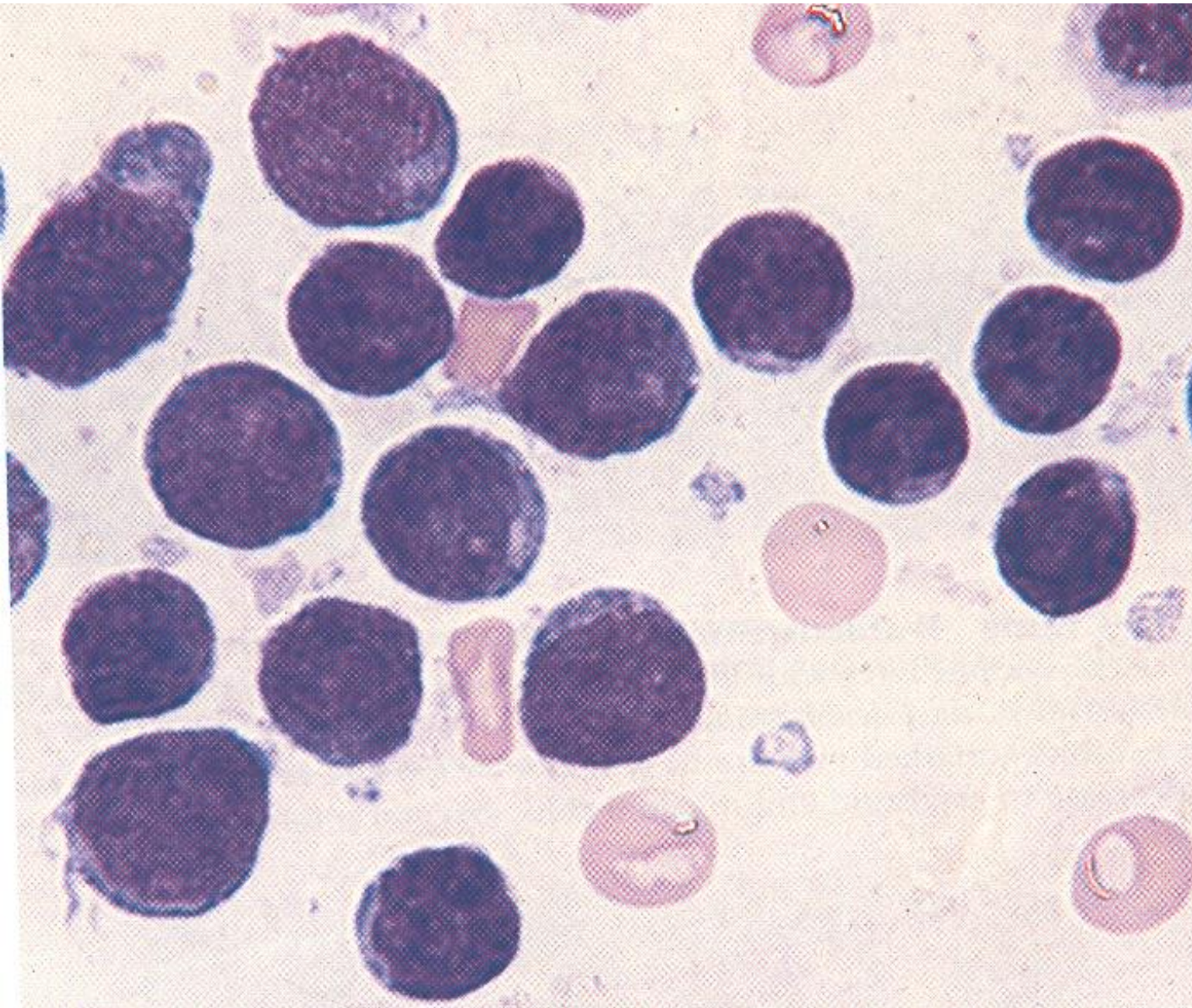
L-3 (Burkitt's) 1% childhood



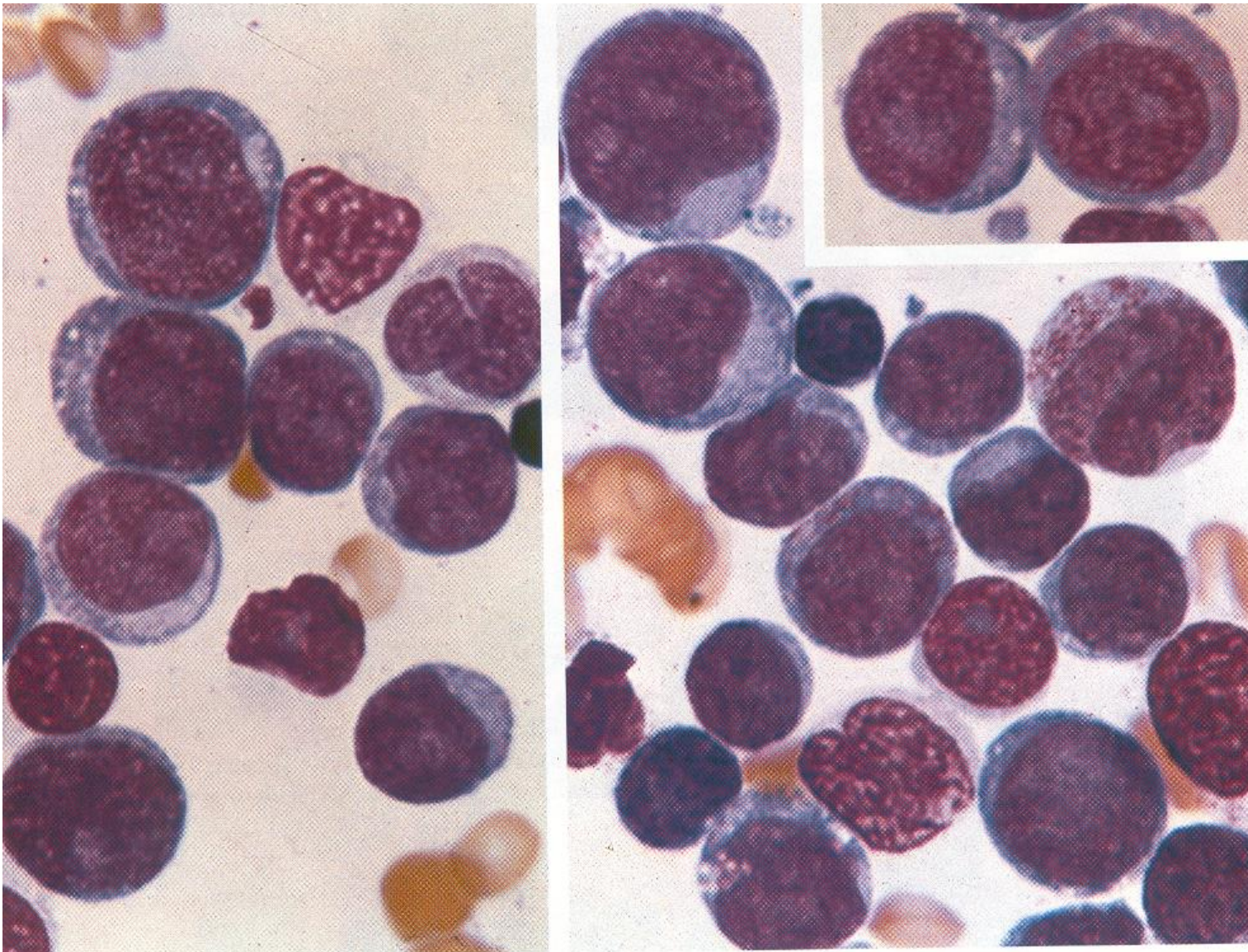
# ALL: Cytochemistry

- The blasts are negative for Peroxidase' SBB' naphthol ASD and CAE.
- In few cases of ALL azurophilic granules may be present but they are Peroxidase and SBB negative.
- PAS stain shows coarse blocks of material in at least some lymphoblasts.

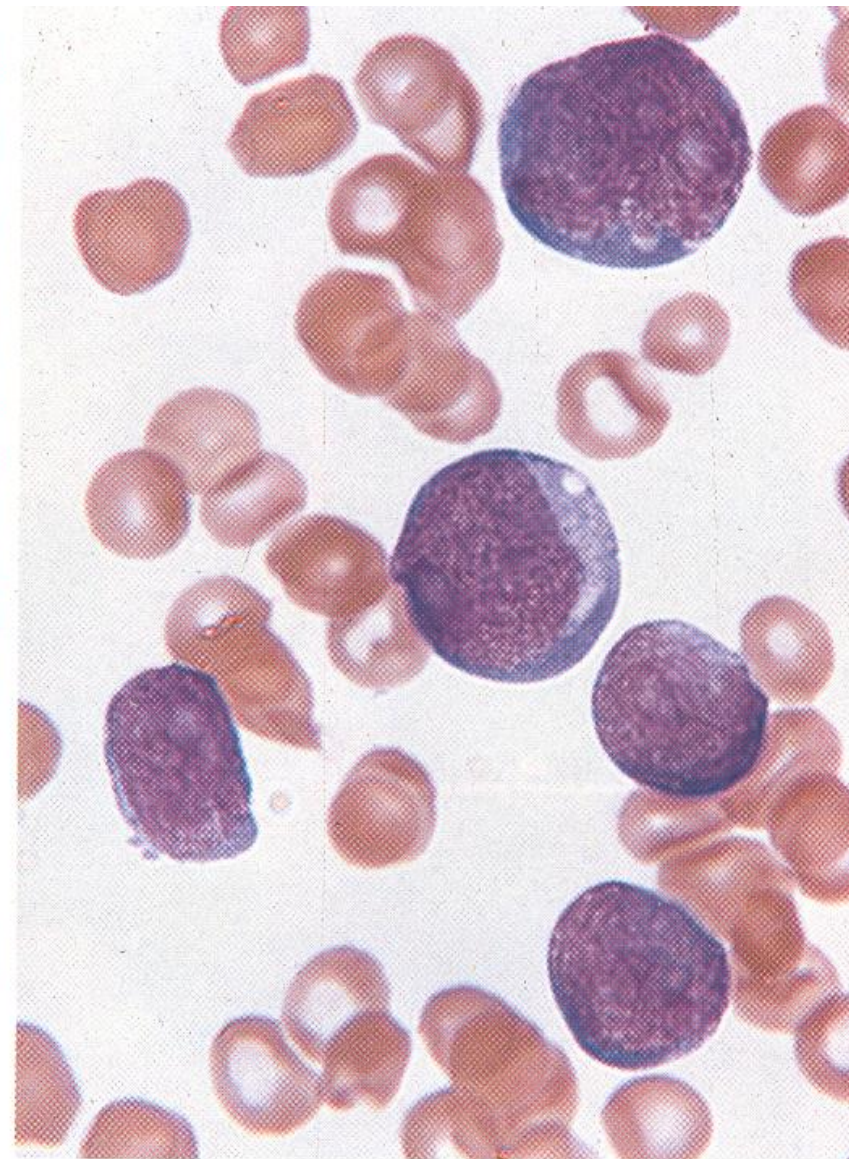
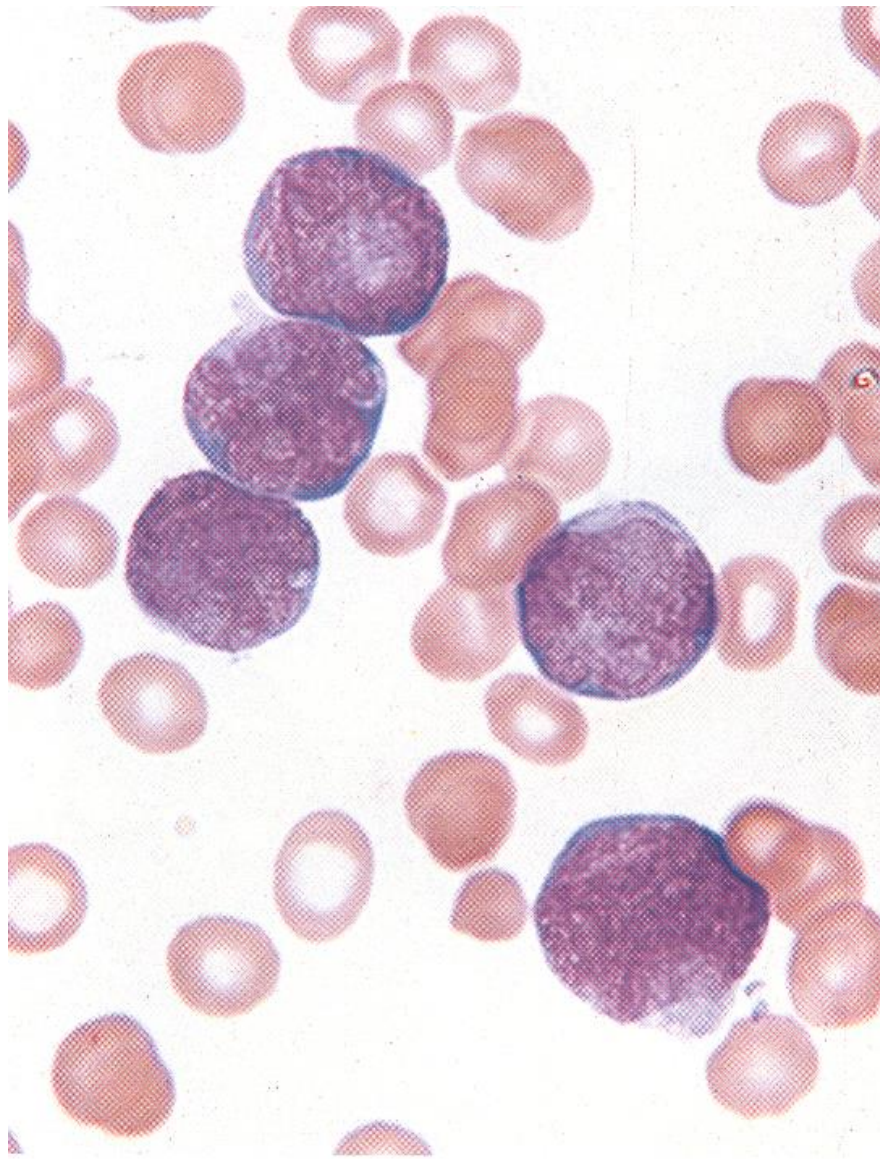
# Acute Lymphoblastic Leukemia(L1)



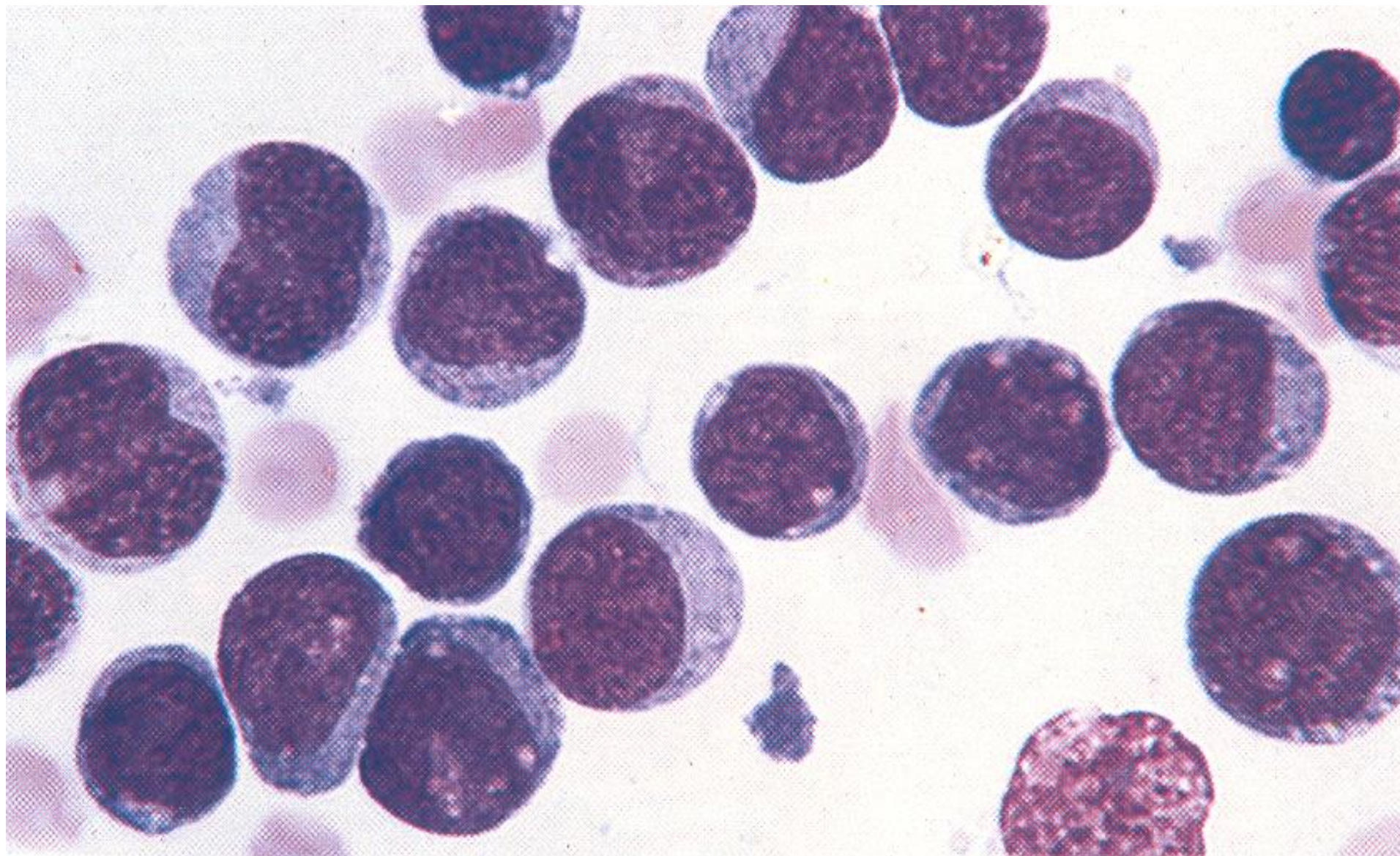
# Acute Lymphoblastic Leukemia(L2)



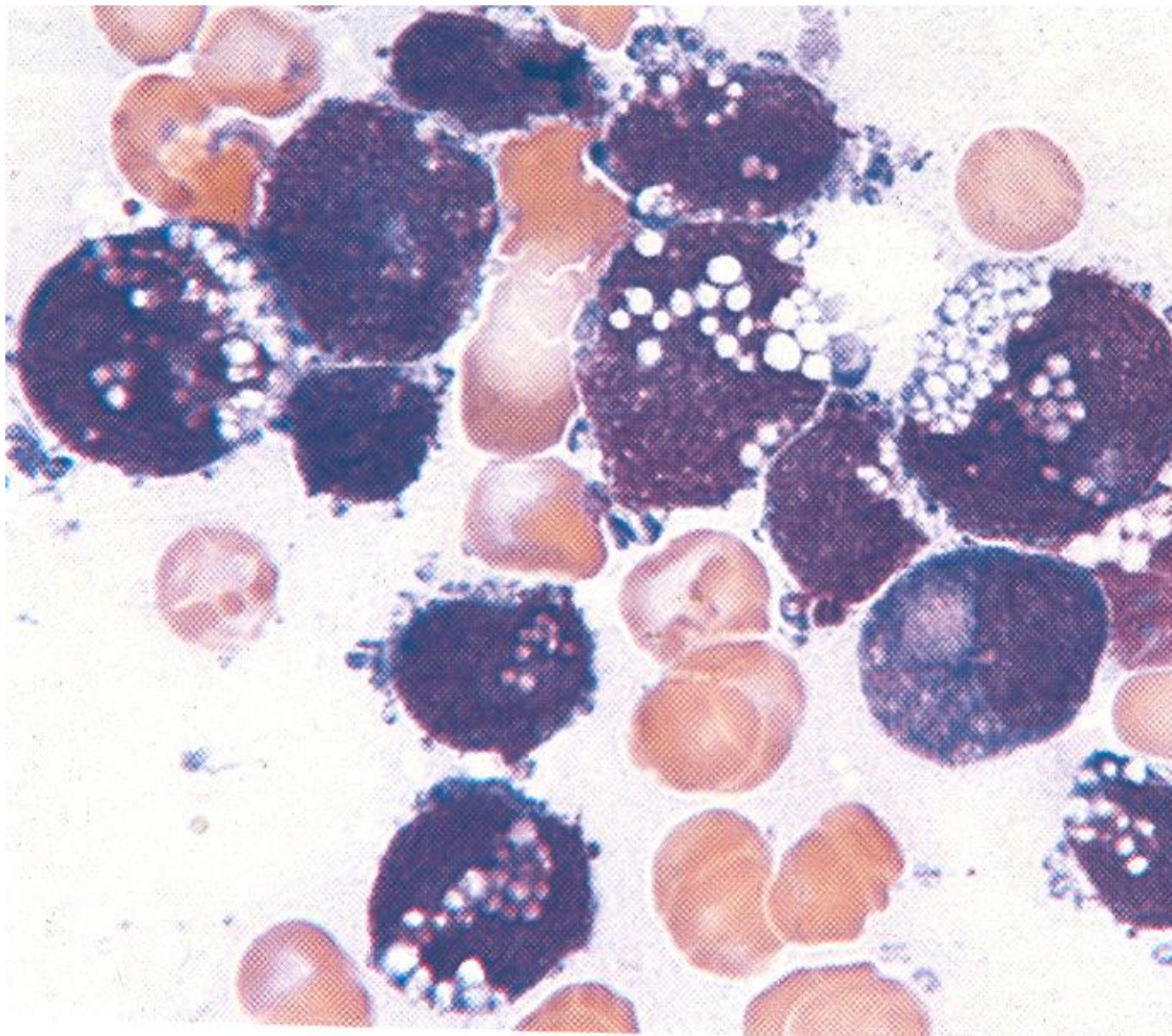
# (Blood Film:ALL (L2



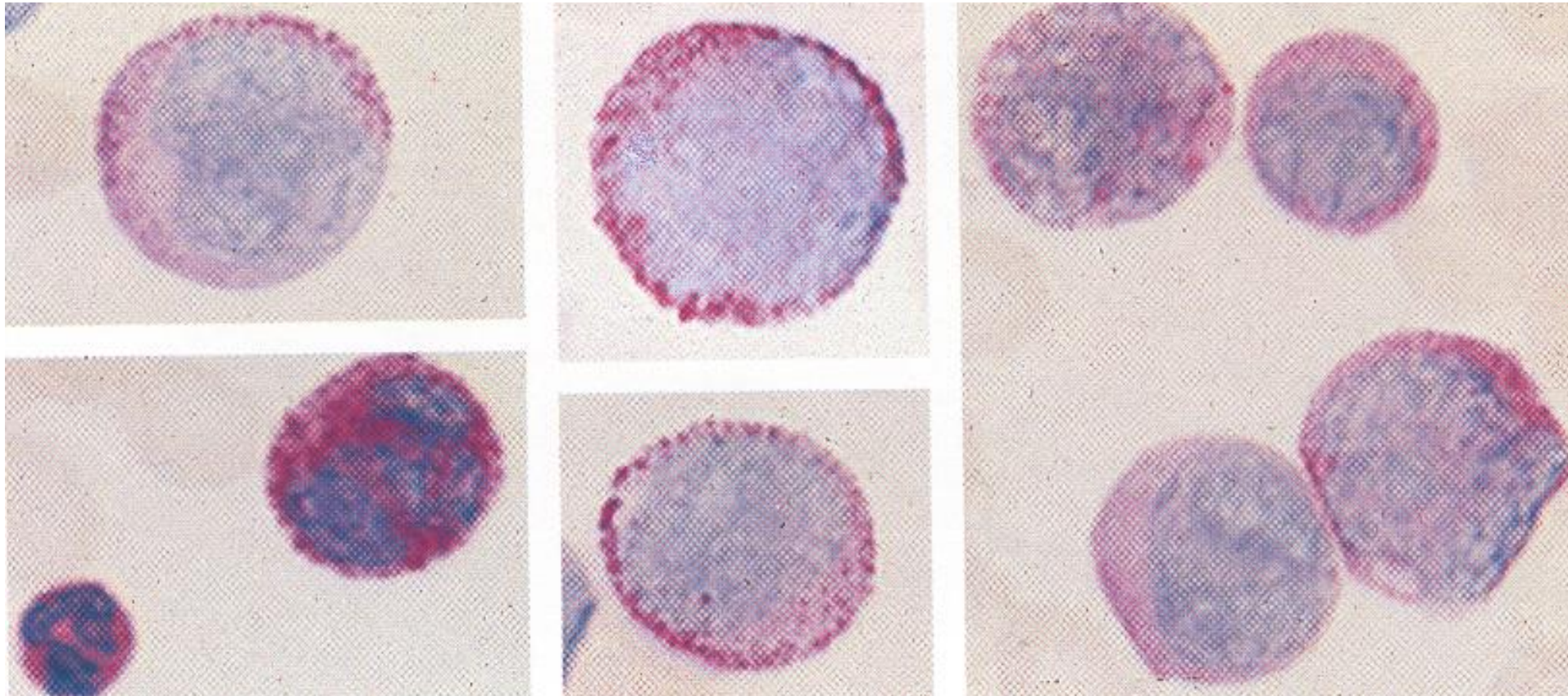
# (Acute Lymphoblastic Leukemia(L2



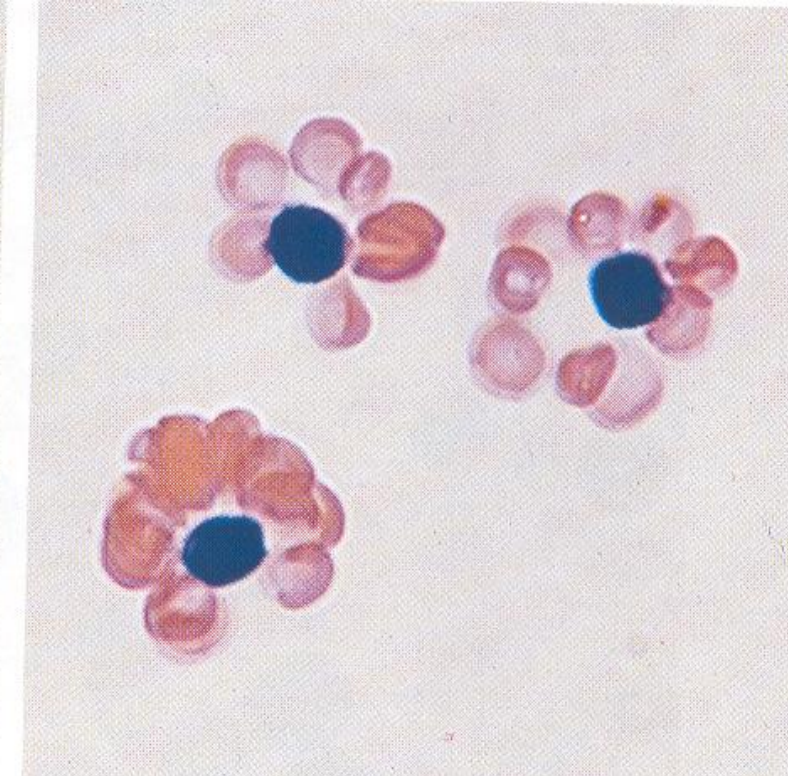
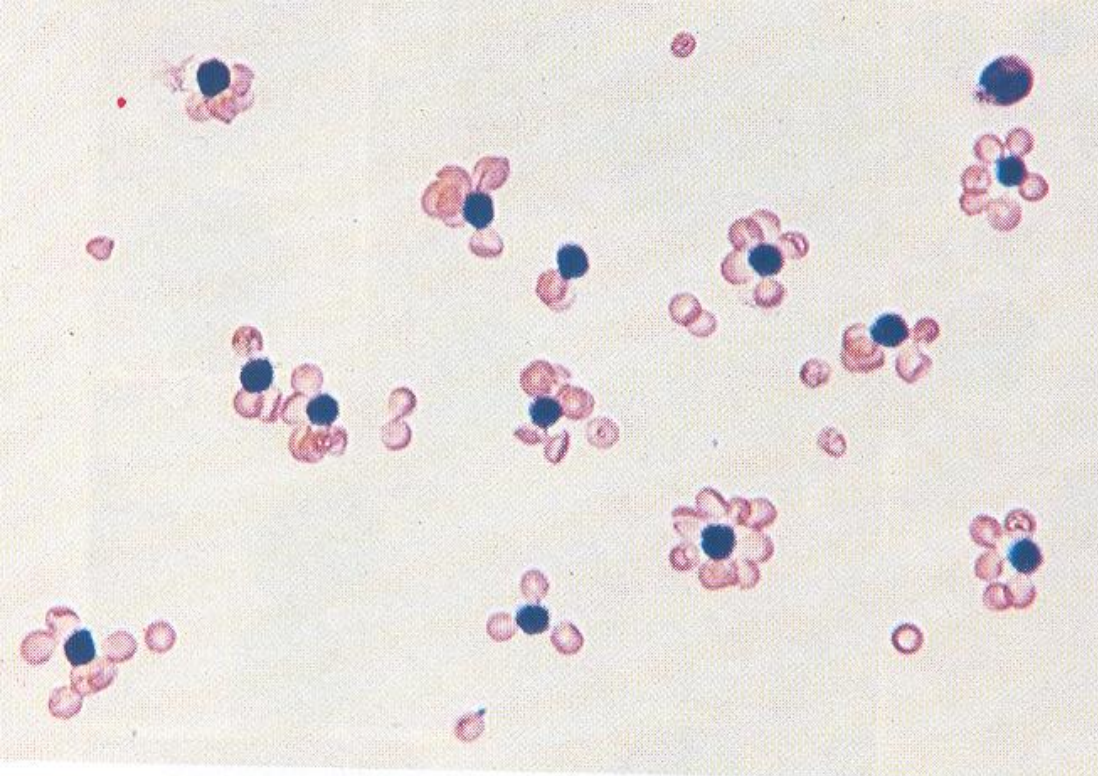
# Acute Lymphoblastic Leukemia(L3)

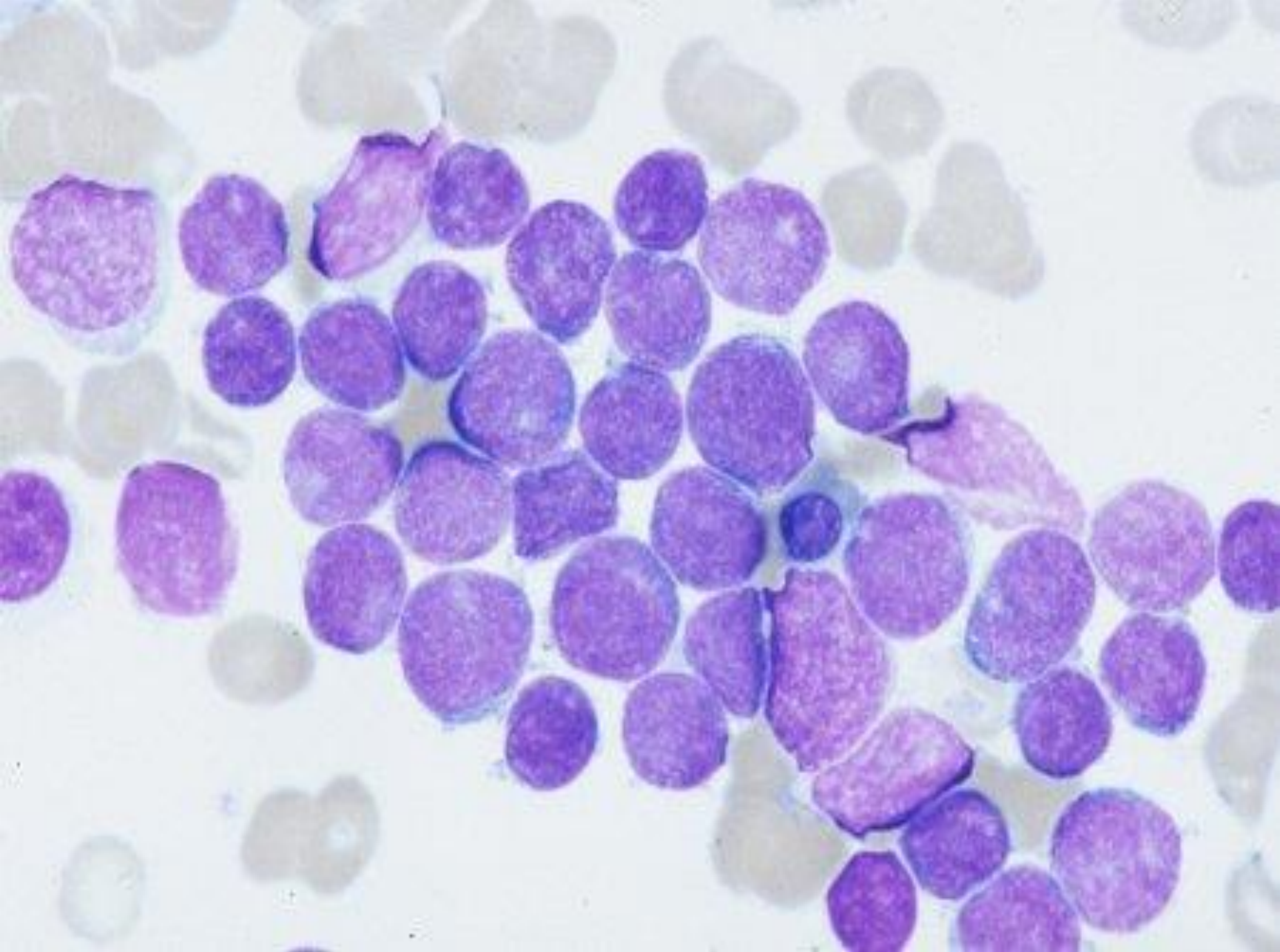


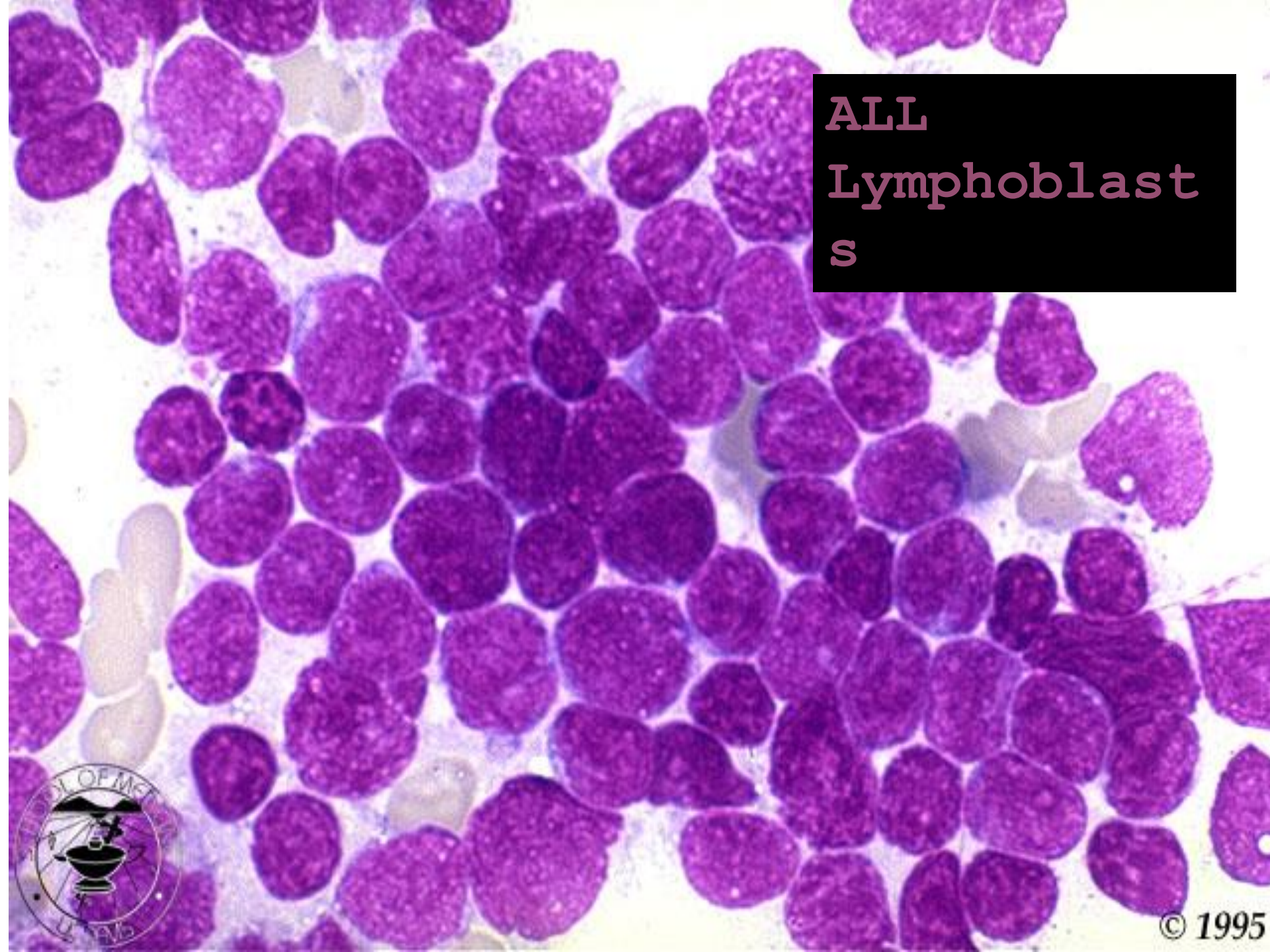
# Acute Lymphoblastic Leukemia PAS Positive granules



# T-Cell Acute Lymphoblastic Leukemia Sheep Red Cell Rosette Formation



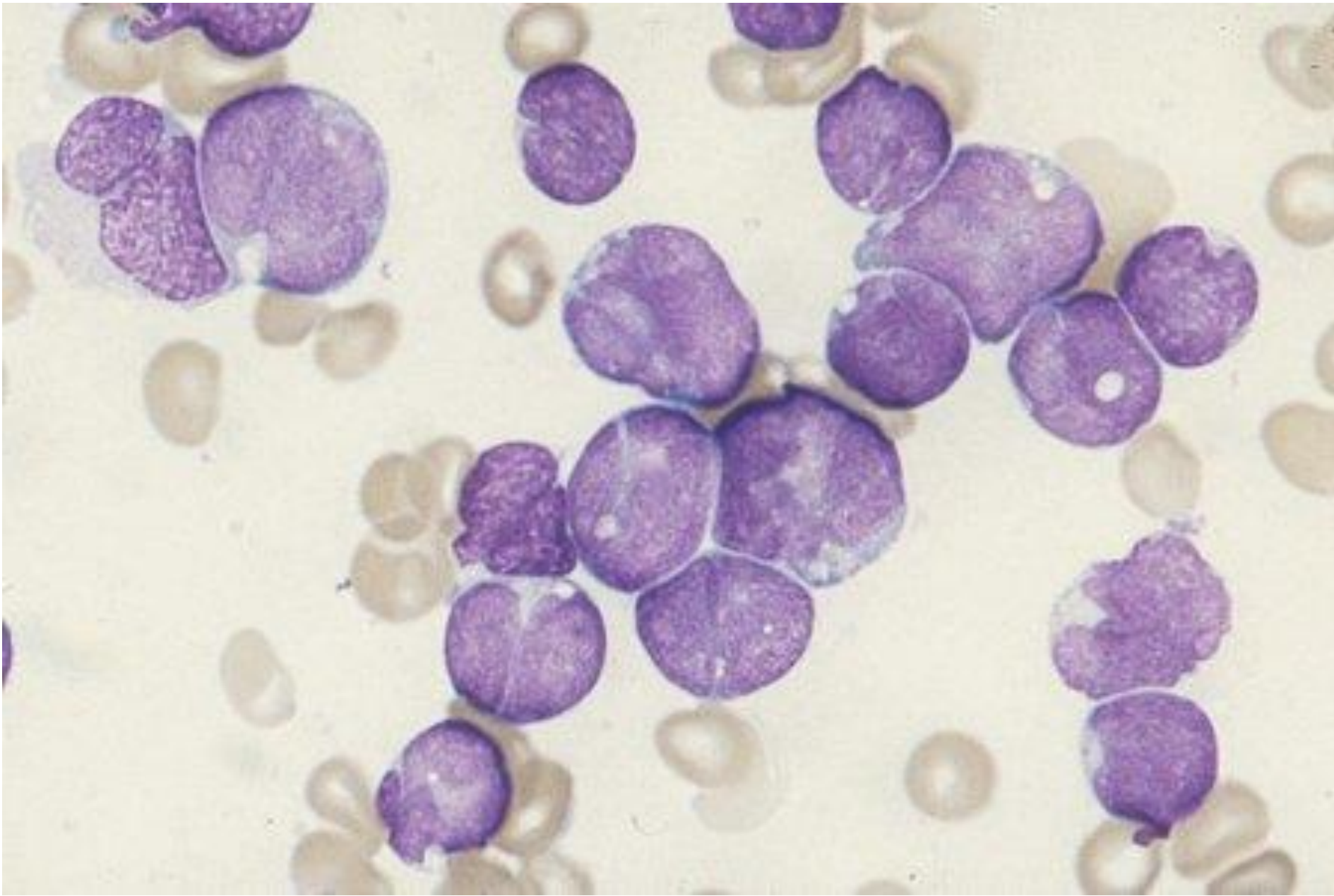


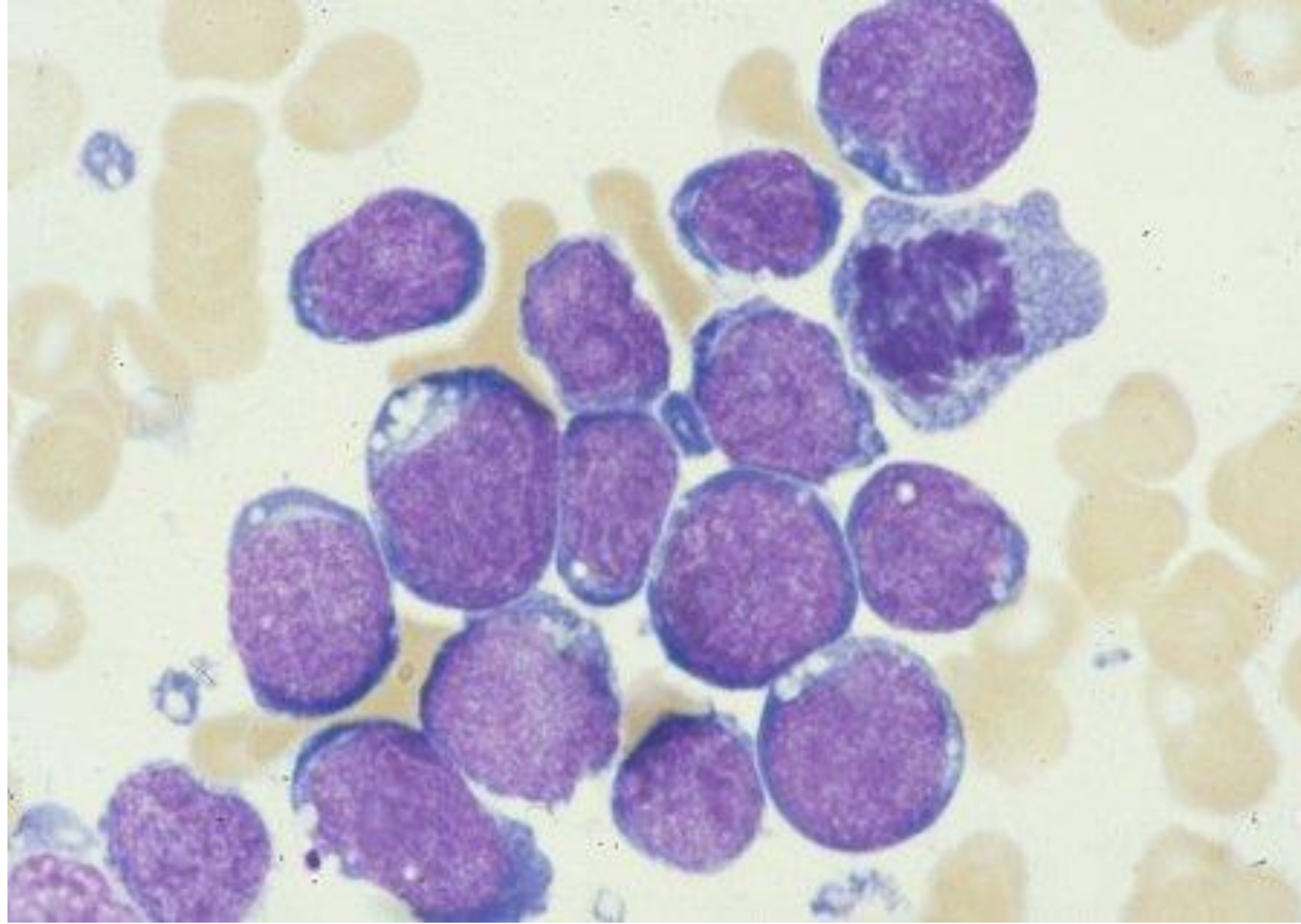


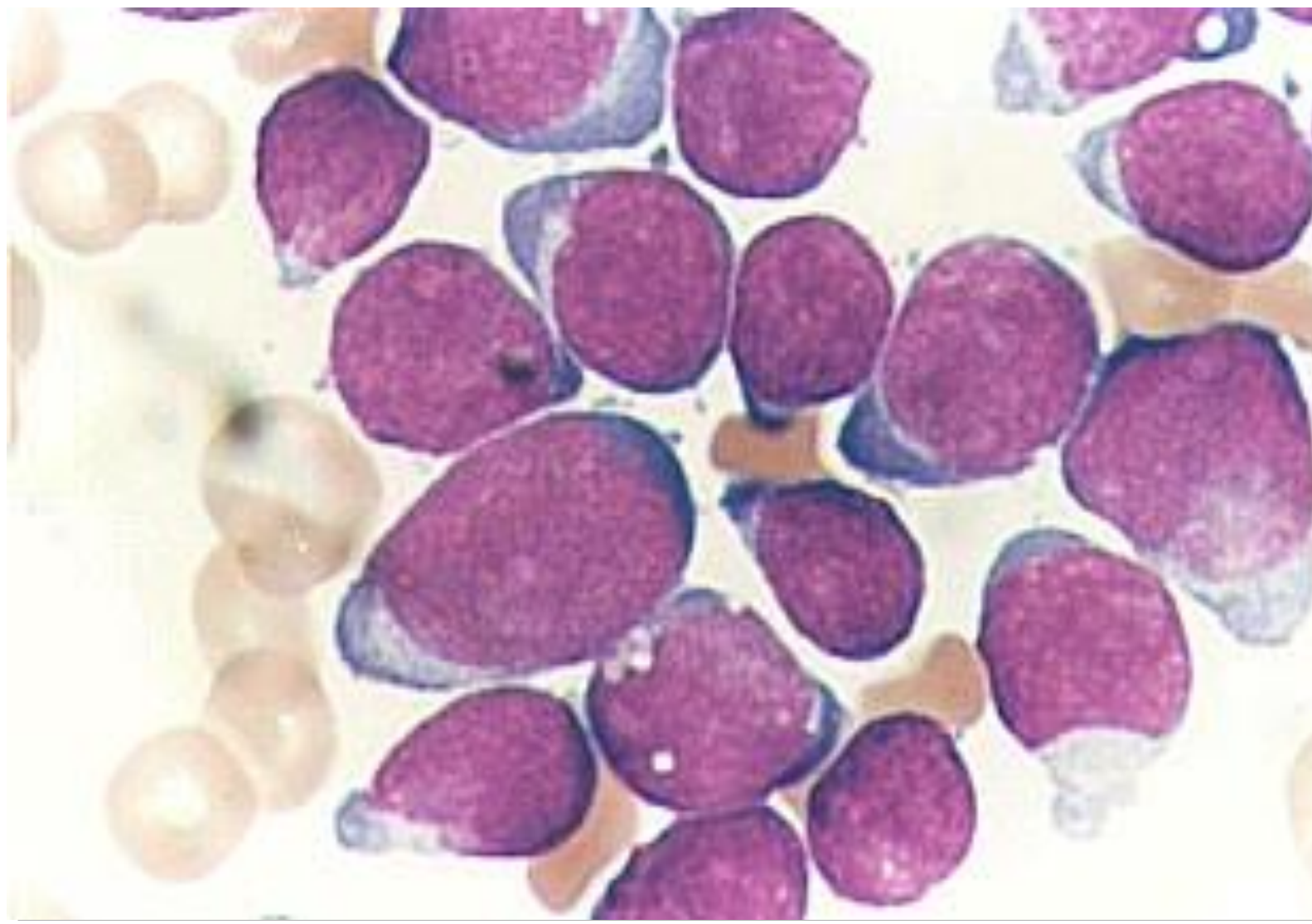
ALL  
Lymphoblast  
s

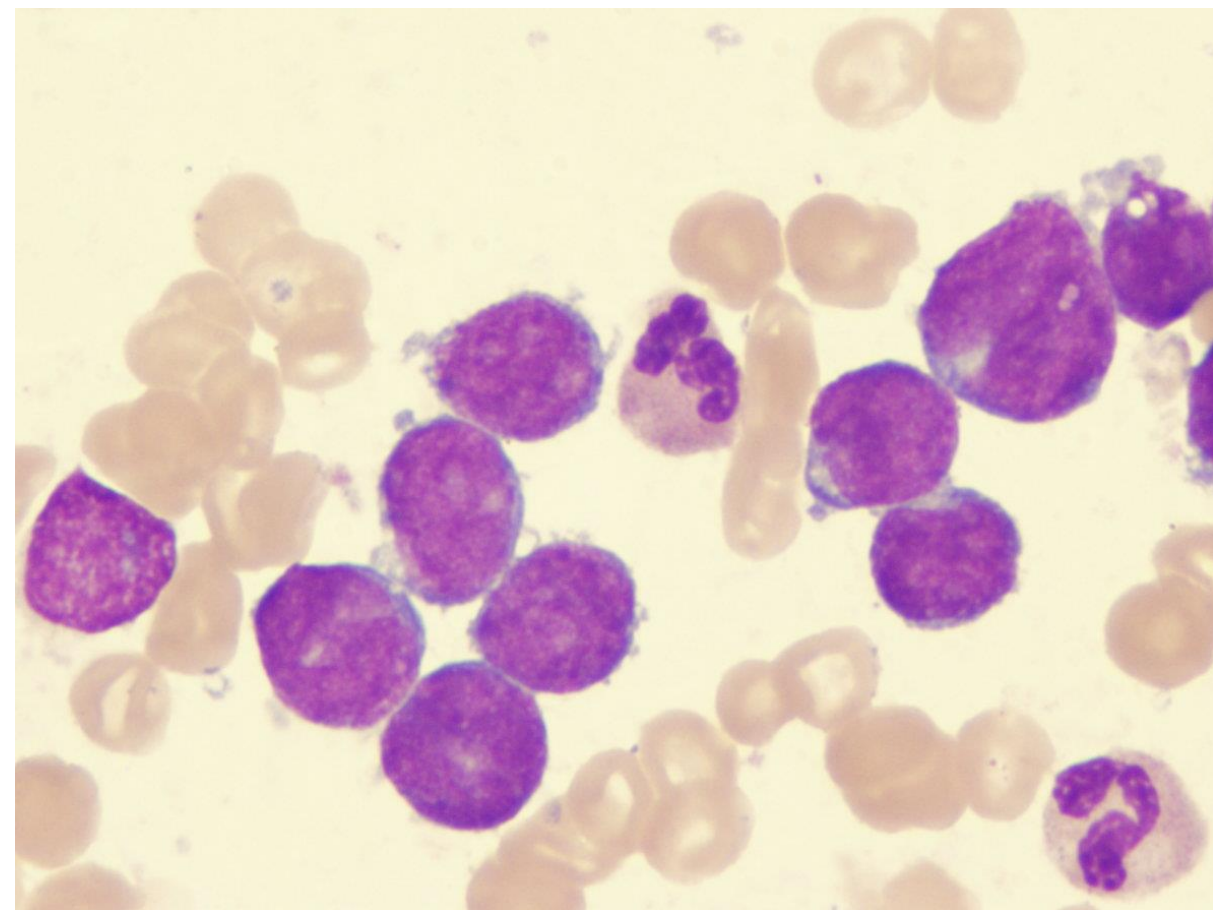
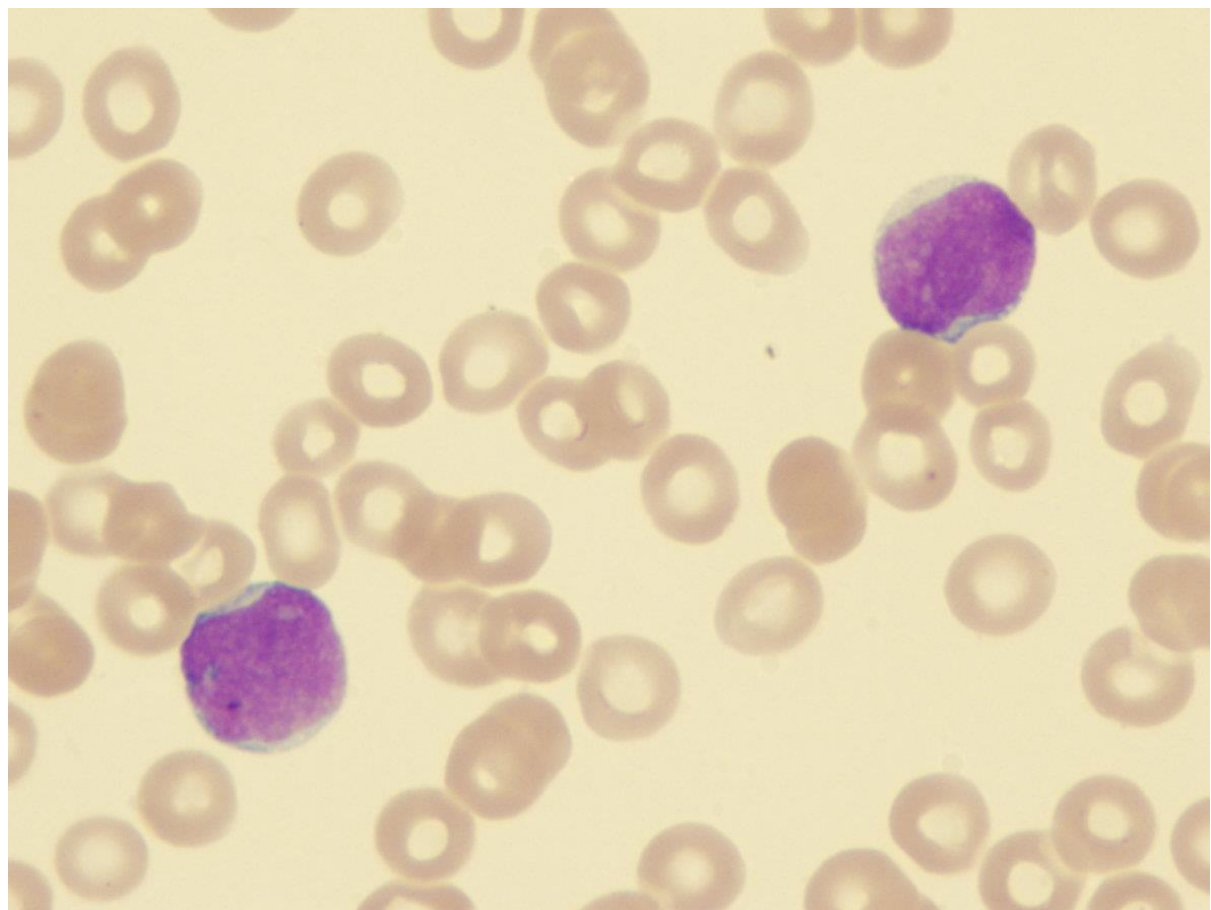


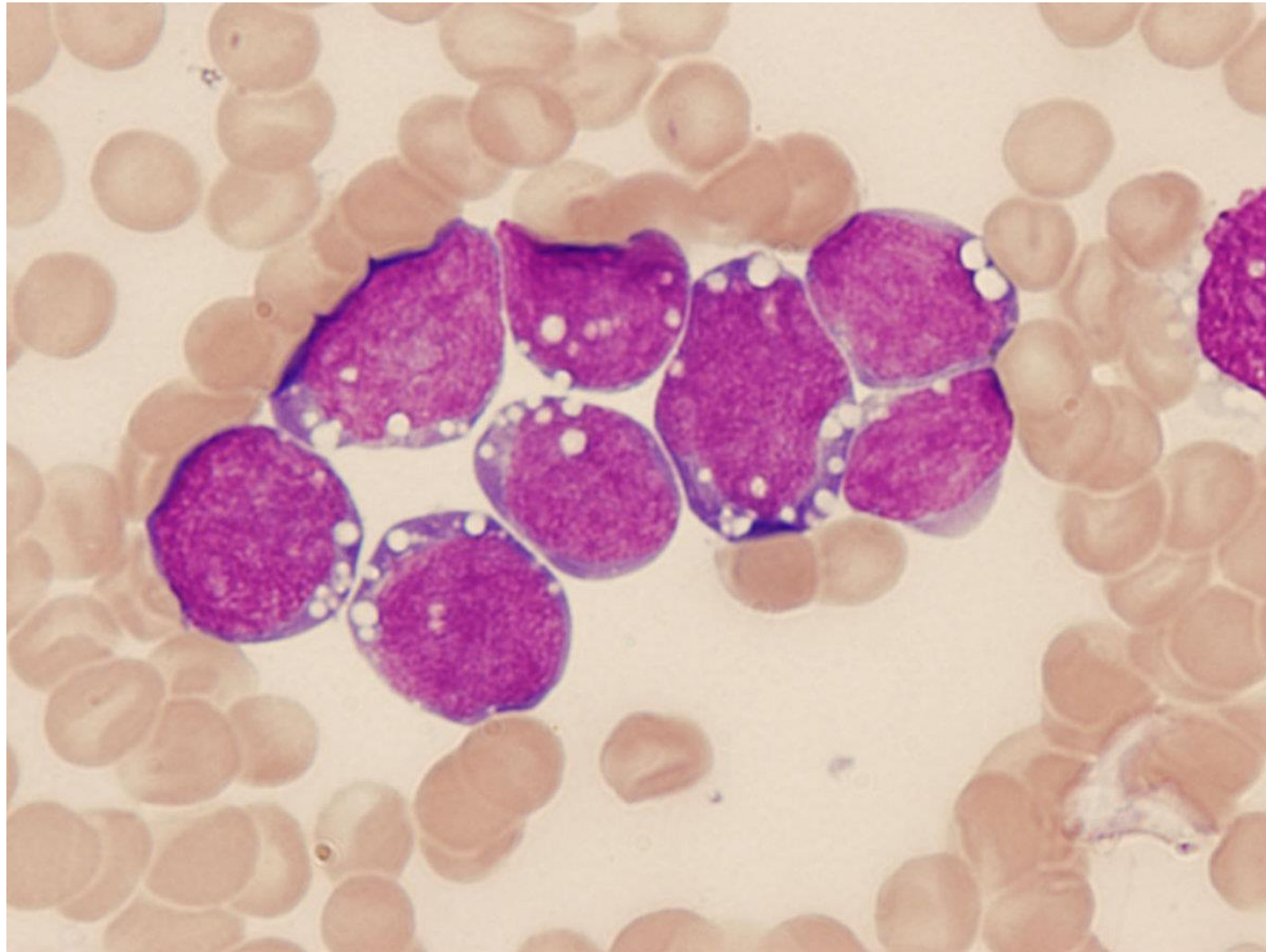
© 1995

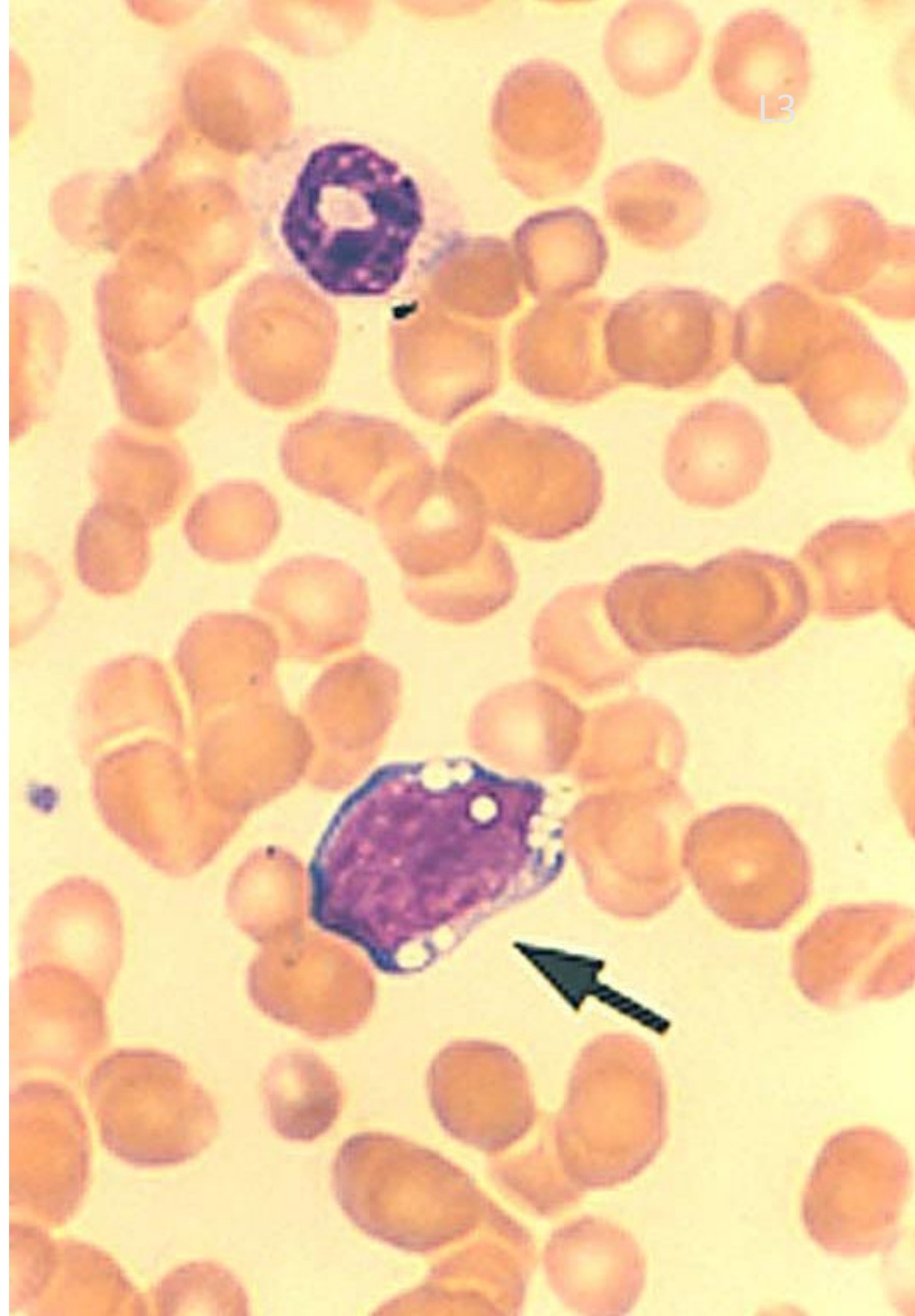
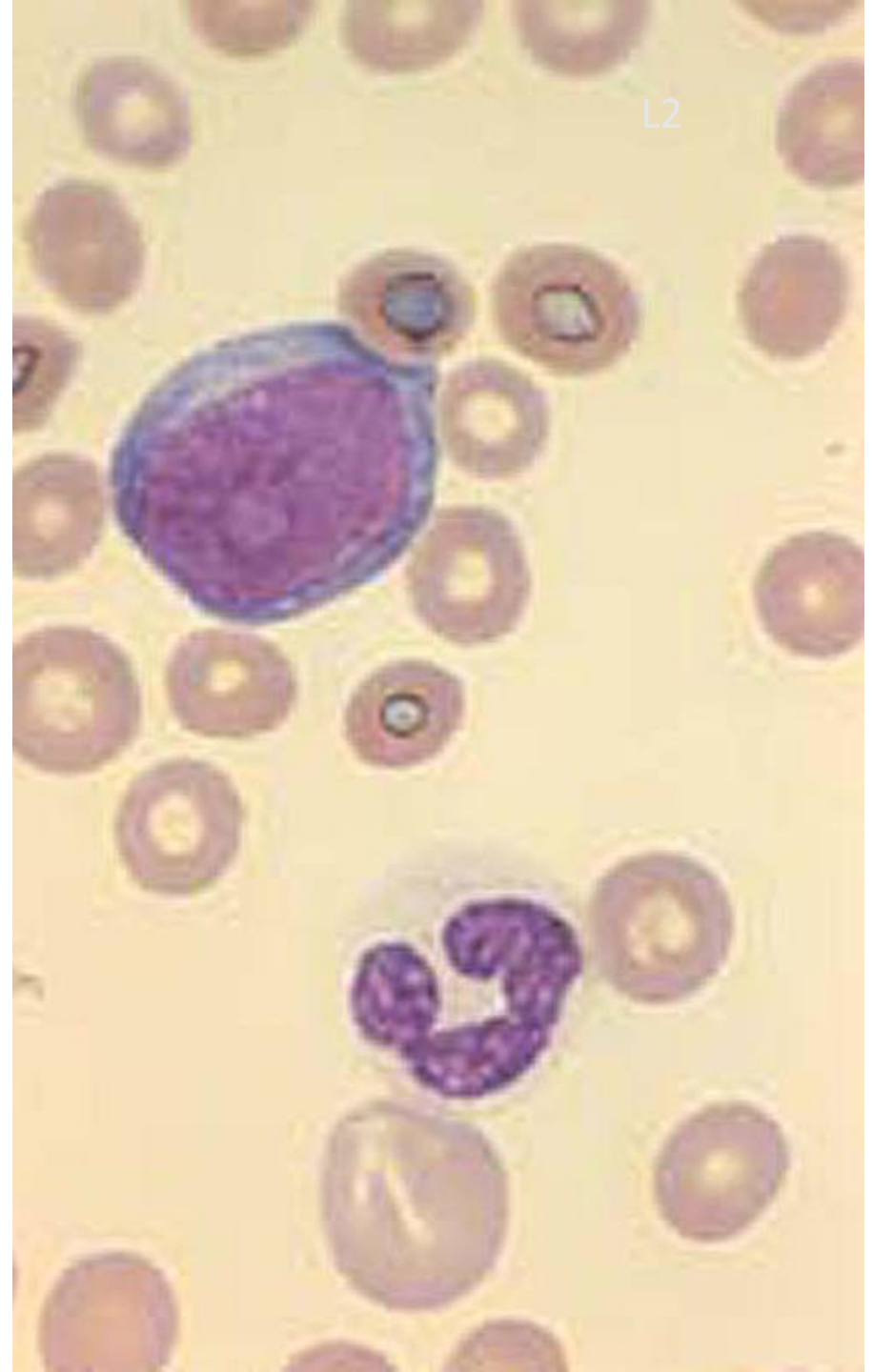




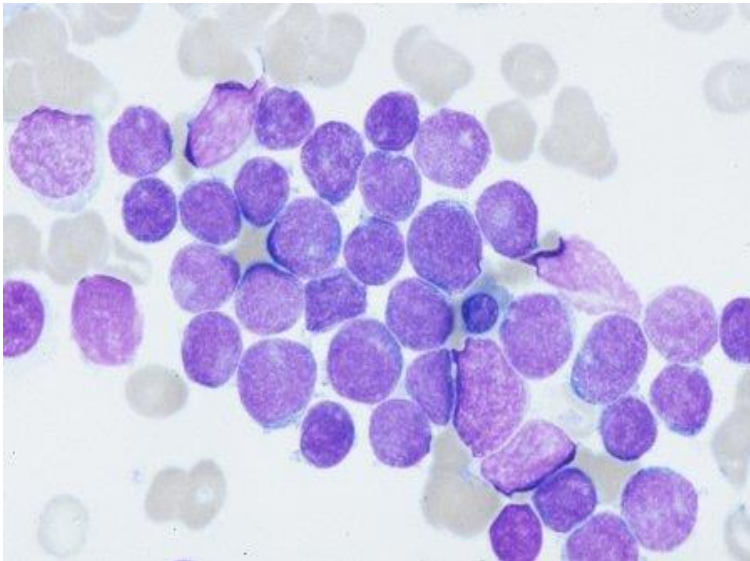




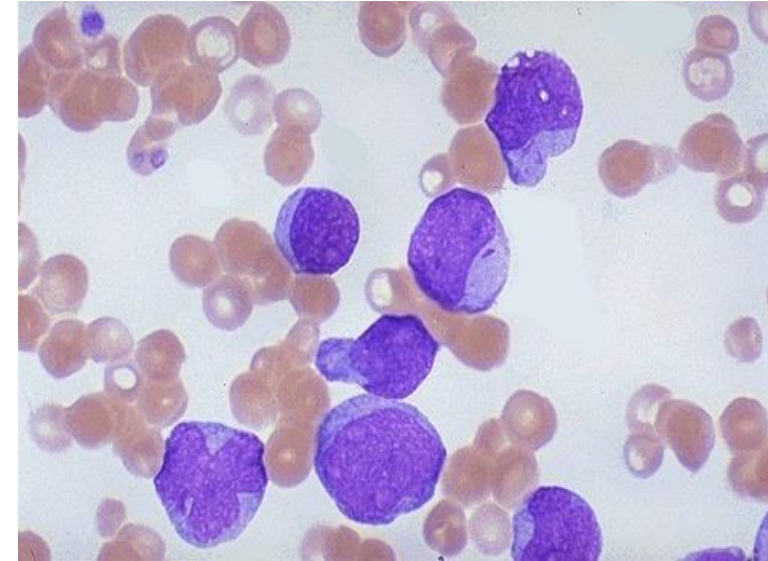




# Investigations



Acute lymphoblastic leukemia



Acute myeloid leukemia

# Investigations

- **ALL(Lymphoblast)**

- **Blast size** :small
- **Cytoplasm**: Scant
- **Chromatin**: Dense
- **Nucleoli** :Indistinct
- **Auer-rods**: Never present

- **AML (Myeloblast)**

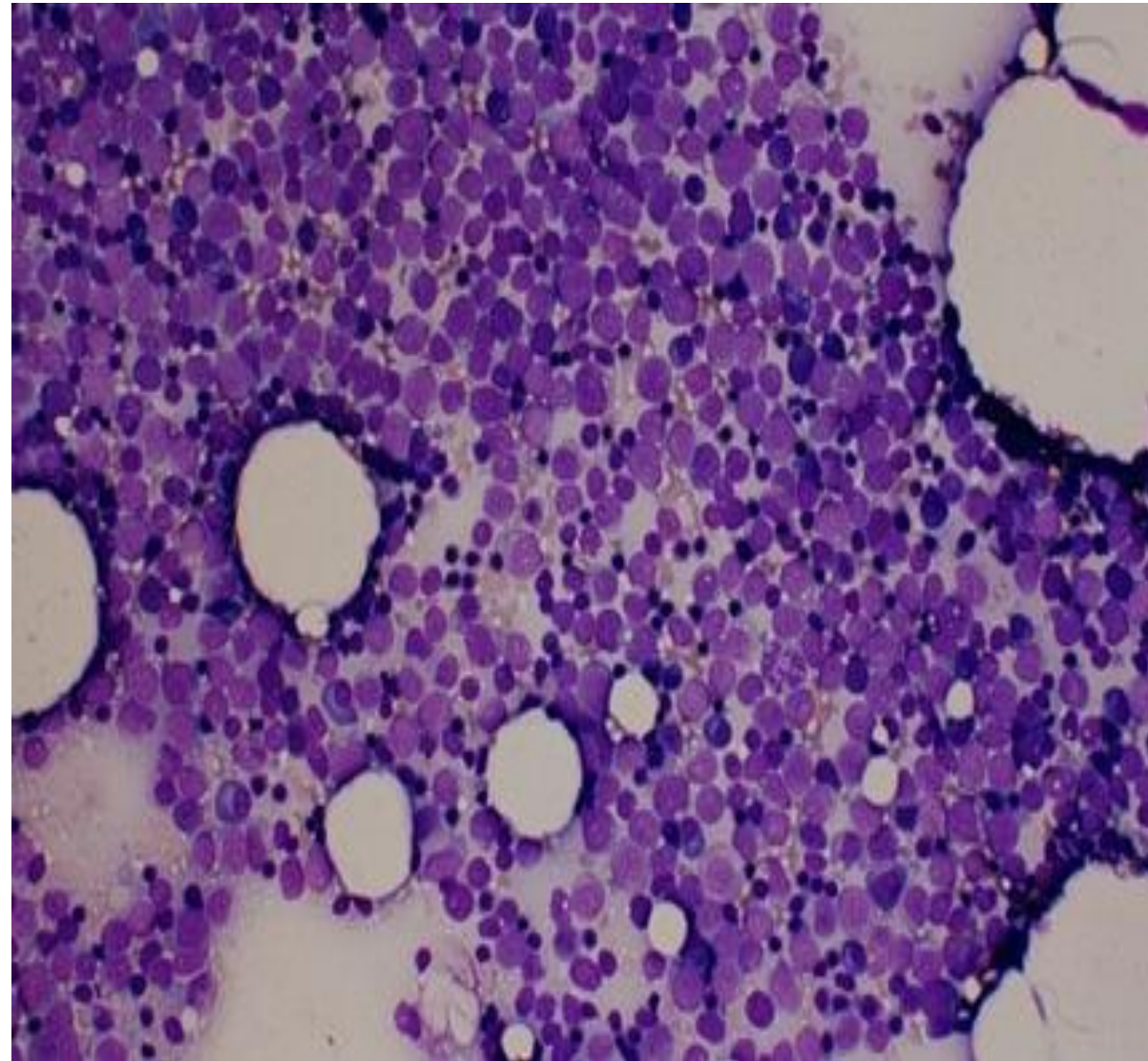
- Large
- Moderate
- Fine, Lacy
- Prominent
- Present in 50%

# Investigations

## 2. *Bone marrow aspiration*

and trephine biopsy

- confirm acute leukaemia  
**(blast > 30%)**
- usually hypercellular

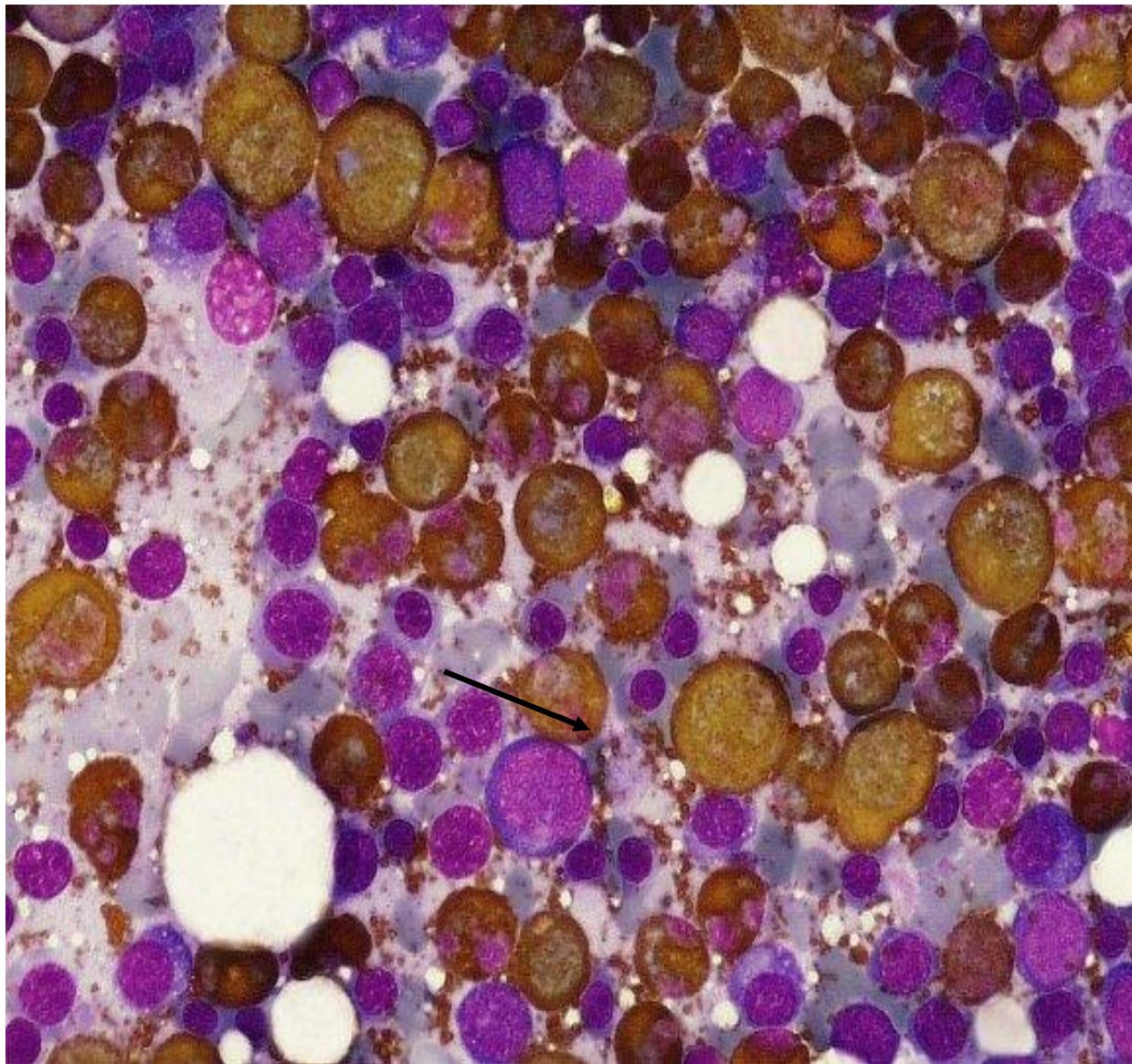


# Investigations

## 3. Cytochemical staining

### a) Peroxidase :-

- \* negative ALL
- \* positive AML



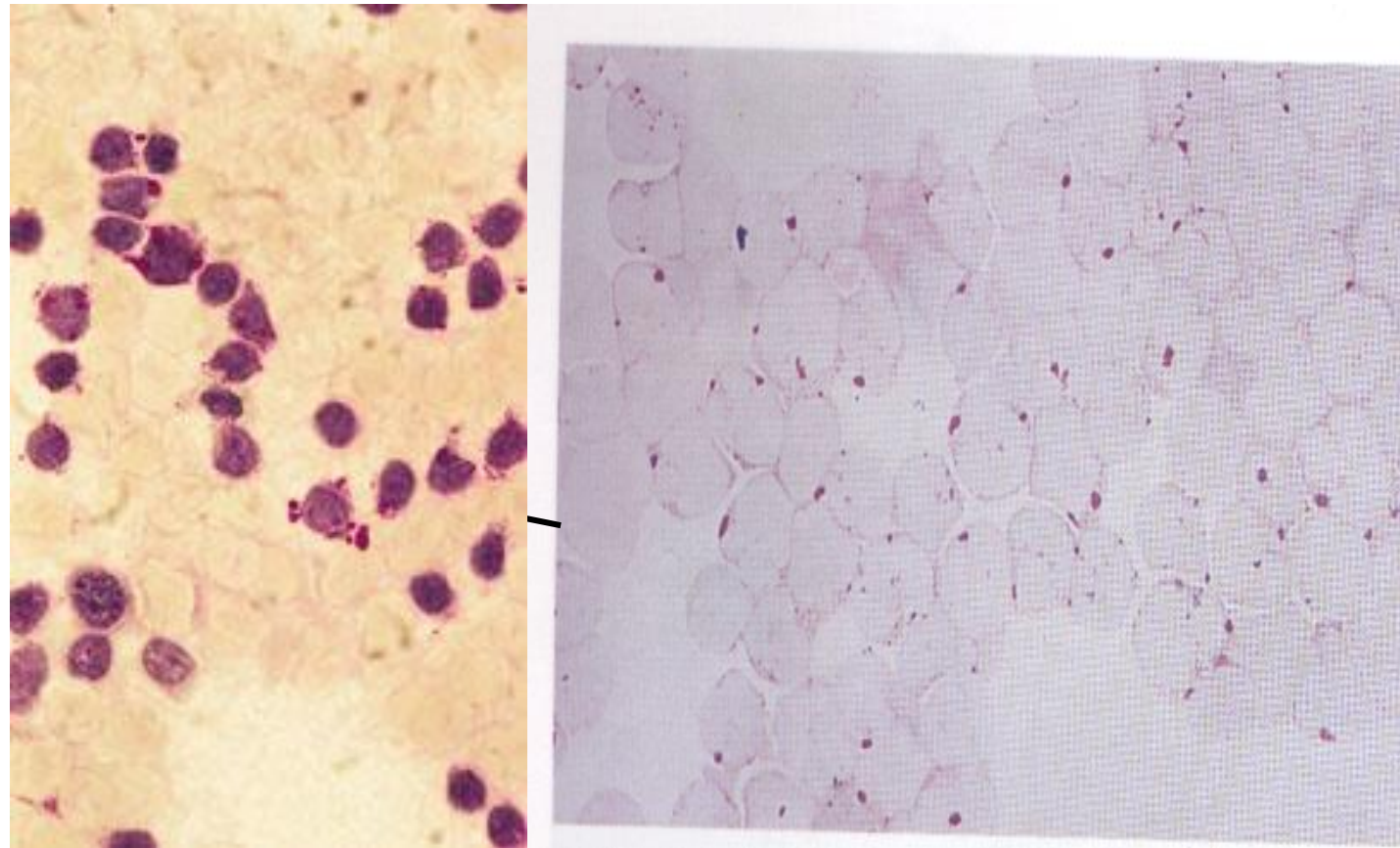
Positive for myeloblast

# Investigations

b) Periodic acid schiff

\*Positive ALL (block)

\* Negative AML

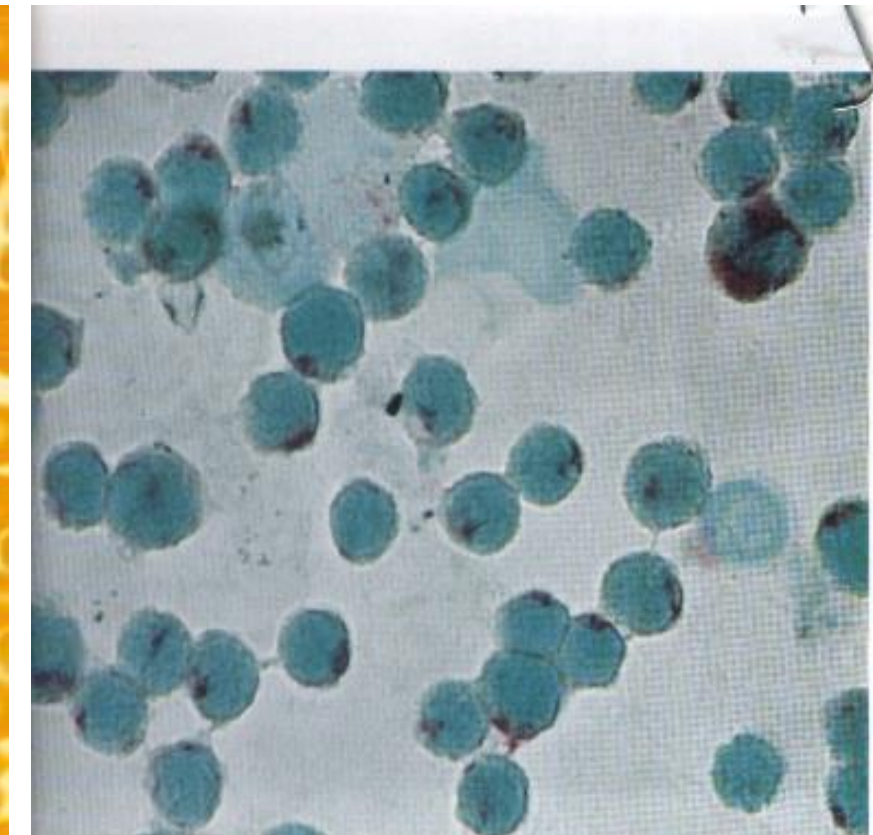


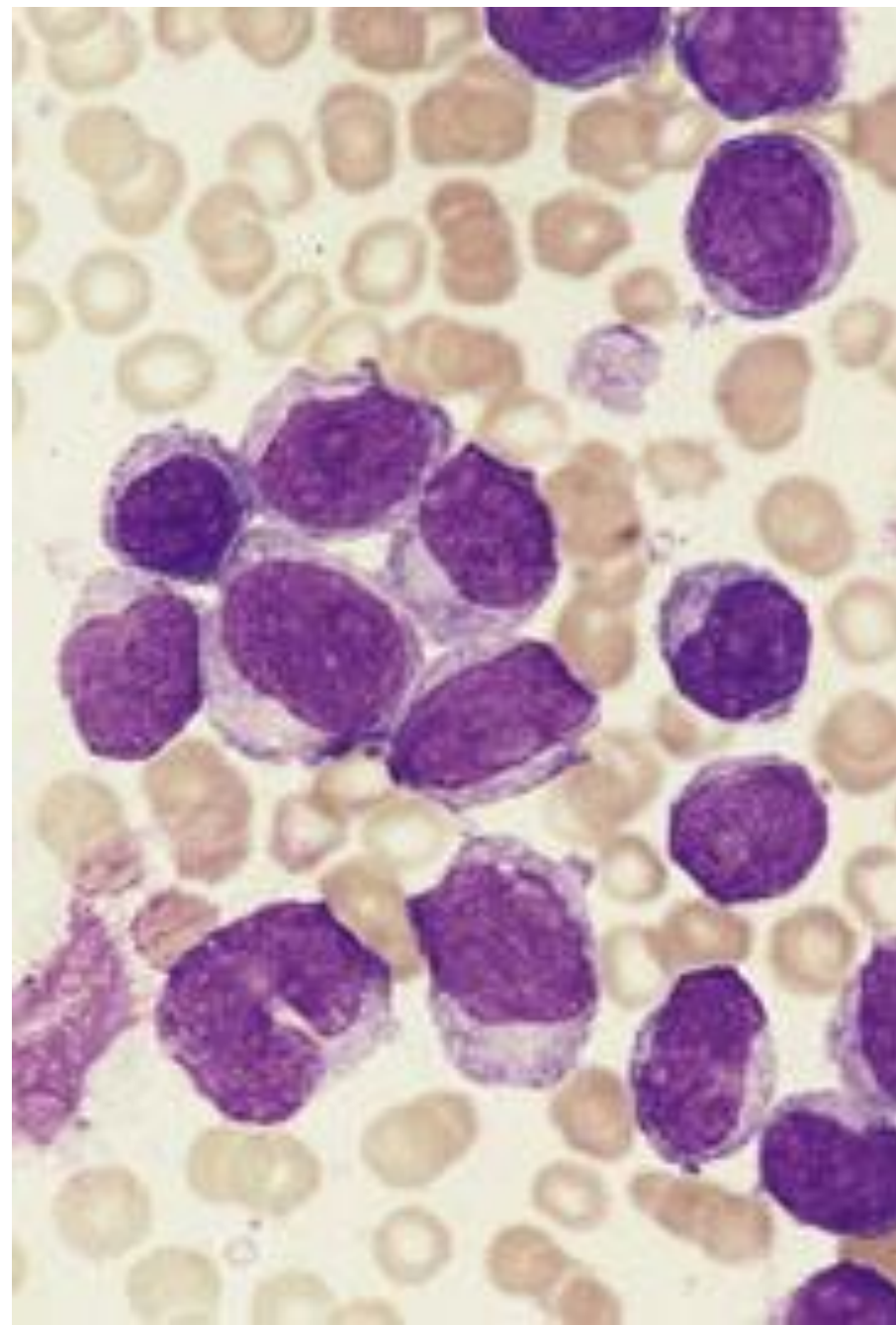
**Block positive in ALL**

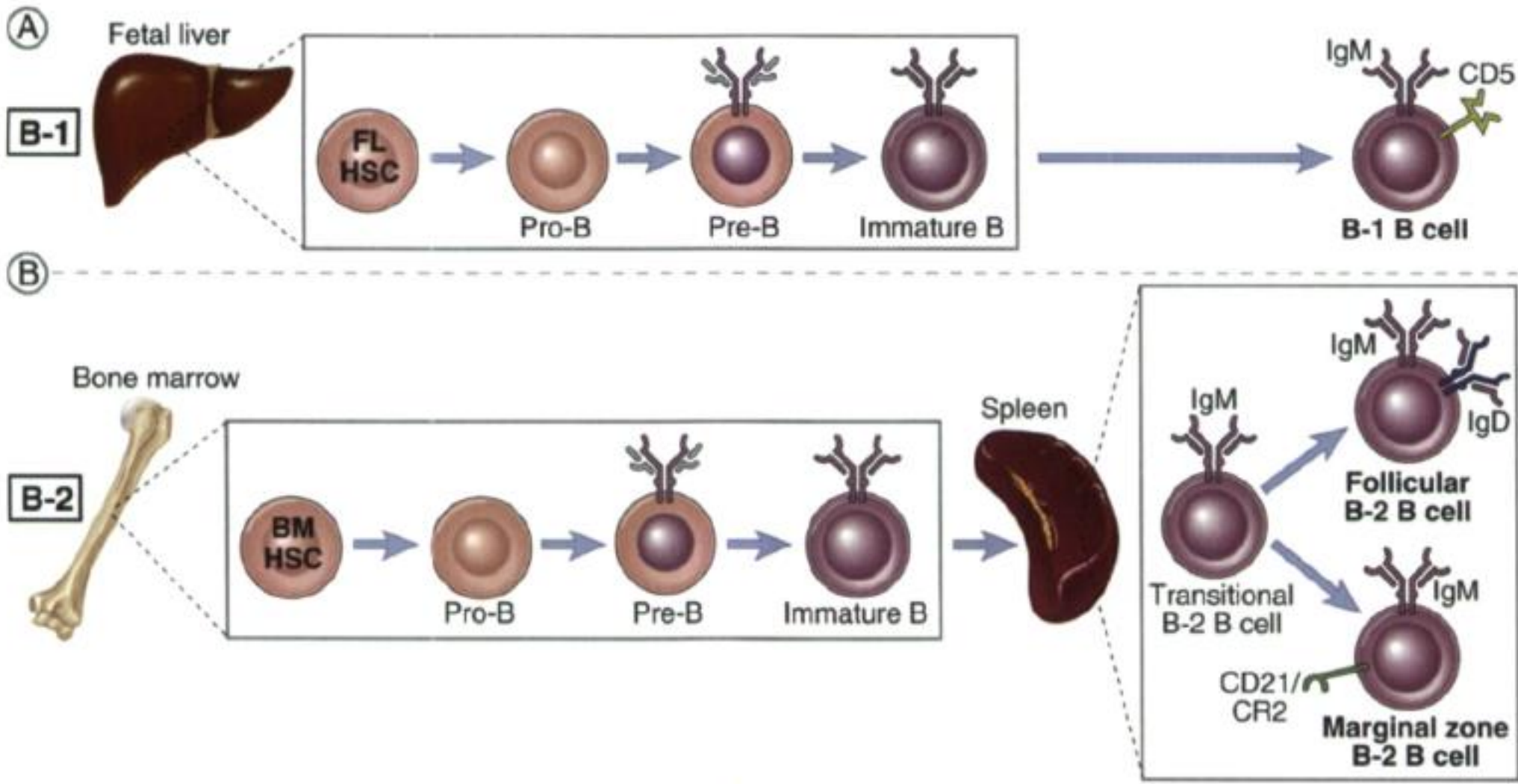
# Investigations

c) Acid phosphatase :

focal positive  
(T-ALL)







شکل ۱۵-۱۷: مراحل تولید لنفوسيت‌های B نوع ۱- B-1 و B-2 که به ترتیب در کبد و BM صورت می‌گیرد [۳۶].

با نشکر از حسن توجه شما

